

This is gonna
be wild

Zusammenfassungs-Arbeitsblatt I, Ex 6

$\sim 1/13 \text{ fm}$

Große Einführung: Atom $\sim 10^{-10} \text{ m}$, Kern $\sim 10^{-14} \text{ m}$, Proton $\sim 10^{-15} \text{ m}$

$\Delta x \cdot p > \hbar$

$\Delta x \cdot p \ll \hbar$

$\Delta x \cdot p \gg 200 \text{ MeV} \cdot 1 \text{ fm}$

$\sim \text{eV}$

$\sim \text{MeV}$

$\sim \text{GeV}$

je kleiner die gebundenen Systeme, desto größer sind ihre Anregungsenergien

Fundamentale Bausteine: Leptonen (\rightarrow Elektron, Neutrino) und Quarks

$\sim 10^{-19} \text{ m}$

(Streuexperimente)

$\frac{\Delta x}{c} \ll \frac{\hbar}{c}$ Einheit Impuls Spin $\frac{1}{2} \rightarrow$ Fermionen, bislang werden keine angeregten Zustände gefunden
 \rightarrow Elementar $\forall \ell$.

Bis heute 6 Leptonen, 6 Quarks sowie Antiteilchen bekannt \rightarrow Einordnung in Familien
 \hookrightarrow groÙe Anzahl und Wiederholung von Eigenschaften kann Hinweis darauf sein, dass L, Q nicht elementarster Bausteine sind

Leptonen/Quarks tragen eine schwache Ladung
Einige (z.B. e^-) Q/L tragen el. Ladung
starke Ladung (Farbleitung) nur Quarks!

Die fundamentalen Wechselwirkungen

Vier fundamentale Wv, auf denen alle physikalischen Phänomene beruhen:

- Gravitation (spielt in atomaren Systemen keine Rolle)
- EM Wv \rightarrow Photonen (masselos, daher Reichweite unbegrenzt)
- Starke Wv \rightarrow Gluonen
- Schwache Wv \rightarrow w^+, w^- und Z^0 Bosonen (Schr. Schwer, $M_w \approx 80 \frac{\text{GeV}}{c^2}, M_Z \approx 91 \frac{\text{GeV}}{c^2}$)
 \hookrightarrow dürfen als virtuelle Austauschteilchen im Higgsfeld nur für extrem kurze Zeit erzeugt werden
 \hookrightarrow große Reichweite

Vermittlung durch Austausch von Vektorbosonen ($\rightarrow S=1$)

Symmetrien

Parität P

Änderung des Vorzeichens der WF bei Spiegelung

Ortswellenfunktion gebundener Systeme mit Drehimpuls ℓ bei Parität $P=(-1)^\ell$. Wenn die Naturgesetze rechts-links symmetrisch sind, also invariant ggü Raumspiegelung P, so ist V die Paritätsquantenzahl P des Systems erhalten \rightarrow Atomphysik Auswirkungen Dipolübergänge \rightarrow Theorie E

Relativistische QM \rightarrow Intrinsische Parität P für Teilchen/Antiteilchen. Gleich für Bosone/Antibos.
Für Fermionen/Antifermionen entgegengesetzt.

Ladungskonjugation C

C mischt aus Teilchen/Antiteilchen und \hookrightarrow , da sich u.a. das VZ der Ladung umkehrt, spricht man von Ladungskonjugation.

Eigenzustände von C tragen die Quantenzahl C-Parität, die erhalten bleibt, falls die Wv symmetrisch bzgl. C ist.

Ar nimmt innerhalb Periode ab, weil mehr $p \rightarrow$ starke Anziehung
Ar nimmt innerhalb If6 zu \rightarrow mehr Schalen \downarrow

Experimente

welche Ausschau?

Auflösungsvermögen?

Experimente nur an Beschleunigern möglich, Vordringen durch immer größere Energien möglich

Streuung: Richtet auf zu untersuchendes Objekt einen Strahl von Teilchen mit bekannter Energie und Impuls, die mit dem Objekt in W_W treten. → Erfahre durch Änderung der kinematischen Größen etwas über Objekt + W_W

Bsp. Kernradienvermessung mit e⁻-Streuung. Beugungseffekte erst erkennbar, wenn Ze- vergleichbar mit der Größe des Objektes ist. → Beugungsbild der gestreuten Teilchen gibt Aufs der Kerngröße an ~10⁸ eV für Protonstruktur einige 10⁸ bis 10⁹ eV

Substruktur Quarks (e⁻ g. 10¹⁰ eV p 10¹² eV) bis jetzt keine Anzeichen

→ Radiativität
Kern... S

Spektroskopie: Bestimmung der Zerfallsprodukte angeregter Zustände → Eigenschaften der W_W der angeregten Zustände und W_W zwischen Konstituenten (Einheit, die Teil einer größeren Komplexeren Einheit ist) je kleiner, desto größer die benötigten Anregungsenergien

best.

Detektoren: Ausnutzung von W_W, um Teilchen nachzuweisen. Erzeugen von optisch/elektr. Signalen in Medien. Un geladene Teilchen werden indirekt über sekundäre Teilchen nachgewiesen: Photonen erzeugt durch Photoeffekt, Comptoneffekt und Paarbildung freie e⁻-Paare. Neutronen und Neutrinos erzeugen geladene Teilchen durch Reaktionen mit Atomkernen.

- Szintillatoren, schnelle Zeitinformation bei moderater Ortsauflösung
- Gaszähler, die zu flächendeckenden Wieldröhrenkammern zusammenfassend werden, liefern gute Ortsinformation und werden in Zusammenhang mit Magnetfeldern zur Impulsbestimmung verwendet
- Halbleiterzähler, sehr gute Energie- und Ortsinformation
- Cerenkov / Übergangssstrahlungszähler, Teilchenidentifikation
- Kalorimeter, messen bei hohen Energien die Gesamtentnergie

Energieskalen

1 eV = 1,602 · 10⁻¹⁹ J = Ek der Teilchen mit Ladung Q=e beim Durchlaufen einer Potenzialdifferenz von 1V gesellt

Gebe Masse gemäß E=mc² in $\frac{eV}{c^2}$ bzw. $\frac{keV}{c^2}$, $\frac{GeV}{c^2}$ an; hc ≈ 200 keV·fm $\alpha = \frac{1}{137}$

Wähle nat. Einheiten, sodass $\hbar=c=1$; Atomphysik: Gauß-System $4\pi\epsilon_0=1$, $\alpha=e^2$

Teilchenphysik: $\epsilon_0=1$, $\alpha=\frac{e^2}{4\pi}$ Heaviside-Lorentz-System

Energie Röntgenstrahlung 1 keV = 10³ eV

Bindungsenergie Atomkern MeV = 10⁶ eV

Ruheenergie Proton (E=mc²) GeV = 10⁹ eV

Strahlenergie LHC TeV = 10¹² eV

Energie kosmische Strahlung bis zEV = 10²⁷ eV

↳ Supernova

Gamma-Rays

globale Eigenschaften der Kerne

→ Das Atom und seine Bausteine

Das Elektron

1897 e⁻ von Thomson als freie Teilchenstrahlen in Entladungsrohren erzeugt. Mithilfe von Feldern wurde v⁻ so wie $\frac{m}{q}$ bestimmt. Ergebnisse unabhängig von Art Austrittskathode / Gas → universeller Bestandteil

Der Atomkern

Thomson/Rosinenkuchenmodell: Atom besteht aus gleichmäßig verteilter, positiv geladener Masse.

In dieser Masse bewegen sich die e⁻ → vergleichbar wie Rostionen in einem Kuchen.

Durch Rutherford'schen Streuversuch widerlegt: Streuexperimente mit α -Teilchen an schweren Atomen.

Nachweis dass positive Ladungsträger räumlich stark konzentriert sind. Es treten zudem große Streuwinkel auf, die nicht mit einer homogenen Ladungsverteilung verträglich waren, konnten aber durch ein zentrales Coulomb-Feld erklärt werden, welches durch einen massiv positiv geladenen Kern hervorgerufen wird.

Das Proton

Beschuss leidlicher Atomkerne mit α -Teilchen, beim Beschuss von Stochstoff mit α -Teilchen wurden positive Teilchen mit ungewöhnlich großer Reichweite.



Das Neutron: Wieso haben z.B. ein Be-Atom → wenn e, mp bekannt fehlt noch Masse

Als neutrale Teilchen eher schwer nachzuvorhersagen. Chadwick ließ neutrale Strahlung mit H, He und S kollidieren und misst Rückstoßenergie der Kerne in einer Ionisationskammer → Aus Stoßgesetzen ableitbar, dass Teilchen $\approx mp$ haben.

Bindungszustand und Stabilität d. Systems werden durch die Bindungsenergie bestimmt, die sich aus d. Differenz der Masse des Systems und der Summe der Massen seiner Konstituenten ergibt.

Ca 1% der Kernmasse, „Massendefekt“ war einer der ersten experimentellen Beweise von $E=mc^2$

Massendefekt: Atomkerne sind leichter als ihre Bausteine zusammengenommen, stets positiv

Relativistisch: Man kann an Masse die Energie des ruhenden Teilchens ablesen

↳ Die aufgewandte bzw. in Bindungen der Nukleonen enthaltene Energie verhindert Gesamtenergie bzw. Masse, die sich in Summe aller Bausteine ergeben würde.

$$E_B = \Delta m c^2$$

E_B, freigesetzte Bindungsenergie

Δm, Massendefekt, je größer Δm, desto stabiler Atomkern da Δm = E_B

Bindungsenergie pro Nukleon $\approx 8 \text{ MeV}$

Fe ⁵⁶ A=56

Rutherford-Problem: e⁻ auf Keplerbahnen mit bel. Ausdehnung, Exzentrizität, Orientierung

Aber: kreisende Ladung → damit beschleunigt → strahlt ständig Energie bei Fusion ab

⇒ Ein in den Kern skizzierter e⁻ könnte EM-Wellen jeder bel. Frequenz erzeugen, widerspricht der Beobachtung von Spallationsionen!

Massendefekt bei Molekülen irrelevant, weil Bindungsenergie klein reV

Streuung

Strahl von Teilchen mit wohldefinierter Energie wird auf das zu untersuchende Objekt (Target) geschossen
 ↳ Reaktion zwischen Projektil und Target

Targets können fest, flüssig, gasförmig oder andere Teilchenstrahlen sein (LEP „Large $e^- p$ collider“ CERN)

FNAL „Fermi National Accelerator Lab“
 Proton-Antiproton 300 GeV
 LHC proton-proton 7 TeV

Es gibt elastisch/inelastische Streuung.
 Elastisch: Teilchen unterscheiden sich nur in Impuls/Energie
 Inelastisch: Teilchen a reagiert b auf höheren Energiezustand \rightarrow b geht wieder in niederen Zustand über und zerfällt unter Emission (z.B. Photonen) in mehrere Teilchen. a kann bei der Reaktion auch völlig verschwinden.

Bsp. Billard

Energie muss umso größer sein, je kleiner die Struktur ist, die man auflösen will.

$$\chi = \frac{\hbar c}{p} = \frac{\hbar c}{\sqrt{2mc^2 E_{kin} + E_{kin}^2}} \approx \begin{cases} \hbar / \sqrt{2mE_{kin}} & E_{kin} \ll mc^2 \\ \hbar c / E_{kin} \approx \hbar c / E & E_{kin} \gg mc^2 \end{cases}$$

χ muss in der selben Größenordnung wie Δx sein $\chi \lesssim \Delta x$

$$p \gtrsim \frac{\hbar}{\Delta x} \quad pc \gtrsim \frac{\hbar c}{\Delta x} \approx \frac{200 \text{ keV fm}}{\Delta x}$$

Geometrischer Wirkungsquerschnitt

Modell zweier harter Kugeln mit R und r $\rightarrow r < R$, es kommt zur Reaktion wenn sich die Schichten beider Kugeln berühren. Bei Wellenphänomenen ist die geometrische Interpretation nicht möglich. Außerdem Wechselwirkungspotential relevant!
 $\sigma_{geo} = \pi(R+r)^2$

Totaler Wirkungsquerschnitt

Auß für die Wahrscheinlichkeit einer Reaktion zwischen den beiden Stoßpartnern (je größer, je wahrscheinlicher)

$$\sigma_{tot} = \frac{\text{Zahl der Reaktionen pro Zeiteinheit}}{\text{Zahl der Stoßteilchen pro Zeiteinheit} \cdot \text{Zahl der Streuzentren pro Flächeneinheit}} = \frac{\text{Zahl d. Streureignisse pro Zeit und Targetkern}}{\text{Zahl der einfallenden Teilchen pro Fläche und Zeit}}$$

Teilchenstrahl trifft auf dünnes Target \rightarrow „fixed target“

Parameter einfallender Strahl: Querschnittsfäche A cm^2
 Geschwindigkeit v_i $\frac{\text{cm}}{\text{s}}$
 Anzahldichte n_s cm^{-3}
 $\gamma = n_s \cdot v_i$ $\text{cm}^{-2} \text{s}^{-1}$
 Fluss $\phi = \gamma \cdot A = n_s \cdot v_i \cdot A$ s^{-1}

Parameter Target: Dicke d cm
 Dichte ρ g cm^{-3}
 Molare Masse m_f g mol^{-1}
 Anzahldichte Targetkerne $n_f = \rho \cdot \frac{N_A}{m_f}$
 Anzahl Targetkerne im Strahl $N_f = n_f \cdot A \cdot d$

$$\frac{dN_{streu}}{dt} = \gamma \cdot N_f \cdot \sigma_{tot} = \phi \cdot n_f \cdot d \cdot \sigma_{tot} \rightarrow \text{Proportionalitätskonstante für physikalische Eigenschaften des Streuprozesses} \rightarrow \text{totaler Wirkungsquerschnitt}$$

Einheit 1b „Barn“ = 10^{-28} m^2

Kernphysik 10^{-3} b Teilchenphysik 10^{-18} b

Differenzialer Wirkungsquerschnitt

Totaler Wirkungsquerschnitt oft nicht zugänglich im Experiment, Delektrode deckt oft nur kleinen Teil dieses Phasenraumes ab \rightarrow Differenzialer Wirkungsquerschnitt, Streuwinkelverteilung $\frac{d\sigma}{d\Omega}$ $d\Omega$ bez. Raumwinkel-Element = A/r^2

(Kann Aufschluss über Streuprozess geben (Bsp. Rutherford $\frac{d\sigma}{d\Omega}$ entspricht genau stark konzentrierter + Ladung mit C-Potential))

$$\sigma_{tot} = \int_0^{2\pi} \int_{-1}^1 \frac{d\sigma(\cos\vartheta)}{d\Omega} d\cos\vartheta d\varphi = 2\pi \int_{-1}^1 \frac{d\sigma(\cos\vartheta)}{d\Omega} d\cos\vartheta$$

oft azimuthale Symmetrie (Nachprüfen von Symmetrie möglich)

Luminosität

Eigenschaften von Strahl und Target zusammengefasst $L = \gamma \cdot N_f = \phi \cdot n_f \cdot d \Rightarrow \frac{dN_{streu}}{dt} = L \cdot \sigma_{tot}$

Integrierte Luminosität proportional zu Gesamtzahl der gestreuten Teilchen, Maß für Datenumfang

$$N_{streu} = S \cdot L \cdot dt \cdot \sigma_{tot}$$

Rutherford-Streuexperiment

Vlassile Anlegene: El. Stoß an Kugel, Stoßparameter b

Annahmen: Kern punktförmig mit (positiver) Ladung Ze und $S=0$, α -Teilchen punktförmig mit (positiver) Ladung und $S=0$
 Dünne Goldfolie \rightarrow Nur eine Ww, Kern viel massiver als α -Teilchen \rightarrow Rückstoß des Kerns vernachlässigbar
 Nur EM-Ww \rightarrow Coulomb-Abstößung zwischen Kern und α -Teilchen mit $V(r) \sim \frac{ZZe^2}{r}$
 \rightarrow Elastische Streuung, keine starke Kraft (keine Kernanregung)

$$\left(\frac{d\sigma}{d\Omega} \right)_{Rutherford} = \left(\frac{Z^2 \alpha^2 c}{4 E_{kin}} \right)^2 \cdot \frac{1}{\sin^4(\frac{\pi}{2})}$$

Unphysikalisches Resultat $\frac{d\sigma}{d\Omega} \rightarrow 0$ dir $v \rightarrow 0$, Korrektur (teilweise) Abschirmung der Kernladung, falls Stoßparameter b von Größenordnung der Elektronenwelle

Die Winkelverteilung $\frac{d\sigma}{d\Omega}$ der Rutherford-Streuung gibt keinen Aufschluss über die Größe der Kerne, Streuung erfolgt nur am C-Potential d. punktförmig Kernes, Energie der α -Teilchen (4-6MeV) zu klein, um endliche Kerngröße aufzulösen (benötigt $\approx 10^8$ eV)

Mott-Streuung und Formfaktor

Bei Rutherford nicht berücksichtigt: Spin, irrelevant für α -Teilchen ($S=0$) aber relevant für e^- ($S=\frac{1}{2}$)
 Relativistische Effekte bei leichten Teilchen mit $E_{kin} \gg 1$ \rightarrow Endliche Ausdehnung des Kernes relevant, wenn $\beta \ll 1$ in Größenordnung von r_{kern}

$$\left(\frac{d\sigma}{d\Omega} \right)_{Mott} = \left(\frac{d\sigma}{d\Omega} \right)_{Rutherford} \cdot \frac{E'}{E} \cdot \left(1 - \beta^2 \sin^2\left(\frac{\pi}{2}\right) \right) \rightarrow \sim \cos^2\left(\frac{\pi}{2}\right)$$

$\beta \gg 1$
 Kernrückstoß β Elektronenspin

$\beta = \frac{v}{c}$

\Rightarrow Unterdrückung der Rückwärts-Streuung für $S=\frac{1}{2}$ Projektil für $v \rightarrow v_c$ geht $\left(\frac{d\sigma}{d\Omega} \right)_M \rightarrow 0$

Helizität: Projektion des Spins eines Teilchens auf den Impuls $h = \frac{\vec{s} \cdot \vec{p}}{|\vec{s}| |\vec{p}|}$ (\rightarrow ohne Spin-Ww erhalten) (Drehimpulserhaltung)

Im Grenzfall $\beta \rightarrow 1$ bleibt die Helizität erhalten (für $v \rightarrow c$ ist s für e^- quasi vollständig entgegen)
 Für kleinere v ist h nicht erhalten, da Spin dann nicht $\text{Ber. ztktg. ausgerichtet } h=-1 \text{ (fest), Linkshändig}$
 so streng in/entgegen der Bewegungsrichtung zeigt

Bei Rückwärtsstreuung müsste sich die Spinprojektion aufgrund der Helizitätsersatzregel umkehren, dies ist bei einem spinlosen Target aufgrund d. Erhaltung des Gesamtimpulses nicht möglich. Außerdem Spinflip bei el. Ww nicht möglich, nur via e^+e^- mögl. Ww möglich.

\Rightarrow Für zunehmendes v bis hin zu $v \rightarrow c$ wird die Rückwärtsstreuung unterdrückt, aber: Falls Target einen Spin hat, so kann die Drehimpulserhaltung durch Änderung d. Spinrichtung d. Targets gewährleistet werden \rightarrow Rückwärtsstreuung möglich (Durch Spin von Target neg. Ww möglich)

Bei hohem Impulstransfer $\frac{p}{p_0}$ ergeben sich in $\left(\frac{d\sigma}{d\Omega} \right)_M$ Minima $\Rightarrow \lambda e \sim r_{kern}$, es kommt zu Beugungseffekten.
 Die Auflösung nimmt zu, das Elektron tastet nur einen Teil der Ladung im Kern ab \rightarrow geringerer Wirkungsquerschnitt

\hookrightarrow Formfaktor $F(q^2)$ $\left(\frac{d\sigma}{d\Omega} \right)_{exp} = \left(\frac{d\sigma}{d\Omega} \right)_{Mott} \cdot |F(q^2)|^2$, F ist FT der Ladungsverteilung

Formfaktor ist
 was die Ladung
 für e^- treibt

Optik: $\delta(r)$ spallförmig

$|F(q^2)|$ konservativ

$\delta(r)$ punktförmig

$\bar{e}^{-}ar \exp$

$aR^3 \Theta(r-R)$ hom. Kugel

$$\underbrace{\frac{g_0}{1 + e^{(r-R)/a}}}_{\text{Woods-Saxon-Verteilung}}$$

Flacher Formfaktor $F=1$ \rightarrow super, weil dann punktförmiges Elementarteilchen berücksichtigt z.B. e^-

Dipol z.B. proton

oszillierend

\downarrow Durch Beugungseffekte erkennbare Minima
 oszillierend

Woods-Saxon-Verteilung: Homogene Kugel mit diffusem Rand, gutes Modell für schwere Kerne

Größe der Ladungsverteilung bestimbar aus Minima genau? Kugel? Nein

\downarrow
 konstante Dichte

Kernmodelle

Fermigasmodell

Unabhängige Nukleonen als Gas von Fermionen in effektivem Kernpotential. Proton/Neutronen gehorchen mit $s=\frac{1}{2}$ der Fermi-Dirac-Statistik. Es wird angenommen, dass sich die Nukleonen unter Berücksichtigung des Pauli-Prinzips im gesamten Kernvolumen frei bewegen können. Das Potential, dem jedes Nukleon ausgesetzt ist, ist die Überlagerung der Potentiale der übrigen Nukleonen.

Die Differenz B' zwischen der Kante d. Potentialtopfes und der Fermi-Kante ist mit $\Delta A = 7-8 \text{ keV}$ für die meisten Kerne konstant. Tiefe d. Potentials $V_0 = E_p + B' \approx 40 \text{ keV}$, in guter Näherung unabh. von A. $E_{\text{kin}} \approx V_0 \rightarrow$ Verhältnismäßig schwach gebunden. Bei zugehöriger weiterer Nukleonen rutschen die Energieniveaus näher zusammen, die E_p bleibt als Folge der konstanten Kerndichte konstant.

Für stabile Kerne müssen die beiden Fermi-Kanten auf demselben Niveau liegen, andernfalls würde der Kern durch β -Zerfall in einen energetisch günstigeren Zustand übergehen.

Anderes Fermigas: Neutronenstern: Kernanziehung vs. Gravitationsdruck vs. Fermidruck

Meson-Spektrometer

I-teoskop: Konstante Kerndichte $\rightarrow A \approx n_{\text{nuc}}^{\frac{3}{4}}$ und anti- β -Zerfall für Dichte

\rightarrow Erklärt durch kurzreichweite Kernkräfte

Semi-empirisches Kernmodell: Kerninterie inkompressibel, Kräfte zwischen Nukleonen kurzreichweitig (Analogie Wasserstrudel + QM)

$$E_{\text{bind}}(z, A) = a_V A - a_C A^{2/3} - a_A \frac{z(z-1)}{A^{1/3}} + \frac{(A/2-z)^2}{A} + \begin{cases} \text{up } A & g_g \\ \text{down } A & u_u \\ \text{up } A & u_d \\ \text{down } A & d_u \end{cases} \quad \text{mit } a_V \text{ und } a_C \text{ abhängig}$$

immer nur Nachbarn, für zed. Nukleon stetig abk.

Volumenterm: $\sim 15 \text{ MeV}$ BIA, zwischen Nukleonen wirken kurzreichweitige (klein verglichen mit Kernradius), gesättigte Kernkräfte. Nukleon-WK nur mit engsten Nachbarn \rightarrow Anzahl der WK $\sim A \rightarrow B/A = \text{const.}$ mittlerer B/A-Länge entspricht 1,8 fm.

Oberflächenterm: Bindungsenergie für Nukleonen an der Oberfläche reduziert, da weniger Nachbarn $\sim A^{2/3}$ (Oberfläche d. Kerns) nimmt mit wachsendem A ab

Coulomb-Term: Abstoßung der Protonen im Kern, $\sim \frac{z^2}{A^{1/3}}$ nimmt mit zunehmendem A ab \rightarrow innew. pro v. mehr Abstoßung

Asymmetrie-Term: Bei kleinen Massenzahlen sind Kerne mit der gleichen Anzahl von p und n bevorzugt. Um die C-Abstoßung durch die Kernkraft teilweise zu kompensieren, häufen schwere Kerne immer mehr Neutronen an.

Erklärung (Fermigasmodell): Die mittlere kinetische Energie d. Kerns hat für feste Massenzahl A ein Minimum bei $N=Z$, für $N \neq Z$ wird diese größer \Rightarrow Bindungsenergie wird kleiner

Pairung-Term: Gerade Anzahl von p,n erhöht Stabilität des Kerns. \rightarrow Kopplung von Neutronen/Protonen zu Paaren. Abhängigkeit von A, da Überlapp der Wellenfunktionen dieser Nukleonen in größeren Kernen geringer ist.

Antiparallele Spinskopplung, Antiparallele Spins \rightarrow synthetische Orts-WF \rightarrow nicht zusammenstabile gebundene größere Nuklonen aufgrund ihrer sich

Schalenmodell

Einzelnes Nukleon im mittleren Potential der anderen Nukleonen (z.B. Woods-Saxon), Lsg der SG im kugelsymmetrischen Potential mit Spin-Bahn-Kopplung \rightarrow Quantenzahlen und Energieniveaus (Schalen) \rightarrow korrekte Beschreibung der meistigen Zahlen 2, 8, 20, 28, 50, 82, 126 \rightarrow Ähnlich zu „Edelgass“-Konfigurationen \rightarrow volle Schale, gleichlich

Auch analog: überschüssiges Nukleon, „Leuchtkern“ \rightarrow leicht Anregbar.

fehlendes Nukleon „Loch“ \rightarrow leichter Anregbar als volle Schale

Max. Bindungsenergie bei A=56
Fe, Ni

Isotope = Kerne mit gleicher Kernladungszahl Z

\rightarrow haben sehr ähnliche Energieniveaus

Isotone = Kerne mit gleicher Neutronenzahl N

Isobare = Kerne mit gleicher Massenzahl A=Z+N \rightarrow Spiegelkerne $^{14}\text{C}(Z=6, N=8)$ $^{14}\text{O}(Z=8, N=6)$

Z und N gerade: gg-Kern

Z als Noosley-Sales berekt

\rightarrow C-Energie $\propto z^2$

Z ungerade: uu-Kern

Z als Dillenius-Staub \rightarrow starke Kernreaktivität

A=Z+N ungerade: gu-Kern (Z gerade, N ungerade), ug-Kern (Z ungerade, N gerade)

Isospin I

Multiplets von Energiezuständen bei Kernen erinnern an Spin-kopplungs Multipletts \rightarrow Beschreibe Proton/Neutron als 2 Zustände des Nukleons, die ein Doplett bilden. Der Isospin wird wie qn-Drehimpuls behandelt \rightarrow z.B. befindet sich ein Proton und ein Neutron in einem Zustand mit Gesamtspin 1 oder 0 befinden.

$$\text{Nukleon} = (\bar{I}_{\text{hs}}) = \left(\begin{array}{l} \bar{I}_1 = \frac{1}{2}, \bar{I}_3 = \frac{1}{2} \\ \bar{I}_1 = \frac{1}{2}, \bar{I}_3 = -\frac{1}{2} \end{array} \right)$$

$$\bar{I}_{\text{Kern}} = \sum_i \bar{I}_3^{\text{Nuklon}} = \frac{Z-N}{2}$$

Streuung an Nukleonen

Streuung hochenergetischer Elektronen (MORE POWER) an gasförmigen Wasserstoff und Deuterium.

Strukturgröße $< 1 \text{ fm} \rightarrow$ Impulsübertrag $|q| > 200 \text{ MeV}/c$ ($c = 157 \text{ fm}/\text{ns} \rightarrow$ Lichsichterrelation)

Teilchenenergie vergleichbar mit Nukleonemasse (z.B. $m_p = 938 \text{ MeV}/c^2$) \rightarrow Rückstoß berücksichtigen

Nukleonen sind Fermionen \rightarrow Spin von Elektronen und Nukleon berücksichtigen \rightarrow Spin-Flip erlaubt

$$\hookrightarrow \frac{d\sigma}{d\Omega} = \left(\frac{d\sigma}{d\Omega} \right)_{\text{Mott}} \left[1 + 2\tau \tanh^2 \left(\frac{\omega}{2} \right) \right] \quad \tau = \frac{Q^2}{4m^2 c^2} \quad \text{Differenzialer Wg für Streuung an punktförmigen Nukleonen}$$

Nicht-punktförmige Nukleonen \rightarrow Ladungs-/Stromverteilung \rightarrow Rosenbluth-Formel el. Formfaktor G_E

$$\frac{d\sigma}{d\Omega} = \left(\frac{d\sigma}{d\Omega} \right)_{\text{Mott}} \underbrace{\left[\frac{G_E^2(Q^2) + \tau G_M^2(Q^2)}{1 + \tau} + 2\tau G_M^2(Q^2) \tanh^2 \left(\frac{\omega}{2} \right) \right]}_{\omega-\text{unabh.}} \quad \underbrace{\omega}_{v-\text{Abh.}}$$

Aus Experiment: G_M für Proton und Neutron bis auf Skalierungsfaktor ähnlich; Q^2 -Abh. des Formfaktors und somit Dipolmoment $\mu_p = 2,79 \cdot \mu_N$; $\mu_N = -1,87 \cdot \mu_N$ mit Kernmagneton $\mu_N = \frac{e h}{2 m_p}$ \rightarrow Anomales mag. Moment, Hinweis auf innere Struktur der Nukleonen why? Ohne innere Struktur würde der Faktor passen $c = 2$
 G_E für Neutron ≈ 0 wie erwartet; G_E für Proton auch \rightarrow Q^2 -Abh. \rightarrow exponentiell abfallende Ladungsverteilung

$\approx 1-2 \text{ GeV}$, inelastische Streuung \rightarrow Invariante Masse des hadronischen Systems W größer als Protonmasse, es kommt zu „Resonanzen“ (\rightarrow Proton erhält sehr Energie um in angeregten Zustand zu wechseln, neues „Teilchen“, zerfällt bei Übergang von angeregt \rightarrow Grundzustand wieder) \rightarrow Resonanz (Abh. von Imp.(s/Energieübertrag) oder s)

Tiefinelastische Streuung: $\approx 26 \text{ GeV}$: Bjorken-Skaliervariable x_B für inelast. ist: $x_B = \frac{Q^2}{2M \cdot v}$ \rightarrow elast. Streuung $Q^2 = 2Mv$ $\Rightarrow x = 1$ $v = 1$

$$\frac{d^2\sigma}{dEdE'} = \left(\frac{d\sigma}{d\Omega} \right)_{\text{Mott}} \left[W_2(Q^2, v) + 2W_1(Q^2, v) \tanh^2 \left(\frac{\Omega}{2} \right) \right] \quad \text{inel. Streuung } Q^2 < 2Mv \quad \Rightarrow 0 < v < 1 \quad W > 1$$

Inelastische Streuung \rightarrow Impuls- und Energieübertrag \Rightarrow Abh. von 2 Variablen z.B. Q^2 und E'
 \hookrightarrow Parametrisierung mithilfe von Strukturfunktionen $W_{1,2}(Q^2, v)$; analog zu Formfaktoren

Experiment: $W > 36 \text{ GeV}$, Strukturfunktion praktisch konstant \rightarrow punktförmiges Teilchen, \rightarrow Partonmodell, Energie v groß genug, sodass Parton aufgelöst wird Der Wirkungsquerschnitt fällt nur logarithmisch mit Q^2 ab (Bjorken-Skalierung) \rightarrow Nahezu konstanter Formfaktor, punktförmige Ladungsverteilung; geringe Q^2 Abhängigkeit spricht für elastische Streuung

Erklärung: Partonmodell (später Quarks), Bestandteile des Protons \rightarrow Teilchen, die mit hoch seltiger Energie aufgelöst werden, an denen dann wieder elastische Streuung stattfindet

Abhängigkeit der Strukturfunktion bei tiefinelastischer Streuung von nur einer kinematischen Größe“

Elementarteilchen im Standardmodell

Fermionen $s=\frac{1}{2}$: Elementare Bausteine der Materie, 3 Familien an Quarks & Leptonen

6 Quarks: up, down, charm, strange, top, bottom

6 Leptonen: Elektron, Myon, Tau + Neutrinos

↳ jeweils 3 Familien (Generationen) mit ähnlichen Eigenschaften, jede Familie Doppelstruktur

$s=1$	$t=1$	$u \bar{u}$	$d \bar{d}$	$c \bar{c}$	$s \bar{s}$	$t \bar{t}$	$b \bar{b}$	$\tau \bar{\tau}$	$e \bar{e}$	$\mu \bar{\mu}$	ν_e	ν_μ	ν_τ
2,3 MeV	9,2 GeV	17,8 GeV											
48 MeV	354 MeV	4186 MeV											
-113	0	S=1											
			22 GeV	208 GeV	208,2 GeV								
			0,57 MeV	20,7 MeV	37,7 MeV								

Eichbosonen $s=1$: Fundamentale Wechselwirkungen

Photon \rightarrow Elektromagnetische Wechselwirkung (Quantenelektrodynamik QED) wirkt auf alle geladenen

-1	e	μ	τ
2,97 GeV	2,97 GeV	2,97 GeV	2,97 GeV
2,97 GeV	2,97 GeV	2,97 GeV	2,97 GeV
2,97 GeV	2,97 GeV	2,97 GeV	2,97 GeV

Teilchen, kurzreichweilig langreichweitzig (Bei hohen Energien kommt es zur Elektroschwinngung)

Gluonen \rightarrow Starke Ww (Quantenchromodynamik QCD), wirkt auf alle Hadronen (mit innerer Farbleitung), kurzreichweitzig

W/Z-Bosonen \rightarrow Schwache Ww (Elektroschwache Theorie EW), wirkt auf Alle Teilchen mit schwacher Ladung, sehr kurzreichweitzig

Higgsboson $s=0$: Fundamentale Massegenerierung

Hadronen: Subatomare Teilchen, die von der starken Ww zusammengehalten werden

Es gibt 2 Klassen von Hadronen, Baryonen ($s=\frac{1}{2}$) und Mesonen ($s=1$)

Photonen/Gluon: keine Masse

Baryonen: p,n sind die Baryonen mit der geringsten Masse, sie sind die Grundzustände eines reichen Anregungsspektrums mit wohldefinierten Energie/Massenzuständen. Unterschied: Energie/Massendifferenzen zwischen den Zuständen größer Größenordnung als Atomphysik \rightarrow Betrachte Zustände als individuelle Teilchen mit entsprechender Lebensdauer

Alle Baryonen sind aus 3 Quarks zusammengesetzt (es ergibt sich aus dem $s=\frac{1}{2}$ Quarks der Baryonenspin)

Werden in Teilchenreaktionen Baryonen erzeugt, so wird zugleich die gleiche Anzahl Antibaryonen erzeugt \rightarrow Baryonenzahl B

$B=1$ für Baryonen und $B=-1$ für Antibaryonen \rightarrow Quarks $B=\frac{1}{3}$, Antiquarks $B=-\frac{1}{3}$

B ist eine Erhaltungsgröße \rightarrow Zahl der Quarks-Zahl Antiquarks bleibt erhalten verboten: $p \rightarrow 10^+ + e^-$

Mesonen: Hadronen aus Quark-Antiquark-Paaren, es gibt keine Massezahlserhaltung (\rightarrow plausibel weil je ihrer leichteste Hadronen: Pionen $|1\pi^+\rangle = |u\bar{d}\rangle$, $|1\pi^-\rangle = |\bar{u}d\rangle$, $|1\pi^0\rangle = \frac{1}{\sqrt{2}}(|u\bar{u}\rangle - |\bar{d}d\rangle)$ Quark-Antiquark-Paare)

Quark-Gluon-Ww

Farbe: Eigenschaft der Quarks zur Erfüllung d. Pauli-Prinzips für Quarks in Hadronen

Bsp. $|1\text{st}^+\rangle$ -Resonanz $|1\text{st}^+\rangle = |u^+ u^+ u^+\rangle$ \rightarrow Ww symmetrisch unter Teilchenaustausch, verstößt gegen Pauli-Prinzip

\hookrightarrow Eigenschaft „Farbe“: rot, blau, grün bzw. Antim. \rightarrow Nur sind drei u-Quarks unterscheidbar

Hadronen

Gluonen: Ww, die die Quarks in Form von Hadronen zusammenhält bzw. mehr als starke Ww. Bei der starken Ww sind die Gluonen die Austauschteilchen zwischen den Quarks, sie koppeln an die Farbleitung

Gluonen tragen gleichzeitig Farbe und Antifarbe z.B. rg , $r\bar{b}$, können durch ihre eigene Farbleitung sich untereinander Wechselwirken.

Hadronen als farbneutrale Objekte

Zusätzlicher Freiheitsgrad resultiert nicht in großer Anzahl von Varianten (Experimentell bewiesen) \rightarrow Bedingung, dass nur farblose Teilchen („Nettofarbe Null“) existieren können, als freie Teilchen existieren können

\hookrightarrow „Confinement“: Quarks konnten bisher nicht als freie Teilchen beobachtet werden (Polariell nicht mit Abstand beliebig)

Bsp. $|1\pi^+\rangle$ Meson $|1\pi^+\rangle = |u_b \bar{d}_g\rangle$ Pion ist Mischung dieser Zustände, Zustände mischen konstant die Gluonenaustausch, Nettofarbe bleibt jedoch erhalten

p Proton $|p\rangle = \begin{cases} |u_d u_d d\rangle \\ |u_g u_g d\rangle \\ |u_g u_g \bar{d}\rangle \end{cases}$ Jedes Quark muss eine andere Farbe besitzen

\Rightarrow Einsicht, wieso es z.B. keine $|qq\rangle$ oder $|qq\bar{q}\rangle$ Hadronen gibt \rightarrow Zustände wären nicht farbneutral

Neutrinos

Als elektrisch neutrale Leptonen unterliegen Neutrinos weder der starken noch der schwachen elektromagnetischen Ww.

Da sie selbst in der schwachen Ww einen sehr kleinen Wirkungsquerschnitt besitzen können sie in der Regel nur indirekt durch den Nachweis geladenen Teildaten nachgewiesen werden. \rightarrow Betrachte Energie, Impuls und Pfeilmomentum \rightarrow Anwendung

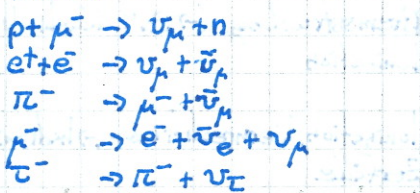
z.B. Aus Energieimpulsbilanz β -Zerfall erkennbar, dass neben e^- ein weiteres neutrales Teilchen mit $s=\frac{1}{2}$ Erhaltungssätze emittiert wird

Leptonenzahlshaltung

Erzeugung oder Vernichtung eines Leptons immer mit der Erzeugung bzw. Vernichtung eines Anti-Leptons.

$$\hookrightarrow L_l = N(l) - N(\bar{l}) + N(v_l) - N(\bar{v}_l) = \text{const.} \quad \text{für } l = e, \mu, \tau$$

Erlaubt:



Nicht erlaubt auf schwache Weise, aber! Es gibt Schwäche Wk ohne Beiträge von Medienos

Verboten:



(Zentrale inneren im leichter Teilchen)

Flavour als Quantenzahl u,d,s,c,t,b

Flavourquantenzahlen der Quarks haben dasselbe VZ wie Ladung Q

Flavours sind in der starken Wk erhalten, in schwacher Wk nicht

+EM

Experimentelle Methoden

beladene Teilchen $z \neq 0$

Teilchenklasse

Beispiele

geladene Teilchen

Myonen, Pionen, Protonen

Wichtigste Prozesse

Ionisation, Anregung von Atomen, Scherenskor-
struktion

sehr leichte Teilchen

Elektronen/Positronen

Bremsstrahlung (\rightarrow EM Kaskade),
Ionisation

geladene Hadronen

Pionen, Protonen, Antiprotonen

Ionisation, Kernreaktionen (\rightarrow hadronische Kaskade),
Zerfälle

Neutral Teilchen $z=0$

Photonen

Absorption (Photoeffekt), Streuung (Compton-Effekt), Kaskaden (Paarbildung)

Hadronen z.B. K^0, n

Streuung, Kernreaktionen (\rightarrow hadronische Kaskade), Zerfälle

Neutrinos ν

Nur schwache Wechselwirkung: geladene und neutrale Ströme

Nachweismedium

\hookrightarrow Eigenschaften des Nachweismediums beeinflussen Wechselwirkung:

Kernladung: Elektromagnetische Effekte proportional zu Kernladungszahl Z^n (n unterschiedlich für untersch. Effekte)

Dichte/Aggregatzustand: Zahl der Streuzentren pro Fläche, Bindung der Streuzentren

EL/Mag. Felder im Medium

Leitfähigkeit: z.B. elektrische Eigenschaften von Metalleitern - Halbleitern - Supraleitern

Energieverlust geladener Teilchen

Energieverlust durch Ionisation

Inelastische Stoße mit Elektronen \rightarrow Ionisation und Anregung von Atomen

Bei schweren Teilchen dominant (Leichte Teilchen wie e^- werden durch Kerne abgebremst, protonen sind schwer und werden durch), charakterisiert über spezifischen Energieverlust dE/dx

Bethe-(Bloch)-Formel

$$-\langle \frac{dE}{dx} \rangle = 4\pi N_A r_e^2 m_e c^2 z^2 \frac{Z}{A} \frac{1}{\beta^2} \left[\frac{1}{2} \ln \frac{2m_e c^2 \beta^2 \gamma^2}{I_{max}} - \beta^2 - \frac{\delta(\beta)}{2} \right], \quad 0.1 \leq \beta \leq 1000$$

z : Ladungszahl des einfallenden Teilchens

Z, A : Kernladungszahl und molare Masse des Nachweismediums

I_{max} : Maximaler Energieübertrag

$\delta(\beta)$: Fermi-Dichte Korrektur, E-Feld des Teilchens durch Polarisation des Mediums abgeschwächt \rightarrow geringerer rel. Anstieg

Energieverlust nur abhängig von β und z^2 , nicht von der Teilchenmasse; bei Absorbermaterial Energieverlust $\sim Z$
Abhängigkeit von β : $\beta_f < 1 \sim \beta^{-2}$, $\beta_f \approx 3-4$ Breites Minimum \rightarrow minimal ionisierende Teilchen (MIP), davor anh. und plateau

Nachweis: Keime für Kondensation von Gasbläschen, Drift von Elektronen/Ionen in E/B-Feld, Elektro-Mos Paare im Halbleiter

Teilchenidentifikation: Impuls (später) über Spurdetektor (\rightarrow Ablenkung im Feld); Spezifischer Energieverlust: Bestimmung von β_f in β^2 -Bereich
 \hookrightarrow Bestimmung der Masse aus $p = \gamma M v = \beta_f M c$

Mittlere Reichweite \rightarrow Integration der Bethe-Gleichung (Annahme: kontinuierliches Abbremsen des Teilchens)

\hookrightarrow Energiedosis als Fit der Weglänge, Peak am Ende der Weglänge: Bragg-Punkt (Ausgeprägt für schwere Ionen)

Dünner Absorber: Asymmetrische Verteilung um mittleren Energieverlust (Lenda-(Verilov)-Verteilung) durch großen Energieübergang auf $\delta-e$

Dicker Absorber: Geringe Fluktuationen, nähert sich Gauß-Vort. an, es kommt durch vielfache Coulomb-Streuung zu Ablenkung

\hookrightarrow Detektoren: Auflösung durch Vielfachstreuung begrenzt \rightarrow geeignete Materialien, kleine Kernladungszahl z.B. Boryllium $Z=4$

Energieverlust durch Strahlung

Grundlegender Prozess: Wechselwirkung mit E1-Feldern \rightarrow elektromagnetische Strahlung
Emission von μeV bis GeV , Bremsstrahlung, Synchrotronstrahlung, Cherenkovstrahlung, Übergangsstrahlung
Strahlung ist dominanter Effekt bei leichten Teilchen

Energieverlust von Elektronen

Ionisation: kleine Modifikation Bethe-Formel, da bei Stößen unterscheidbare Teilchen (Mechanisch implizit abgebaut)

Bremsstrahlung: e^- wird im Coulomb-Feld d. Kerns abgebremst/abgeleitet

\hookrightarrow QED: Ww von geladenen Teilchen mit Emission/Absorption von Photonen verbunden

Es bildet sich ein kontinuierliches Spektrum bis zur maximalen Elektronenergie E_0 aus

\rightarrow charakteristische monoenergetische Linien durch Fluoreszenz (e^- baut e^- von Kern in Richtung z.B. heraus \hookrightarrow übergeht) $\rightarrow e^-$ nicht nach

Bei der kritischen Energie E_c sind Energieverluste durch Bremsstrahlung/Ionisation identisch

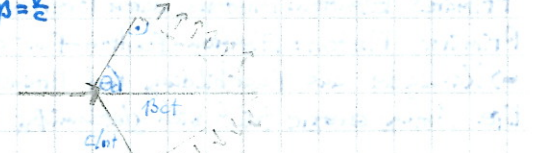
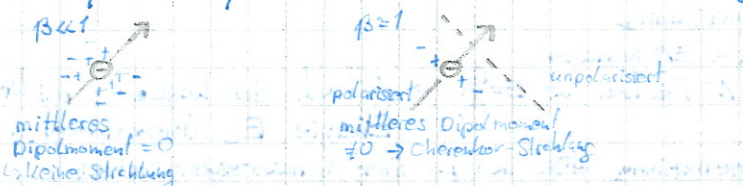
$$\left(\frac{dE}{dx}\right)_{\text{Brems}} = \frac{4\alpha^3 N_0 Z^2}{m^2 A} \ln\left(\frac{123}{Z^{2/3}}\right) \cdot E = \frac{1}{x_0} E \Rightarrow \left(\frac{dE}{dx}\right)_B \sim E !$$

Strahlungslänge x_0 : Wichtige materialspezifische Größe für e^- -Ww, gibt an nach welcher Strecke die Energie eines relativistischen e^- auf $1/e$ abgefallen ist $\sim \frac{1}{Z^2} \Rightarrow$ Blei mit $Z=82$ als Abschirmung

Cherenkov-Strahlung

geladenes Teilchen in Medium mit Brechungsindex n mit Geschwindigkeit größer als Phasengeschwindigkeit des Lichts im Medium ($v_{ph}=c/n$) \rightarrow Charakteristische Strahlung

Phys. Bild: Asymmetrische Polarisation des Mediums für große $\beta = \frac{v}{c}$



Abstrahlung unter Winkel mit Öffnungswinkel $\Theta_C \rightarrow$ Cherenkov-Winkel, Huygen'sches Prinzip

Anwendung: Cherenkov-Zähler

Minimale Geschwindigkeit für Cherenkov-Strahlung $\beta_{thr} = v_{min}/c = \frac{1}{n} \Rightarrow$ Teilchenidentifikation über Beob.

Bsp. Wasser ($n=1,33$): $\beta_{thr} = 0,75$

Pion $p=1\text{GeV}/c$, $\beta=p/c/E = 0,98 \rightarrow$ Strahlung

Proton $p=1\text{GeV}/c$, $\beta=p/c/E = 0,71 \rightarrow$ keine Strahlung

Oder Teilchenidentifikation über Masse mit bekannten Impuls p_0 und $\beta=p_0/cE$

\hookrightarrow Bestimmung β über Messung des Cherenkov-Winkels Θ_C (Abbildung/Messung d. Winkels)

Übergangsstrahlung

Charakteristische Strahlung beim Übergang zwischen Vakuum und Medium mit Permittivität ϵ_r mit

$$I = \alpha Z^2 f \frac{\hbar \omega_0}{3} \sim f$$

Bei Übergang ins andere Medium umsetzt durch MW-Gleichungen \rightarrow Energieabgabe in Form von Strahlung

Anwendung: Übergangsstrahlungsdetektor

Bestimmung Lorentzfaktor f über Intensitätsmessung für viele Übergänge (dünne Folien)

Mit bekanntem Impuls p ($\beta=1$) und $f = E/mc^2$: Teilchenidentifikation über Masse

Wechselwirkungen von Photonen mit Materie

Kleine Energien < 1 keV: Photoelektrischer Effekt (außerdem Rayleigh- und Compton-Streuung)

Mittlere Energien ~ 1 keV: Compton-Effekt

Hohe Energien > 2 keV: e^+e^- -Paarbildung

Absorption von Photonen: Lambert-Beersches Gesetz für Intensität $I(x) = I_0 e^{-\mu x}$

μ , Absorptionskoeffizient
 ≈ 0

Photoelektrischer Effekt \rightarrow Absorption

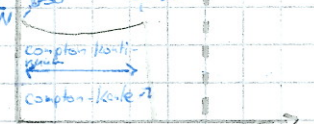
Absorption von Photonen in Elektronenhülle ("hanschlagen der e^- "), $\sigma \sim Z^5$

Charakteristische Absorptionskanten: Schwellen für Photoionisation an Energieniveaus der Atome

Bindungsenergie

$$E_{\text{bind}} = h\nu - E_b \quad (\text{der } e^-)$$

Photopunkt



E_{bind}

$\nu = E_b / h$

$\nu = 10^{15} \text{ Hz}$

$E_{\text{bind}} = 10^{-18} \text{ J}$

Compton Effekt \rightarrow Energieverlust

Inelastische Streuung eines Photons an quasi-freien Hüllenelektronen $\rightarrow E'(v) = \frac{E}{1 + E(1 - \cos \theta)}$

Herausgeschlagenes e^- : kontinuierliches Energiespektrum mit maximaler Energieübersetzung bei Rückstreuung ($\theta = \pi$) an der Plot: Compton θ haben weniger e^- , da hier das Photon nicht vollständig absorbiert wird (Winkel $\theta \approx 90^\circ$ bei Photo weniger Energie haben!)

Paarbildung

Umwandlung eines Photons in ein e^+e^- -Paar \rightarrow Schwelleffekt wenn Photon genug Energie hat $E_{\text{thres}} = 2mc^2 + 0\left(\frac{mc^2}{E_{\text{kin}}}\right)$

Die Impulserhaltung nicht verletzt werden darf nur im Coulombfeld eines Kernes möglich

$= 1,02 \text{ keV}$

σ ähnlich zu σ_{Brems} $\Rightarrow \chi_0$ charakteristisch für Bremsstrahlung und Paarbildung

$\hookrightarrow \chi_0$ $E(e^-)$ auf $1/e$ reduziert und $\chi_0 = 715$ der mittleren freien Weglänge für Photonen

Elektromagnetischer Schauer

Primäres Elektron: Photonen durch Bremsstrahlung

Primäres Photon: Elektron-Positron-Paar durch Paarbildung

\rightarrow Kaskade aus Paarbildung und Bremsstrahlung \rightarrow EM-Schauer

Die Anfangsenergie teilt sich gleichmäßig auf alle N Teilchen auf $E = \frac{E_0}{N} \rightarrow$ Abbruch der Kaskade bei kritischer Energie E_c (Bremsstrahlung nicht mögl.)

Anwendung: EM-Kalorimeter \rightarrow Distraktive Energiebestimmung e^+e^- und f über Schatteneigenschaften

Hadronische Wirkung

Wir von Hadronen in Materie: Alle Hadronenprozesse der starken Wechselwirkung \rightarrow hadronische Schauer + bei geladenen Hadronen EM-W.

Charakteristische Längenskala: Hadronische Wechselwirkungsgröße λ , λ deutlich größer als χ_0

Komplexes Zusammenspiel vieler Prozesse, Produktion sekundärer Hadronen (überwiegend Pionen), Zerfälle von geladenen Pionen und Myonen, Zerfall $\pi^0 \rightarrow f + f \rightarrow$ EM-Subkaskade

\hookrightarrow Anwendung: Hadronisches Kalorimeter: destruktive Energiebestimmung für Hadronen
Luftschauerexperimente: Erdatmosphäre als hadronisches Kalorimeter

Detektionstechniken

-> wodurch kann jetzt nur ein Bestand?

Klassifizierung nach:

- ↳ Messgröße, z.B. Ort, Impuls, Energie, Teilchenart
- ↳ Detektionstechniken, z.B. Ionisation von Gasen und Halbleitern, Szintillationsdet., Charakter / Übergangssstrahlung
- ⇒ Detektorsysteme angepasst an physikalisches Problem und experimentelle Umgebung

Gasgefüllte Detektoren

Kammer mit Zählgas (z.B. Argon), Elektroden mit Hochspannung

Es kommt zur Primärionisation des Zählgases → Drift von Elektronen (elektrisch ausgelöste Sekundärelektronen und Ionen zu Elektroden)



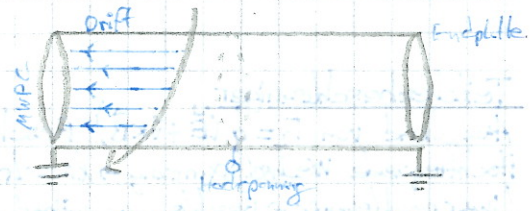
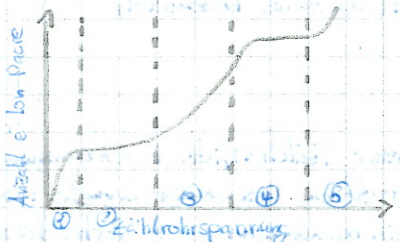
Prinzip der Gasverstärkung: Zylindrische Kammer mit Anodenstrahl → $E(r) \sim \frac{1}{r}$ ⇒ Hohes E-Feld am Anodenstrahl

→ Gasverstärkung: primär e^- wird so stark beschleunigt, dass weitere e^- herausgeschleudert werden usw. → „Townsend-Lawine“, typisch $\cdot 10^5$

Optional: Lösungsgas mit vielen Freiheitsgraden (→ Zur Anregung) zur Absorption von UV-Photonen, die elektrisch durch Ionisation freigesetzt werden

Betriebsmodi:

- 1) Rekombination, alle Primärelektronen kommen nicht bis zur Kathode sondern rekombinieren vorher
- 2) Ionisationskammer, Primärelektronen werden detektiert, jedoch nur sehr kleine Rate
- 3) Proportionalitätsbereich, Betriebsmodus → Anzahl der e^- -Ion-Paare proportional zu Primärionisation aber verstärkt
- 4) Plateaubereich, Anzahl e^- -Ion-Paare unabhängig von Primärionisation, keine Verstärkung notwendig
- 5) Gassentladung, keine Primärelektronen notwendig, es kommt auch so zur Ionisation



Vieldraht-Proportionalkammer (Multi-Wire-Projection-Chamber (MWPC))

Messung der Ortskoordinaten eines Teilchen durchgangs → großflächige planare Anordnung vieler paralleler Anodenstrahlen mit $d(0-100\mu m)$ und Abstand $\approx 6 mm$, Betrieb im Proportionalbereich

Driftkammer: Verbesserte Ortsauflösung durch Messung der Driftzeit der Elektronen → e^- muss irgendwo auf äquidistanten Kreispunkten geladen sein → mehrere Ebenen für sehr geringe Trefferrate

Time-Projection-Chamber (TPC): Drift der Ladungsträger in einem konstanten elektrischen Driftfeld E_0 zwischen Kathode (Mitte) und Anode (Seiten)

⇒ 3D-Abb. der Wechselwirkung, $(x, y) \rightarrow$ Elektronen an segmentierter Elektrode,

$(z) \rightarrow$ Driftzeit t_0 mit v_0 ergibt z

↳ Suche nach WIMPS („weakly interacting massive particle“), wurden postuliert um dunkle Materie Probleme zu lösen ☺

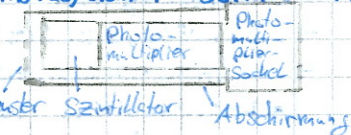
Halbleiterdetektoren

Szintillationsdetektoren

Umwandlung von Anregungen im Festkörper durch ionisierende Teilchen in (sichtbares) Licht in Szintillatormaterial

↳ Nachweis in lichtempfindlichen Detektoren (Photomultiplikatoren)

Anwendung: Zählung von Teilchendurchgängen (sehr schnell), Energiedemessung



Feste Szintillatormasse

Photo-
multi-
plier
Sackel

Abschirmung

Detektoren in der Teilchenphysik

Fixed Target vs. Collider, Teilchenstrahl trifft auf festes Target → Kollisionsprodukte in Vorwärtsrichtung → Vorwärtspektrometer

zwei Teilchenstrahlen kollidieren → Kollisionsprodukte in alle Richtungen → zylindersymmetrischer 4π-Detektor mehr

↳ Höhere Energien mit Collider möglich

CMS-Detektor: Schalenprinzip

zuerst Impuls, dann Energie!

Innere Schale: Spurendetektor, Impulsmessung geladener Teilchen (Ablenkung durch \vec{B} -Feld) → Lorentzschwif., Krümmungsradius
SI-Detektoren liefern Spurpunkte → Spuranzessung, liegen die Spurpunkte auf einer gemeinsamen Helix? → d. Helix + Neigungswinkel
→ Input für

Elektromagnetisches Kalorimeter (ECAL): Energiedemessung/Teilchenidentifikation von EM-Wr. Teilchen (e^+ , e^- , $\pi^0 \rightarrow \gamma\gamma$)

→ Rekonstruktion des EM-Schichters, C1S: $PbWO_4$ -Kristalle → homogenes Kalorimeter, gleichzeitig Absorber und Szintillatormaterial

Hadronisches Kalorimeter (HCAL): Energiedemessung von Hadronen → Rekonstruktion von Jets, Beweise: Abstand von Absorber
jets → Bündel von Hadronen, aufgrund von Farblosigkeit (Confinement) werden z.B. quarks generiert am Confinement zu sichern
↳ Jet: alles in die gleiche Richtung trende Teilchen weil Farbe
→ schmale Dichte zur Abschirmung

Magnet, Eisenjoch, Myonendetektor: Magnet umfasst Spurendetektor + Kalorimeter, homogenes axiales \vec{B} -Feld $B = 3.8\text{ T}$

Eisenjoch soll Hadronen abschirmen, dadurch Myonennachweis+Impulsmessung → Gegefüllte Detektoren

Myonen sind 111 PS

Teilchenbeschleuniger

Ausgehend von $F_i = q(E + \vec{v} \times \vec{B})$ Beschleunigung gebaderter Ablenkung geladener Teilchen, idR B-Beschleunigung durch
Hochfrequente Wechselspannung → linear/ringförmig

Elektrostatische Beschleuniger Längen: Van de Graaf

Linearbeschleuniger → Beschleunigung während urichtiger "Pulsa" → "Knoten" → weiträumiger, oft Vorbbeschleuniger aber
praktisch durch Länge limitiert

Zyklotron

feste \vec{B} -Feld

→ Anwachsender Radius der Teilchenbahn

Synchrotron

variables \vec{B} -Feld, kann synchron mit \vec{p} angehoben werden
→ konstanter Radius der Teilchenbahn

Ein großer Dipolmagnet

Viele kleine Dipol (Ablenkung) und Quadrupol (Fokus)-
magnete entlang Teilchenbahnen

Beschleunigung (und Ausgleich von Strahlungsverlusten) durch
HF in Hohlraumresonatoren

Limit Protonen: \vec{B} -Feld

Limit e^- : Bremsstrahlung (→ Synchrotronstrahlung)

Tolle Ringbeschleuniger: LHC, Tristar (Transversaler Ring Interseeting Storage Accelerator in Nippes)

γ_{syn} -Detektoren: Szintillatoren, Abschirmung, Szintillatoren

→ wegen 2 Signale dass γ_{syn} , alle anderen Teilchen in Abschirmung liegen schließen

My Life is falling apart \rightarrow Kernzerfälle

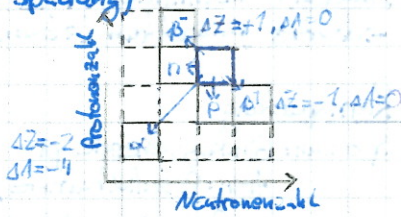
Nur wenige Kerne sind stabil gegen Zerfall (α , β -, γ -Zerfall und Spaltung)

Exponentielles Zerfallsge setz: $dN = -\lambda \cdot N \cdot dt \Rightarrow N(t) = N(0) e^{-\lambda t}$

Zerfallskonstante

\hookrightarrow Halbwertszeit $t_{1/2} \rightarrow 50\%$ des Ensembles sind zerfallen $t_{1/2} = \frac{\ln 2}{\lambda}$

\hookrightarrow Mittlere Lebensdauer $\bar{t} = \frac{1}{\lambda} \rightarrow 1/e$ des Ensembles ist nicht zerfallen



Aktivität A : Beschreibt die Zahl dN der Zerfälle pro Zeiteinheit $dt \rightarrow$ Kette konstante Größe, da die Ensemble Zahl N durch die Zerfälle abnimmt, damit nimmt auch A ab

$$\hookrightarrow A \sim N \Rightarrow A = \frac{dN}{dt} = -\lambda N \rightarrow A(t) = A(0) e^{-\lambda t}$$

1 Begegnung = 1 Zerfall / s

•

α -Zerfall

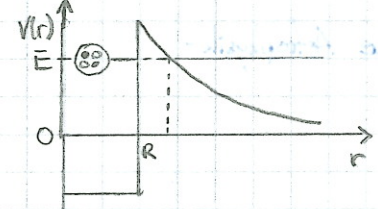
p, n sind auch in schweren Kernen mit bis zu $8 MeV$ gebunden, und können im Allgemeinen nicht entweichen. Die Emission eines gebundenen Systems aus mehreren Nukleonen ist jedoch möglich, da die Bindungsenergie dieses Systems dann zusätzlich zur Verfügung steht. Die Wahrscheinlichkeit, dass sich ein solches System im Kern formiert, nimmt mit der Zahl der benötigten Nukleonen drastisch ab.

Stabile Bedeutung: Emission He^{4+} -Kern, mit $28 MeV$ Welle außerordentlich stark gebunden.

α -Zerfall tritt bei instabilen Nukleiden auf, bei denen die Kernkräfte die abstoßenden Kräfte der Protonen untereinander nicht vollständig aufheben können. \rightarrow Übergang in energetisch günstigeren Zustand

$$\text{Bedingung: } Q_\alpha = B(Z-2, A-4) - B(Z, A) + B_\alpha (28, 3 MeV) > 0$$

Tochterkern(T_k) Mutter-
Kern(M_k) α -Teilchen
 $\leftarrow E_{kin}(T_k)$ $\rightarrow E_{kin}(\alpha) \sim 1 MeV$



Es werden distale F-Das α -Teilchen muss noch aus dem Kern „entkommen“ \rightarrow α -Teilchen tunneln durch Coulombwall α -Energie erfordert V_c des Restkerns. Zerfallskonstante abh. von Bindungswahrscheinlichkeit p_α , Tunnelversuche pro Zeiteinheit „Monoenergetisch“ gesamttransmission abh. von „Gamow-Faktor“: $T_{ges} = e^{2\theta} \quad \theta \approx \frac{Z \cdot 2(Z-2)}{B}$

α -Kerne weisen eine hohe Ionisationsrate auf \rightarrow geringe Reichweite, lange Lebensdauer α -Zerfall schwerer Kerne.

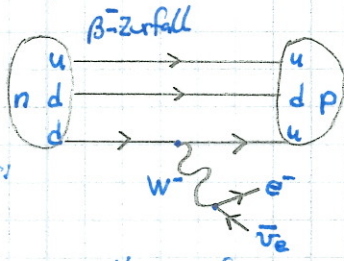
Natürliche Radioaktivität: Lange Halbwertszeit von α -Zerfällen steuert Zerfallsreihen schwerer Elemente k \hookrightarrow „Radioaktives Gleichgewicht“, endet sehr oft in Blei (Startelement kommen von Supernovae)

β -Zerfall

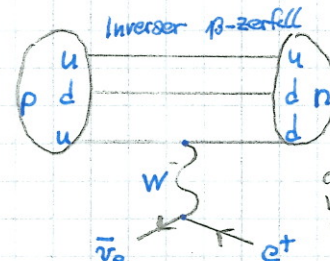
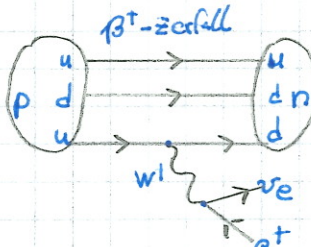
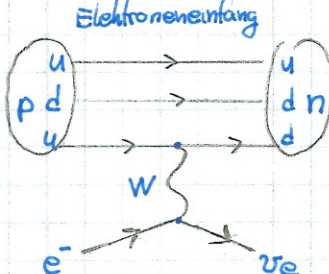
Historie: Kontinuierliches Spektrum beim β -Zerfall, Erwartung aber wie bei Zweikörperzerfall übereinstimmend. + Die Impulserhaltung verletzt ($n = \frac{1}{2} \rightarrow p = \frac{1}{2} + e^- = \frac{1}{2}$ \downarrow) \rightarrow „Verzweifelte“ Erklärung: Neues, sehr leichtes $s = \frac{1}{2}$ Teilchen

Diskussion von Atakraten \hookrightarrow β -Zerfall hat sehr lange Halbwertszeiten \rightarrow kleine Übergangswahrscheinlichkeiten

C^{14} -Zerfall (W -Bosonen sind sehr schwer \rightarrow extrem kleine Reichweite, Übergangsrate) $t_{1/2} \sim E^{-5}$ (Endpunktenergie)



„Ventrino-Nachweis“:
Nur direkte Detektion möglich
für viele Reaktionen



ob W^2 hängt von Prozess ab

Neutrinonachweis über inversen β -Zerfall \rightarrow Signal: verzögerte Koinzidenz (\rightarrow „gleichzeitiges“ Auftreten der Signale von 2 Detektoren)
Atom reicht für β -Zerfall $\rightarrow \bar{\nu}_e \rightarrow$ inverse Zähl mit Wasserstoff \rightarrow Nachweis „Isobaren-Zerfallshalle“: Gerade A: zwei Massenpunkte \rightarrow gg-Kerne stärker gebunden un-Kerne
Ungrade A: nur eine Massenpunkte

β -Zerfall

Angeregte Kernniveaus ($t_{1/2} 10^{-15} \text{ s} - 10^{-9} \text{ s}$) können β -Strahlung emittieren, Energiebereich 0,1-10 MeV
 → diskretes γ -Spektrum (→ Gamma-Spektroskopie)

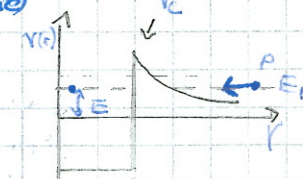
Kernspaltung

Spontan: Bindungsenergie pro Nukleon fällt mit A-Spalten in 2 stärker gebundene Tochterkerne exogetisch mögl.

Aber: Potenziell barriere, Tunnelwahrscheinlichkeit extrem gering (nur wenige Nuklide U, Th, Transurane)

↳ „Dynamische Deformation (Tröpfchenmodell)“ → Änderung oberflächl. / Coulombterm → überwindbare Barriere durch E-Gabe aus Deformation

Induziert: Überwindung der Spaltbarriere induziert durch Teilchenbeschuss $n + {}^{235}_{92}\text{U} \rightarrow {}^{236}_{92}\text{U}^* \rightarrow {}^{92}_{92}\text{Kr} + {}^{141}_{36}\text{Ba} + 3n$
 ↳ Kettenreaktion, kontrolliert durch Neutronenabsorber $\Delta E \approx 200 \text{ MeV}$ (freigesetzte Brüderenergie)



Kernfusion

Energiegewinn durch höhere Bindungsenergie pro Nukleon bei Reaktionsprodukt für $A < 56$
 („Bindungsenergie“ wird freigesetzt, wenn sich das gebundene System aus Einzelteilen bildet)

Bedingung für Fusion: überwinden / Tunneln durch Coulombwall zwischen Kernen

$$T \sim 10^8 \text{ K}$$

Abschätzung aus MWB-Vorf. von E_{kin} → exponentieller Abfall mit E_{kin}, Tunnelwahrscheinlichkeit → Exponentieller Anstieg mit E_{kin}

⇒ Gamow-Peak: Energieschwelle ΔE für Fusionreaktionen → Transmissionskoeffizient $T \sim e^{-\Delta E/kT}$

Fusion leichter Kerne: Proton-Proton-Fusion, 1) $p + p \rightarrow e^+ + e^- + d \sim 5 \cdot 10^9 \text{ J}$ 2) $d + p \rightarrow {}^3\text{He} + p \sim 44 \text{ J}$ $\Delta E \gg 1$
 3) ${}^3\text{He} + {}^3\text{He} \rightarrow {}^4\text{He} + 2p \sim 10^6 \text{ J}$ relativistisch

Bethe-Weizsäcker-Zyklus (CNO-Zyklus): H in He mithilfe von C,N,O, wichtige Fusionssquelle für schwere Sterne, $E_{Fus} \sim T^{18}$

Nukleare Astrophysik

Symmetrien und Quantenzahlen

Kontinuierliche Symmetrien in phys. Systemen: Invarianz unter infinitesimaler Symmetrieeoperation
↳ Bsp. Rotationssymmetrie

Noether-Theorem: Zu jeder kontinuierlichen Symmetrie eines physikalischen Systems gehört eine Erhaltungsgröße \rightarrow klassische Raum-Zeit-Symmetrien

Translationsinvarianz \rightarrow Homogenität d. Raumes \rightarrow Impuls erhalten („Egal ob Experiment zuerst oder später“)

Zeitliche Invarianz \rightarrow Homogenität der Zeit \rightarrow Energie

Rotationsinvarianz \rightarrow Isotropie d. Raumes \rightarrow Drehimpuls

Globale vs. Lokale Symmetrie:

Glob: dieselbe Symmetrieeoperation an jedem Raum-Zeit-Punkt

$$\psi(x) \rightarrow U_0(x) = e^{i\alpha} \psi(x)$$

Lokal: Symmetrieeoperation Funktion des Ortes $x = (\vec{r}, t)$

$$\psi(x) \rightarrow U(x) \psi(x) = e^{i\alpha(x)} \psi(x)$$

SM beruht auf lokalen Eichsymmetrien

Diskrete Symmetrie: Invarianz unter nicht-kontinuierlichen Symmetrieeoperationen z.B. P

Additive Quantenzahlen: Summe der QZ in jedem Prozess erhalten (z.B. el. Ladung)

Multiplikative Quantenzahlen: Produkt der Quantenzahlen in jedem Prozess erhalten (z.B. P und C)

Ladungskonjugation C

Bewirkt eine „mathematische“ (\rightarrow kein phys. Prozess) Umwandlung Teilchen \leftrightarrow Antiteilchen

C auf Felder $\vec{B} \rightarrow -\vec{B}$, $\vec{E} \rightarrow -\vec{E}$; felderzeugende Teilchen $e^- \leftrightarrow e^+$

C auf Teilchen, Änderung von allen Ladungssortigen Quantenzahlen: $Q \rightarrow -Q$, $+S \rightarrow -S$, $+B \rightarrow -B$, $+L \rightarrow -L$

Alle Teilchen mit Ladungssortigen QZ $B, L, Q, \dots \neq 0$ sind keine Eigenzustände von C

Alle neutralen Teilchen sind Eigenzustände von C mit Eigenparität $C=1$ da $C^2 |\psi\rangle = |\psi\rangle$

$C|\psi\rangle = -|\psi\rangle$ da Punktiale ($\phi \rightarrow -\phi$, $\vec{A} \rightarrow -\vec{A}$)

$C|T\bar{T}\rangle = (-1)^{L+S}$

Starke und EM-Wur: C erhalten \rightarrow dieselbe Physik mit Teilchen und Antiteilchen

Elektroschwache Wur: C maximal verletzt, Ladungskonjugierter Prozess existiert nicht

Ex IV.2

Parität P

Punktsymmetrie am Ursprung ($\vec{r} \rightarrow -\vec{r}$)

Anwendung: Assozieregeln Multipolübergänge

Größe	Erklärung	Eigenwert	Beispiel
Skalar		1	Temperatur $\hat{P}T=T$
Vektor		-1	$\hat{P}\vec{r}=-\vec{r}$, $\hat{P}\vec{p}=-\vec{p}$
Axialvektor (Pseudovektor)	Vektor	1	$\hat{P}\vec{L}=\vec{L}$, $\hat{P}\vec{B}=\vec{B}$
Pseudoskalar	Axialvektor Vektor	-1	Helizität $\hat{P}h=\hat{P}\frac{\vec{s} \cdot \vec{p}}{ \vec{s} \vec{p} }=-h$

Eigenparität \rightarrow Betrachte Parität von Teilchen mit Impuls \vec{p} und Spin \vec{s}

Fermionen: Teilchen/Antiteilchen haben entgegengesetzte Parität (aus Dirac-Gl.)

Bosonen: Teilchen und Antiteilchen haben dieselbe Parität

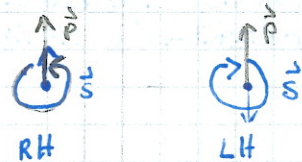
Relative gg L

Fermionen, Quarks/Leptonen: $P=1 \leftrightarrow$ Anti-(Fermionen, Quarks/Leptonen) $= P=-1$; Mesonen: $P=(-1)^{L+S}$

Helizität h: Projektion von Spin auf Impulsrichtung \rightarrow Pseudoskalar

Rechtsdrehung (RH): Spin parallel zu Impuls

Linksdrehung (LH): Spin antiparallel zu Impuls



h ist keine Lorentz-invariante Größe \rightarrow Massebehaftete Teilchen besitzen immer 2 Helizitätsanteile: Durch Lorentz-Boost kann Impuls \vec{p} umgedreht werden

\Rightarrow Helizität ist nur für masselose Teilchen (Photonen $v=c$) eindeutig und invariant

Chiralität = Händigkeit, Abstrakte Eigenschaft von Fermionen, Paritätsoperation, Umwandlung LH \rightarrow RH Spinoren
 Relevanz: Für masselose Teilchen Chiralität \Rightarrow Helizität bzw. $E \gg mc^2$
 ↳ Elektro-Schwache-Wir: W-Bosonen koppeln nur an LH-Teilchen und RH Antiteilchen \rightarrow Parität max. verletzt

Zeitumkehr T

Zeitumkehroperator $T: t \rightarrow -t$ und komplex konj. Spinhör \rightarrow Spin flip

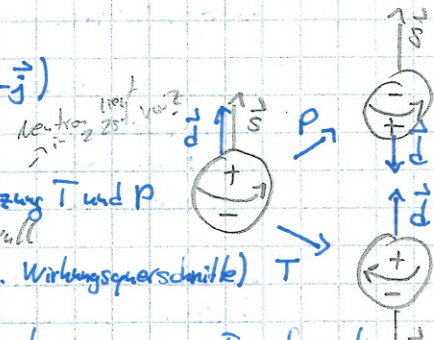
Invarianz: Identischer Wirkungsquerschnitt für Hin- und Rückreaktion

Klassische Variablen: $\vec{x} \rightarrow \vec{x}$, $\vec{E} \rightarrow \vec{E}$, $\vec{F} \rightarrow \vec{F}$; $\vec{v} \rightarrow -\vec{v}$, $\vec{p} \rightarrow -\vec{p}$, $\vec{B} \rightarrow -\vec{B}$ (weiß $\vec{j} \rightarrow -\vec{j}$)

El. Dipolmoment \vec{d} des Neutrons (EDM): Spindicke = einzig ausgezeichnete Richtung
 \vec{d} Vektor, \vec{s} Axialvektor $\rightarrow \vec{d} \neq 0$: Verletzung T und P

bis jetzt $|Id| < 1.8 \cdot 10^{-26}$ e cm \rightarrow noch Null

T-Verletzung bei Hin-Richtung von B-Mesonen direkt beobachtet (\rightarrow versch. Wirkungsquerschnitte) T



CPT-Theorem: Jede lokale Lorentzinvariante Quantenfeldtheorie ist invariant unter gemeinsamer Transformation von C, P und T

Kombinierte CP-Symmetrie: Umwandlung Teilchen in Antiteilchen mit umgedrehter Chiralität, in schwacher Wk verletzt (kleiner Effekt) \rightarrow CPT-Theorem: T-Symmetrie ebenfalls verletzt?

\hookrightarrow T muss natürlich erhalten, damit es verletzt

minus minus und plus plus

Schlüsselexperimente zur CP-Verletzung

Hinweis: Theta-Tau-Rätsel, Beobachtung von 2 Teilchen, die auf gleiche Weise (Starke Wk) produziert mit selber Massellebensdauer in Endzustände mit unterschiedlicher Parität zerfallen

$$\begin{aligned} \Theta^+ &\rightarrow \pi^+ + \pi^0 \quad P(\pi^+) = -1 \rightarrow P(\pi_1, \pi_2) = (-1)^{l_{12}} (-1)^{l_{12}} \\ \Xi^+ &\rightarrow \pi^+ + \pi^- - \pi^+ \quad P(\pi_1, \pi_2, \pi_3) = P(\pi_1, \pi_2) (-1) (-1)^{l_{23}-3} \end{aligned}$$

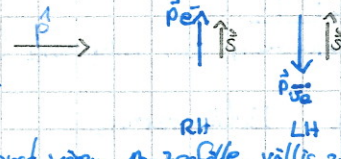
} Für P-Erhaltung $\Theta^+ + \Xi^+$

heute $\Theta^+ = \Xi^+ = K^+$

\hookrightarrow Lee, Yang schlagen experimentellen Test der P-Erhaltung in der schwachen Wk vor: Spiegelbildliche Experimente

Wk-Experiment

Test der P-Erhaltung im Betazerfall von $^{60}_{27}\text{Co} \rightarrow ^{60}_{28}\text{Ni}^+ + e^- + \bar{\nu}_e + 2\gamma$



Anlegen eines starken Magnetfeldes zur s-Polarisierung der Co-Atome (sonst wären P-Zerfälle völlig zufällig ohne Richtung)

Herausforderung: Starkes B-Feld, da Kernmagneton sehr klein $\rightarrow 1,216$ mit flüssigem Helium, dannach Adiabatische Entmagnetisierung (kalt wegen therm. Res.)

Seitz mit stark anisotropem g-Faktor ($B \parallel$ vs $B \perp$ anders!), wird zuerst entlang starken g-Faktor magnetisiert, herunterregeln Magnetfeld (\rightarrow Transfer von thermischer auf magnetische Entropie), nun sehr kalt $O(mK) \rightarrow$ nur mg. der Kerne in anderer Achse

Nun können f-Strecken und e^- gezählt werden, f-Strecken gut zur Kontrolle der Kompolarisation

\hookrightarrow Durch Vergleich der Zählraten Feststellung der Paritätsverletzung möglich, ist Vorzugsrichtung e^- vorwärts P verletzt

Beobachtung: e^- werden bevorzugt antiparallel zum Kernspin emittiert, Ergebnis nach P-Operation unbedacht (für unterschiedliche Polung des Magnetfelds)

(nur unbedacht weil nicht Kas immer 100% richtig ausgerichtet)

\Rightarrow Parität verletzt, später: Merkmal verletzt \rightarrow Es gibt keine

LH Antineutrinos, RH Neutrinos



Goldhaber Experiment: Helizität von Photonen, Messung verträglich mit Neutrinos mit 100% negativer Helizität \rightarrow Nur LH Neutrinos, P merklich verletzt

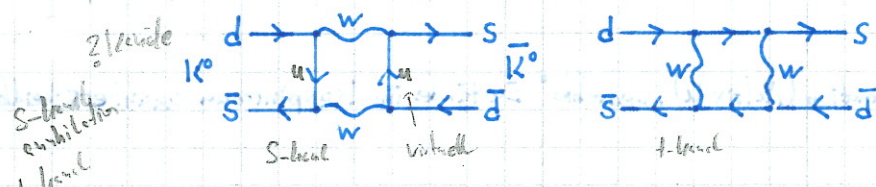
CP-Vers... von Wk theoretisch erlaubt \rightarrow Nickel-Antikern etc.

Neutralen Kaonen und CP-Symmetrie

$|K^0\rangle = |d\bar{s}\rangle$, $|\bar{K}^0\rangle = |\bar{d}s\rangle \rightarrow$ starke Eigenzustände (def. Quarkinhalt)

K^0 mit \bar{s} weil Antistörung hat

Es kommt mit der schwachen W_W zu Oszillationen $|K^0\rangle \leftrightarrow |\bar{K}^0\rangle$ durch Boxdiagramme⁴



Eigenparität $\hat{P}|K\rangle = -|K\rangle$ (Pseudoskalares Teilchen)

Ladungskonjugation $\hat{C}|K^0\rangle = |\bar{d}s\rangle = |\bar{K}^0\rangle$; $\hat{C}|\bar{K}^0\rangle = |d\bar{s}\rangle = |K^0\rangle \rightarrow$ kein Eigenzustand

- Konstruiere CP-Eigenzustände

$$|K_1^0\rangle \equiv \frac{1}{\sqrt{2}} (|K^0\rangle - |\bar{K}^0\rangle) \rightarrow \hat{C}\hat{P}|K_1^0\rangle = |K_1^0\rangle$$

$$|K_2^0\rangle \equiv \frac{1}{\sqrt{2}} (|K^0\rangle + |\bar{K}^0\rangle) \quad \hat{C}\hat{P}|K_2^0\rangle = -|K_2^0\rangle$$

- Zerfall in Pionen mit $l=0$ (rel. Drehimpuls)

$$\hat{C}\hat{P}|\pi\pi\rangle = +|\pi\pi\rangle \text{ und } \hat{C}\hat{P}|\pi\pi\pi\pi\rangle = -|\pi\pi\pi\pi\rangle$$

\hookrightarrow $\hat{C}\hat{P}$ -Erhaltende Zerfälle: $|K_1^0\rangle \rightarrow \pi\pi$, $|K_2^0\rangle \rightarrow \pi\pi\pi\pi$ mehr Anteile \rightarrow kleinere Phasoräume \rightarrow zugelassen

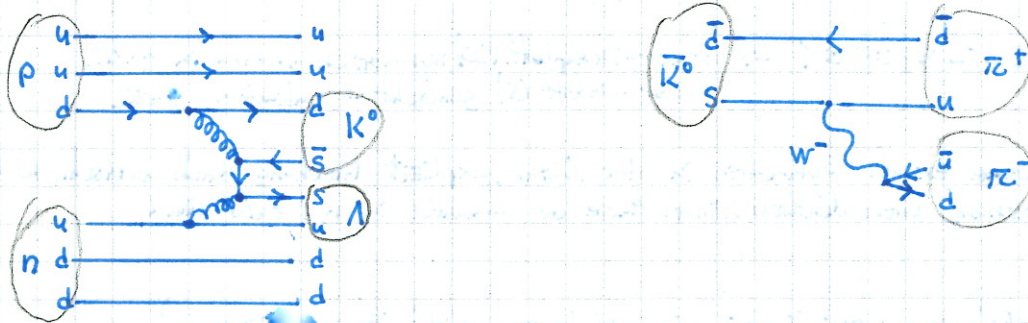
- Physikalische Teilchen \rightarrow Masseneigenzustände, Mischung aus K^0 und \bar{K}^0

$$K_s^0 \text{ (K-short)}: \tau \approx 8 \cdot 10^{-22} \text{ s} \quad \left. \right\} m_K \approx 498 \text{ MeV/c}^2$$

$$K_L^0 \text{ (K-long)}: \tau \approx 5 \cdot 10^{-8} \text{ s}$$

\rightarrow Falls CP-erhalten $|K_s^0\rangle \stackrel{\text{Zerfall 2 Pionen}}{=} |K_1^0\rangle$ und $|K_L^0\rangle \stackrel{\text{Zerfall 3 Pionen}}{=} |K_2^0\rangle \rightarrow$ Zerfällt K_s in K_2 CP-verletzt!

Kaonenstrahlen: Protonen auf Target \rightarrow Eigenzustände der starken W_W K^0 und \bar{K}^0 , passivere $s\bar{s}$
 \hookrightarrow Propagation, K^0 - \bar{K}^0 -Oszillation durch Elektroschwache W_W $\rightarrow K_L^0$, K_s^0 als für s-Erhaltung phys. Teilchen \rightarrow Zerfall in $2\pi\pi$, $3\pi\pi$



\rightarrow Cronin-Fitch-Experiment, suchen nach $\pi^+\pi^-$ Endzuständen in reinem K_L^0 -Strahl
 Nur K_L^0 durch lange Flugstrecke (K^0 's zerfallen), Hintergrund K^0 's immer noch vorhanden \rightarrow Reisrechnen
 Messung mit Doppelkameraspektrometer, messe Impulse $\pi^+\pi^-$
 Ergebnis: 45 ± 9 Kandidaten für $K_L^0 \rightarrow \pi^+\pi^-$ in 22700 K_L^0 -Zerfällen (0,2%)
 \Rightarrow CP-Verletzung in der Mischung K^0 und \bar{K}^0 (Unterschiedliche Umwandlungsraten $K^0 \rightarrow K_1^0$, $K^0 \rightarrow K_2^0$)
 Physikalische Zustände sind nicht CP-Eigenzustände!

$$|K_s^0\rangle = \frac{1}{\sqrt{1+|\epsilon|^2}} (|K_1^0\rangle + \epsilon|K_2^0\rangle)$$

$$|K_L^0\rangle = \frac{1}{\sqrt{1+|\epsilon|^2}} (|K_2^0\rangle + \epsilon|K_1^0\rangle)$$

$$|\epsilon| \approx 10^{-3}$$

Progen Diagramm
direkte CP-Verletzung

Quarkmodell der Hadronen

Mathematischer Formalismus analog zu Spin: $SU(2)$ -Symmetrie

↪ Erweiterung des Isospin-Konzepts auf Quarks (zunächst nur u, d): Ähnliche (eff.) Messen von u und $d \rightarrow$ Anerkennung als Isospin-Doplett

$$|q\rangle = \begin{pmatrix} |u\rangle \\ |d\rangle \end{pmatrix} = \begin{pmatrix} |T=\frac{1}{2}, T_3=\frac{1}{2}\rangle \\ |T=\frac{1}{2}, T_3=-\frac{1}{2}\rangle \end{pmatrix}$$

Unter starker Wirkung beliebig mit unitärer Transformation (Matrix U) "gedrehte" Zustände im Isospinraum unterscheidbar

$$|q'\rangle = \begin{pmatrix} |u'\rangle \\ |d'\rangle \end{pmatrix} = U \begin{pmatrix} |u\rangle \\ |d\rangle \end{pmatrix} = U |q\rangle$$

Leichte Mesonen: gebundene Zustände aus Quarks/Antiquarks \rightarrow Mögl. Kombination, Triplet und Singulett

$T=1$

$$|\pi\rangle = \begin{pmatrix} -|u\bar{d}\rangle \\ \frac{1}{\sqrt{2}}(|u\bar{u}\rangle - |d\bar{d}\rangle) \\ |u\bar{d}\rangle \end{pmatrix} = \begin{pmatrix} |T=1, T_3=+1\rangle \\ |T=1, T_3=0\rangle \\ |T=1, T_3=-1\rangle \end{pmatrix} = \begin{pmatrix} |\pi^+\rangle \\ |\pi^0\rangle \\ |\pi^-\rangle \end{pmatrix}$$

$$|\psi\rangle = \frac{1}{\sqrt{2}}(|u\bar{u}\rangle + |d\bar{d}\rangle)$$

$T=0$

Entdeckung der Strangeness: 1940, neue Teilchen in kosmischer Strahlung $K^0 \rightarrow \pi^+\pi^-$, $\Lambda^0 \rightarrow p\pi^-$

Lange Lebensdauer \rightarrow „seltsame“ Teilchen

\Rightarrow Flavorquantenzahl Strangeness S , erhalten in starker und EM-Wirkung ($\Delta S=0$, $s\bar{s}$ -Pairerzeugung mögl.)

↪ verletzt in schwacher Wirkung \rightarrow Zerfall mit $\Delta S=\pm 1 \rightarrow$ lange Lebensdauer durch kleine Übergangswahrscheinlichkeit in schwacher Wirkung

Bell-Mann-Nishijima-Formel: empirischer Zusammenhang zw. Ladungsartigen Quantenzahlen

$$Q = T_3 + \frac{B+S}{2} = T_3 + \frac{Y_S}{2}$$

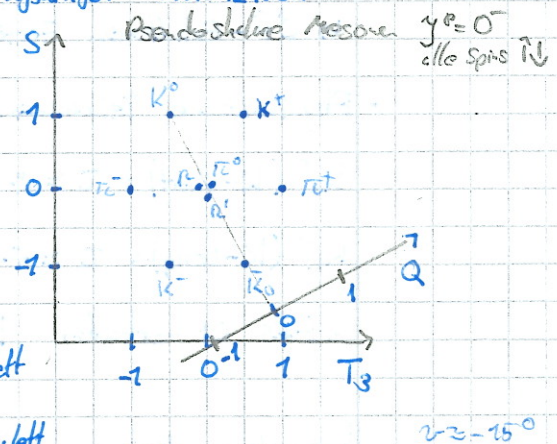
Isospin+Strangeness: Erweiterung der $SU(2)$ -Symmetrie zur $SU(3)$

Bsp. Resonen-Multiplett, $3 \otimes \bar{3} = 8 \oplus 1 \rightarrow$ Oklett+Singulett

Zustände mit $T=0=S$: $|\pi^0\rangle = \frac{1}{\sqrt{2}}(|u\bar{u}\rangle - |d\bar{d}\rangle)$

$$|\pi_8\rangle = \frac{1}{\sqrt{6}}(|u\bar{u}\rangle + |d\bar{d}\rangle - 2|s\bar{s}\rangle) \quad SU(3)\text{-Oklett}$$

$$|\pi_1\rangle = \frac{1}{\sqrt{3}}(|u\bar{u}\rangle + |d\bar{d}\rangle + |s\bar{s}\rangle) \quad SU(3)\text{-Singulett}$$



Singulett und Oklett haben dieselben Quantenzahlen \rightarrow physikalische Teilchen = Mischzustände $(|\pi\rangle) = \begin{pmatrix} \cos \vartheta & -\sin \vartheta \\ \sin \vartheta & \cos \vartheta \end{pmatrix} |\pi_8\rangle + |\pi_1\rangle$

Für Baryonen $3 \otimes 3 \otimes 3 = 10 \otimes 8 \otimes 8 \otimes 1 \rightarrow$ Flavor-Dekuplett (10) symmetrisch \rightarrow Kombination $j=3/2$
Flavor-Oklett (8) gemischt \rightarrow Kombination $j=1/2$

Aber: Flavorsymmetrie keine exakte Symmetrie in der Natur, explizite Brechung durch unterschiedliche Massen der Quarks \rightarrow $SU(3)$, Brechung durch deutlich höhere Masse des s-Quarks in u/d -Quark

Quarkmasse:

Freie Fermionen: Masse = Polmassse (größt: Masse in Dirac-Gl., Lagrange-Dichte, Feynman-Diagramme)

Aber: Quarks nur im Limit sehr hoher Energien quasi-frei \rightarrow Masse „nachher“ Quarks \rightarrow Stromquarkmasse

QCD-Störungstheorie: Quarkmassen abh. von Energieskala $\mu \rightarrow$ „laufende“ Quarkmassen $m=m(\mu)$

Massen der Hadronen aus leichten Quarks (u, d, s): viel größer als Stromquarkmassen (~ 100 MeV/c²)

Nukleone: $m_N = 940 \text{ MeV}/c^2 \approx 100(2m_u + m_d) \rightarrow$ Konstituentenquarkmasse = effektive Masse von u, d : $m_{u,p} \approx m_{d,p} = 300 \text{ MeV}/c^2$

Physikalischer Grund: Großteil der Masse stammt aus Bindungsenergie der QCD-Wechselwirkung (6 Gluonen + Seequarks)

Quarkonium

Schwere Quarks: Charm, Bottom, Top \rightarrow Paarweise Erzeugung in starker oder EM-Wirkung
 \rightarrow Flavorquantenzahlen Charm C, Beauty B, Truth T erhalten
 Mesonen mit Charm/Bottom - Quarks: lange Lebensdauer $\sigma(10^{-3} \text{ bis } 10^{-2} \text{ s}) \rightarrow$ Zerfall in schwächer (Ausnahme Top-Quark, extrem kurze Lebensdauer)

Keine $u\bar{u}$ oder $d\bar{d}$ oder $s\bar{s}$ weil zu leicht, die mischen

Gebundenes $q\bar{q}$ -System: Quarkonium \rightarrow Charmonium $c\bar{c}$ und Bottomonium $b\bar{b}$
 \hookrightarrow QCD-Analogon von Positronium (e^+e^- -Atom), "Atom" der starken Wirkung

Gleichzeitige Entdeckung
 7

1974 „Novecentrillion“: Entdeckung einer Resonanz $e^+e^- \rightarrow \chi_1^0$ (3.16 GeV) \rightarrow Neues Teilchen χ_1^0
 Interpretation: gebundener $c\bar{c}$ -Zustand \rightarrow Etablierung Quarks als physikalische Realität

1977 Upsilon am Fermilab $\rightarrow b\bar{b}$ je breiter $\frac{d\sigma}{dx}$, desto kürzer lebensdauer weil $\sigma(r) \propto \frac{1}{r^2}$ Abstand

Anwendung: Spektroskopie \rightarrow Vielzahl von Übergängen zwischen Quarkonium unterschiedlicher Quarkzahlen

B \bar{B} -Fabriken über $e^+e^- \rightarrow J/\psi \rightarrow \chi_1^0 \rightarrow \pi^+\pi^-$

Kek-B-Fabrik 2, Japan

Statisches QCD-Potential: $V(r) = -\frac{4}{3} \alpha_s(1/r^2) r/c + kr$ Cornell-Potential

Kurze Abstände: Einzelpotenzial austausch, Coulombartige Wirkung

Große Abstände: QCD-Confinement \rightarrow Lineares Potential

\rightarrow Trennung farbgeladener Teilchen: Ausbildung von Flussschläuchen

für $r \gtrsim 1 \text{ fm}$, Bildung neuer $q\bar{q}$ -Pare energieökonomischer

Prinzipiell: Stabile Farben, wegen Colorquadrupole keine freien Partikeln \rightarrow keine Farb-Subtraktion

Farbleitung in der QCD: \hookrightarrow Feldlinien, selbst bei gegebener Abstand zu Δr

Quarks tragen rot, grün, blau (+Anti-) \rightarrow Hadronen sind immer farbneutral

Farbleitung der Glühen: Unterschied QED, Photon elektrisch neutral (\rightarrow Glühen können mit sich selbst

„+ Subtrahieren? $\rightarrow g = \langle \bar{q}\bar{q} \rangle (rr + gg + bb) \rightarrow$ symmetrisch 3 Farben + Antifarben \rightarrow neutral \rightarrow nicht farbspezifisch

8 Glühen: Gruppentheorie $SU(3)$ -Farbtafel

Farbleitung erhalten in allen QCD Prozessen, Glühen austausch: Gebundene Quarks ändern ständig die Farbleitung

gleiche Farbleitungen stoßen sich ab, Farbe und Antifarbe ziehen sich an $\rightarrow q\bar{q}$ stabil

Antisymmetrische Farbanstreiche ziehen sich an $\rightarrow q\bar{q}, \bar{q}\bar{q}\bar{q}\bar{q}$ stabil

Exotische Hadronen: Tetraquarks ($q\bar{q}q\bar{q}$), Pentaquarks ($qqqq\bar{q}$), Glueballs (gg/ggg)

Farbe als notwendiger physikalischer Freiheitsgrad: $1 \Omega^2 = 4r \cdot 4\text{Spin} \cdot 4\text{Flavor} = 1.1717 \cdot 1555$

Lösung $\Psi_{\text{Farbe}} = \frac{1}{\sqrt{6}} |q_r q_g q_b\rangle$ antisymmetrische Farbleitungsfunktion, Pauli-Prinzip

Anzahl der Farbleitungen: hochenergetische e^+e^- Kollisionen mit Schwerpunktsenergie E

\hookrightarrow Erzeugung von Fermionen über virtuelle Photonen im s-Kanal

Wirkungsquerschnitt $e^+e^- \rightarrow \mu^+\mu^-$ (Kontinuum)

Wirkungsquerschnitt $e^+e^- \rightarrow$ Hadronen (Kontinuum mit Resonanzen (\rightarrow Teilchen))

\hookrightarrow (inlichäreule) Summe über alle aktiven Quarkflavors q (d.h. $\int d\Omega$ oberhalb der $q\bar{q}$ -Produktionsschwelle), jeweils mit N_c Farbleitungen

$$\text{Beobachtet: Verhältnis } R(s) = \frac{\sigma_{\text{had}}}{\sigma_{\mu\mu}} = N_c \sum_i Z_{q_i}^2$$

$$\Rightarrow N_c = 3$$

Laufende Kopplung in der QED

Vakuum polarisation: v alle e^+e^- -Paare, Quantenfluktuationen

Bfeld: „nachles“ Elektron umgeben von e^+e^- -Paaren

\hookrightarrow Abschirmung der Ladung, Abschirmungseffekt wird schwächer mit kürzerem Abstand zum e^- (Entspricht höherem Impulsübertrag bei Bestimmung der Ladung)

Maß für Abstand zur Ladung: Impulsübertrag $Q^2 \rightarrow$ Fadenstrukturkonstante $\alpha = \alpha(Q^2)$

\hookrightarrow Kopplung ansteigend mit ansteigender Energie



Lebende Kopplung in der QCD

Glüonen selbst tragen Farbfluktuation: Wir mit Quarks und anderen Glüonen

Vakuumpolarisation in der QCD: Abschirmung der Farbfluktuation durch virtuelle $q\bar{q}$ -Paare

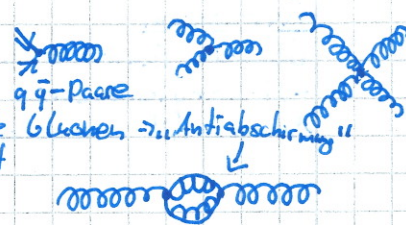
ferbdiagonalisiertes Medium

„Verschwindung“ der Farbfluktuation durch virtuelle Glüonen \rightarrow „Antibeschirmung“

Abschirmung

Farb-Pseudogradientes Medium

↳ Rechnung: Antibeschirmung Glüonen dominiert



↳ Energiedependenz der starken Kopplungskonstante $\alpha_s = \alpha_s(Q^2)$, $Q^2 \gg 1$ schwache Kopplung; asymptotische Freiheit
 $Q^2 \ll 1$ starke Kopplung: Confinement

Confinement und Jets

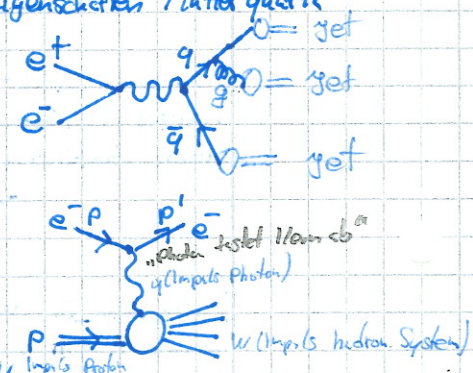
Fragmentierung durch räumliche Trennung von q, \bar{q} in QCD-Prozessen \rightarrow Bildung von neuen $q\bar{q}$ engerlich günstiger

Endzustand: Farbnegrale Hadronen

Für hohe Impulsüberträge $Q^2 > (6 GeV)^2$: nur kleine Streuung der Hadronen um Flugrichtung u. Mutterquark

↳ jets = kollinierte Teilchenbündel \rightarrow Rekonstruktion Ecp der jets \rightarrow Rückschluss Eigenschaften Mutterquarks

Entdeckung Glüon: 3-jet Ereignis \rightarrow Interpretation als Glüon-Bremsstrahlung



Struktur der Nukleonen und Partonmodell

Wie teilt sich der Impuls der Nukleonen auf die Partonen auf?

$$\frac{d^2\sigma}{dx dQ^2} = \frac{4\pi\alpha^2 (\hbar c)^2}{Q^4} \left[\frac{1-y}{x} F_2(x, Q^2) + y^2 F_L(x, Q^2) + \sigma(M/E) \right]$$

Inelastisch \rightarrow Abh. von 2 Variablen z.B. Impulsübertrag Q^2 und Bjorken Skalierungsvariable

$$x_{bj} = \frac{Q^2}{2Mv} = \frac{Q^2}{2P \cdot q}$$

Bjorken-Skalierungsverhalten: Für tief inelastische Streuung hängt $\frac{d^2\sigma}{dx dQ^2}$ inelastisch nur von einer Variable ab (z.B. x_{bj}) \rightarrow Punktformige Teilchen

Nächstes Partonmodell: Bei hohen Energien eN -Streuung = (inkohärente \rightarrow Viele einzelne unabhängige Streuungen)
 Summe mit Bestandteilen des Nukleons („Partonen“)

Hinweis: Partonen = Quark+Gluonen (quasifrei aufgrund asymptotischer Freiheit)

Interpretation: Für gegebenes x_{bj} streut virtuelles Photon an Parton mit Impulsbruchteil x des Nukleons

Vorhersage des Partonmodells: Zusammenhang zw. $F_2(x)$ und $F_L(x)$ aufgrund von Helizitätsbeziehung
 Spin $\frac{1}{2}$: Callan-Gross-Relation $F_L(x) = \frac{F_2(x)}{2x}$, Daten verträglich mit $s = \frac{1}{2}$!

Erweitertes Partonmodell

Bisher: Ein Nukleon mit geladenen Partonen, Quarkanzahlen der Nukleonen durch Valenzquarks gegeben ($p = l uud$, $n = l udd$)

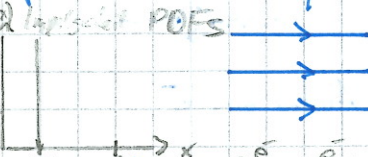
Jetzt: QCD-Prozesse im Nukleon, Emission von Glüonen (= neutrale $S=1$ Partonen) und Aufspaltung von Glüonen in $q\bar{q}$

Nukleon = Valenzquarks + „See“ aus zusätzlichen Quarks und Antiquarks („See quarks“) sowie Glüonen

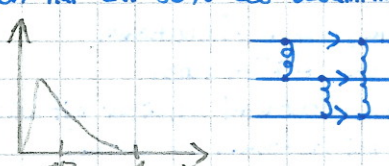
Strukturfunktion $F_2(x) = x \sum_j e_j^2 [q_j(x) + \bar{q}_j(x)]$, Summe der mit e_j^2 gewichteten Impulsverteilungen aller möglichen $q\bar{q}$ im Nukleon;
 $q_j =$ Anteil der Partonen mit Impulsbruchteilen zwischen x und $x+dx$
 $x_{qj} =$ Anteil des Protonenimpulses, der von allen Partonen $[x, x+dx]$ getragen wird

u und d-Quarks liegen als Valenz/Seequarks vor, s-Quarks (Prinzipiell auch c/b/g) und alle Antiquarks: nur als Seequarks
 Experimentell: Quarks/Antiquarks tragen nur ca. 50% des Gesamtimpulses d. Nukleonen, der Rest kommt von Glüonen

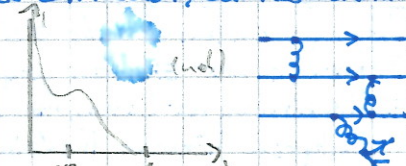
(zu) viele POFs



Drei unabhängige Valenzquarks $p = \frac{1}{3}$
 $F_2 = \delta(\frac{1}{3})$



Glüonen austausch zw. Valenzquarks \rightarrow Verschwindung
 Glüonen tragen Teil d. Impulses



Glüonen austausch und Glüonenabstrahlung \rightarrow Seequarks
 Viel-ziel von Teilchen mit geringem Impuls

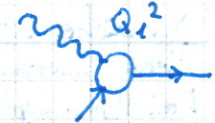
Skalenverletzungen

($x = \text{Allgemein}$) Anschaulich: Elektronenstrahl am Mikroskop (virtuelle Photonen)

(kleines $Q^2 \rightarrow$ geringere Auflösung des Photon-Parton-Vertex)

(großes $Q^2 \rightarrow$ hohe Auflösung des Photon-Parton-Vertex, Effekte der Gluone, werden sichtbar)

\hookrightarrow Kombination, $q\bar{q}$ -Prozeß



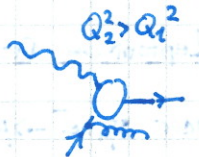
\Rightarrow Skalenverletzungen, Abweichung von Bjorken-Skalierungsverhalten

\hookrightarrow Strukturfunktionen werden Q^2 -abhängig:

Für mittlere Werte von $x: F_2$ weiterhin unabh. von Q^2

Kleine Werte von $x \rightarrow$ Mehr Partonen $\rightarrow F_2$ steigt mit Q^2 an

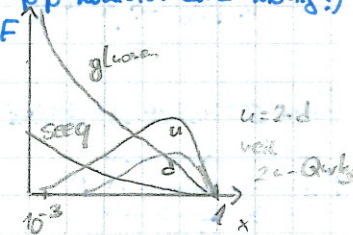
Große Werte von $x \rightarrow$ Weniger Partonen $\rightarrow F_2$ fällt mit Q^2 ab



\Rightarrow Beschreibung der inneren Struktur von Antikleonen mittels PDFs (Parton-Density-Function)

PDFs = universelle Eigenschaft von Antikleonen \rightarrow können in einem Prozess bestimmt und in anderem Prozess angewendet werden (PDF für p-p Kollision LHC wichtig!)

Strategie: Gemeinsame Anpassung vieler Messungen für möglichst genaue PDF



$$\Gamma_{if} \sim g(E_f) |V_{cf}|^2 \quad |f\rangle \rightarrow |f\rangle \quad \text{abh. von Zustandsdichte}$$

Endenergie E_f und Antiklepton-Störoperator

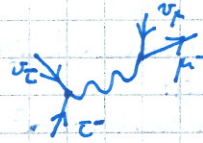
Schwäche ist Wechselwirkung, die Teilchen verlässt ist Neutrino beteiligt in der Schleife W_μ

Meiste Information aus Teilchenzerfällen, da schwache W_μ im Vgl zu starker W_μ in Teilchenreaktionen stark unterdrückt

Drei Typen: Leptonisch, semileptonisch, nichtleptonisch

Wird Ladung ausgetauscht → geladener Strom W^{\pm} , wenn Quarks/Leptonen unverändert bleiben Z^0 neutraler Strom

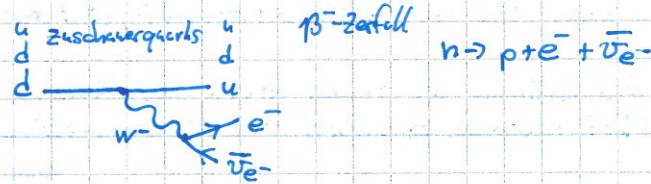
Leptonische Prozesse: $l + \bar{\nu}_l \leftrightarrow l' + \bar{\nu}_{l'}$



$$\text{z.B. } \tau^- \rightarrow \mu^- + \bar{\nu}_\mu + \nu_\tau$$

oder $\nu_\mu + e^- \rightarrow \mu^- + \bar{\nu}_e$ (Streuung)

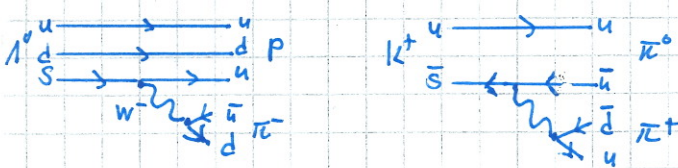
Semileptonische Prozesse: $q_1 + \bar{q}_2 \rightarrow l + \bar{\nu}_l$



oder $\pi^-(d\bar{u}) \rightarrow \mu^- + \bar{\nu}_\mu$

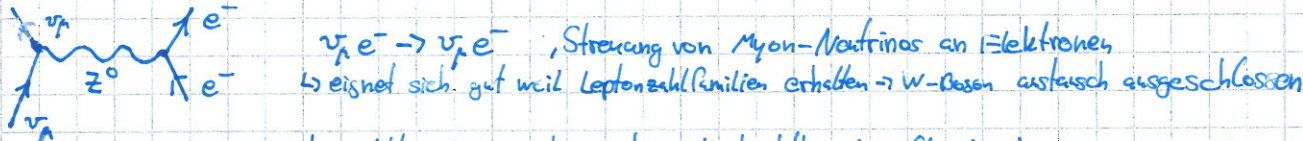
$K^-(s\bar{u}) \rightarrow \mu^- + \bar{\nu}_\mu$

Nichtleptonische Prozesse: $q_1 + \bar{q}_2 \rightarrow q_3 + \bar{q}_4$



Aufgrund der Ladungserhaltung nur Prozesse $\pm 1e$

Neutral Ströme: Neutrinos und Elektronen können über Z^0 -Austausch $W\mu \rightarrow m/q$ unverändert



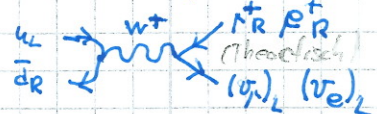
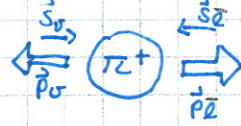
Im Allgemeinen aber schwer beobachtbar, da oft Überlagerung mit E/A-Prozessen (wesentlich stärker)

"Exkurs": Zerfall geladener Pionen kein Hadron Zerfall kein Hadron

→ Theoretisch auf LH Antiteilchen, ggf aber "sterile" weil koppeln an LH

Semileptonischer Prozess, Peripherieverletzung: W-Boson koppelt nur an LH Teilchen und RH Antiteilchen

Experimentell: Zerfall in e^+ + Neutrino stark unterdrückt



Erklärung: Impuls/Drehimpulsbeziehung

↳ Helizität d. Neutrinos festgelegt (LH)

⇒ Lepton kann aufgrund Helizitätsübertragung nur mit „falscher“ Helizität emittiert werden

Lösung: Helizität ≠ Chiralität für massive Teilchen: Mischung von Rechts/Linksdrehigen Komponenten

↳ e^+ leichter als μ^+ → signifikante Beimischung RH Chiralität nur für Myonen

Phasoraum bei Zerfall e^+ groß

Idee: Schweres Ladung g mit den Quarks/Leptonen an W/Z-Bosonen koppeln

$p_T \sim \frac{1}{m} \rightarrow$ größerer Impuls

Quarkfamilien

(u) (c) (+)
(d) (s) (-)

Problem: Kopplung bei β -Zerfall ($d \rightarrow u$) um 4% kleiner, bei $s \rightarrow u$ sogar 20-mal schwächer

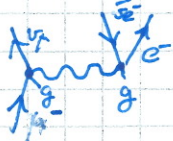
Erklärung: Quarkübergänge über Familien hinaus, Partner von F(mix-Eigenzustand) $|u\rangle$ nicht $|d\rangle$ sondern $|d\rangle + |s\rangle = |d'\rangle$

↳ Quark-Eigenzustände beim W-Austausch ergeben sich durch Drehung um Θ_c (Cabibbo-Winkel)

$$|d'\rangle = \cos \Theta_c |d\rangle + \sin \Theta_c |s\rangle ; |s'\rangle = \cos \Theta_c |s\rangle - \sin \Theta_c |d\rangle$$

$20.5^\circ \approx 0.2$

Die Übergänge $c \leftrightarrow d$ $s \leftrightarrow u$ sind demnach vgl mit $c \leftrightarrow s$ und $d \leftrightarrow u$ im Verhältnis $\frac{\sin^2 \Theta_c}{\cos^2 \Theta_c} \approx \frac{1}{20}$ unterdrückt



$$M_{if} \approx g^2 \quad M_{if} = g^2 \cos \Theta_c$$



$$M_{if} \approx g^2 \cos \Theta_c \sin \Theta_c$$

Mit dritter Quarkgeneration: Cabibbo-Kobayashi-Maskawa-Matrix.

$$\begin{pmatrix} |d'\rangle \\ |s'\rangle \\ |b'\rangle \end{pmatrix} = \begin{pmatrix} V_{ud} & V_{us} & V_{ub} \\ V_{cd} & V_{cs} & V_{cb} \\ V_{td} & V_{ts} & V_{tb} \end{pmatrix} \begin{pmatrix} |d\rangle \\ |s\rangle \\ |b\rangle \end{pmatrix} \quad W_f \sim |V_{q_1 q_2}|^2$$

W^\pm koppeln an d', s', b'

Übergänge von $3 \rightarrow 2$ ($t \rightarrow s$) ($b \rightarrow c$) 10^2 stärker unterdrückt als $2 \rightarrow 1$. $3 \rightarrow 1$ am stärksten unterdrückt

Reelle W - und Z -Bosonen

Zur Erzeugung W/Z entweder ll oder $q\bar{q}$ Reaktion. Notwendige Energie $\sqrt{s} = M_{W/Z} c^2$
 ↳ Collider z.B. $e^+e^- \rightarrow Z^0$, W^\pm nur paarweise $e^+e^- \rightarrow W^+W^- \rightarrow$ höhere Energie notwendig

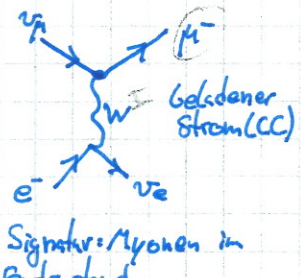
Z^0 -Nachweis: Zerfall $Z^0 \rightarrow e^+e^-$ $Z^0 \rightarrow \mu^+\mu^-$, "lego" Diagramm → Gesamtenergie beider Leptonen $\sim M_{Z^0}$

W^\pm -Nachweis: Zerfall $W^\pm \rightarrow e^+ \nu_e$ $W^\pm \rightarrow \mu^+ \nu_\mu$

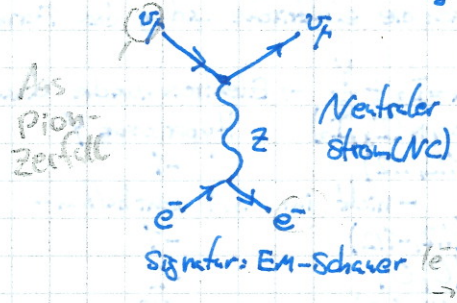
↳ Schwieriger, da Neutrino nicht direkt Nachweisbar → Indirekt über Impulsbilanz
 gel. Ströme \neq Zerfall

Neutraler Strom, sieht in Streuung mehr (→ Überlagerung durch viel stärkere EM-Wirkung)

Besser: Neutrino-Wirkung mit e^- oder Myonen → Neutrino- e^- Streuung, statt Neutron-/Neutrinostrom



Signatur: Myonen im Endzustand



Signatur: EM-Schauer e^- befindet sich unterhalb ν_μ (keine Kollinearität)

Nachweis: Blasenkammer (Gegentrale), Neutrinostrahl aus Hintergrund, Impulsliegeabsorption: neg. Horn

Unterscheidung von NC, CC Ereignissen in der Blasenkammer: In beiden Fällen e^- -Schauer bzw.

Neutrinozahl e^- Bremsstreuung, unterschied: Bei CC produziertes Myon kann defektiert werden, da geringe Wirkung mit über Z^0 Blasenkammer-Inhalt → wird e^+e^- -Kaskade ohne μ^- registriert. Lsg NC vor Zerfallsstörung wichtig: ν_μ nicht ν_e weil produzierte e^- auch einfach Wirkung würden und nicht defektiert (Am Ende wären) → keine Unterscheidung zwischen NC und CC

⇒ indirekter Z^0 -Nachweis =

Blasenkammer
 z. Schaffern

e^-
 ν_μ

Elektroschwache Vereinheitlichung

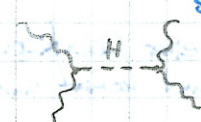
Historisch: V-A-Theorie (Vektor-Axialvektor) als Kontaktwechselwirkung (vgl. Fermi-Theorie)

Problem: inkonsistente Theorie mit Divergenzen → Entartete Wirkungsquerschnitte wachsen quadratisch mit Schwerpunktsergie: $\sigma \sim S^2$ → Lsg Austausch massiver W -Bosonen

Aber: Wirkung-Paarproduktion divergent → Kopplung zwischen W -Bosonen mit neutralen massiven Bosonen



Streuung von W -Bosonen mit longitudinaler Polarisierung divergent → Lösung: Austausch von skalaren Teilchen



⇒ Gesucht: konsistente Theorie der schwachen Wirkung mit zusätzlichen neutralen Eichboson ($\rightarrow Z$ -Boson) und skalarem Teilchen (\rightarrow Higgs-Boson)

Erster Versuch: weibliches neutrales schwaches Eichboson ($s=1$) \Rightarrow W-Bosonen Triplet (W^+, W^0, W^-) des schwachen Isospins mit $I_3 = \pm 1/2$

Problem: W^0 koppelt wie W^\pm nur an LH Teilchen \Rightarrow Widerspruch zu Experiment, neutrales Boson koppelt auch an RH Teilchen

Besser: zusätzliche $U(1)$ -Symmetrie der schwachen Hyperladung ($\neq U(1)$ -QED-Symmetrie) \Rightarrow neues Feld mit Eichboson B_μ

Nur LH Teilchen koppeln über schwache Isospinladung an W_μ -Feld

Alle Teilchen koppeln über schwache Hyperladung an B_μ -Feld

\Rightarrow wichtig: W^0 und B sind keine physikalischen Teilchen! Mischung über „Weinberg-Drehung“

$$\begin{aligned} |f\rangle &= \cos\Theta_W |B^0\rangle + \sin\Theta_W |W^0\rangle \\ |Z^0\rangle &= -\sin\Theta_W |B^0\rangle + \cos\Theta_W |W^0\rangle \end{aligned} \quad \left. \right\} \text{Photon und } Z^0 \text{ orthogonale Linearkombination von } B^0 \text{ und } W^0$$

Zusammenhang aus Θ_W , schwachen Ladungen g und g' sowie e ergibt sich aus Forderung, dass f an Ladung von LH/RH Fermionen koppelt, nicht aber an Neutrinos. $e = g \sin\Theta_W$

Θ_W aus ν -e-Streuung oder Massaverhältnis W^\pm/Z^0 wie?

\Rightarrow schwache Kopplungskonstante etwa 4x stärker als elektromagnetische, Proportionalterm führt zu geringerer effektiven Stärke

W-Boson koppelt an Quarks/Leptonen gleich (Universität) und nur jeweils ein Chiralitätszustand (P-Verletzung)

Beim Z^0 -Boson spielt auch die elektrische Ladung des Fermions eine Rolle

Fermion	Chiralität	$Q = I_3 + \frac{Y}{2}$	Elektroschwache Quantenzahlen	
		Isospin (I, I_3)	Hyperladung Y	Ladung Q
Neutrinos	L	(1/2, 1/2)	-1	0
ν_e, ν_μ, ν_τ	R	-nicht im S/A enthalten-		
e^-, μ^-, τ^-	L	(1/2, -1/2)	-1	-1
	R	(0, 0)	-2	-1
u, c, t	L	(1/2, 1/2)	1/3	2/3
	R	(0, 0)	4/3	2/3
d', s', b'	L	(1/2, -1/2)	1/3	-1/3
	R	(0, 0)	-2/3	-1/3

W^\pm koppelt an $u', s', b' \rightarrow$ neutral mögl.

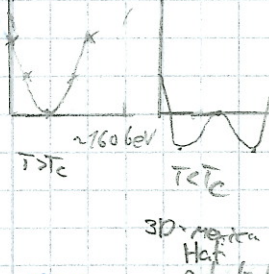
Problem an ES-Theorie: Bei Mischung sollten Zustände ähnliche Masse haben ABER Photon masselos und W^\pm/Z^0 haben sehr große Masse. \Rightarrow Symmetrie grundlegend verletzt

Erklärung: Spontane Symmetriebrechung, die vom Hamiltonian gegebene Symmetrie kann in einem Eigenzustand des Systems gebrochen sein, z.B. Curie-Temperatur bei Phasenübergang, bei $T > T_c$ richten sich Dipole spontan alle in eine Richtung aus, diese Richtung ist aber völlig zufällig und vorher unbekannt

\hookrightarrow Symmetrie gebrochen z.B. Higgs-Mechanismus \rightarrow Higgs-Kopplung

Bei uns: Vakuum-Grundzustand bricht Symmetrie, Kurve nach unten null bei $T > T_c$ nur Symmetrie verloren erhalten

Higgs-Mechanismus: Spontane Symmetriebrechung globaler Symmetrie erzeugt 4 masselose „Goldstone“ Bosonen
3 der Bosonen werden von Eichbosonen „geschossen“ \rightarrow Masseferne koppeln
im Lagrangian \rightarrow Eichboson 3 Eichbosonen W^\pm/Z^0 mit Masse, übriges Boson „Higgs“ Boson \rightarrow falls existent, Nichtkern des Higgs-Feldes \rightarrow fallt
 \rightarrow koppelt (Symmetrie) wert \rightarrow bleibt masselos
Vakuumerwartungswert $\neq 0$ führt auch zu Fermionenmasse: Yukawa-Kopplung



3D-materielles Higgs-Potential

Parity-Analogie: Bilde bei einer Cachette (Higgs-Feld), tritt Prominente in Raum und diese von Gesten umringt und kommt nur langsam voran \rightarrow Trägheit = Masse \Rightarrow Masse von Elektronenteilchen

Ein Gericht führt bei einer Person an und „konform“ weiterzieht, Personen werden „angestaut“, verbreitet sich langsam \rightarrow Trägheit = Higgs-Masse \Rightarrow Masse des Higgs Teiles

Entdeckung 2012 LHC $H \rightarrow ZZ \rightarrow 4$ Leptone



Signatur: Peak in invarianter Masse

Kernkraft

Bindet Potenzial zwischen 2 Atomen, abstoßend wenn sich 2 Nukleonen ("hard core") überlappen und anziehend bei großen Abständen, wo es exponentiell abfällt.

Kernkraft ist entfernt vergleichbar mit den Vierder-Welle-Kräften, Reichweite bei 0,4 bis 2,5 fm (hard core bis schwach als Coulombkraft)

Spin-Abhängig, bei parallelen Spins stärker als bei antiparallelen, berechnung mit Hilfe QCD bisher nicht möglich \rightarrow Betrachte Nukleon-Nukleon Streuung und verwenden phänomenologische Potentiale zur Beschreibung

Basis von \rightarrow z.B. Pionen
Beschreibung erfolgt auf "Mesonenaustauschmodellen" \rightarrow geringe Reichweite durch Mesonenmasse
Zwischen Atomen ist Pauli-Prinzip Grund der Abstoßung (bei kleinen Abständen) \rightarrow Elektrone, Zustände blieben

Bei Annäherung zweier Nukleonen mit 6 Quarks gibt es aber erheblich mehr Freiheitsgrade:
2 Spins, Farbleitung 3, 2 Isospins \rightarrow insgesamt 12 bei $l=0$, auf die sich die Quarks nach dem Pauli-Prinzip verteilen können

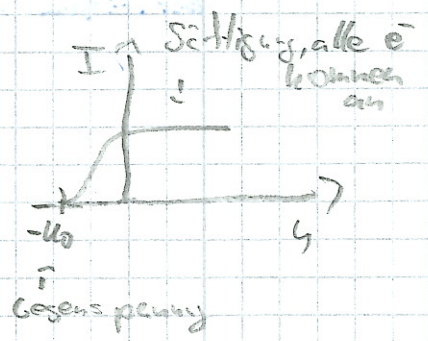
Grund der Abstoßung liegt in starker Spin-Spin Wk., Δ -Resonanz ($\uparrow\uparrow\uparrow$) hat eine $\frac{3}{2}$ höhere Masse als das Proton \rightarrow Parallel Spin ausrichtung erhält potentielle Energie d. Systems

\Rightarrow gilt auch bei sich überlappenden Nukleonen, desto stärker, desto mehr Nukleonen überlappen.
versuchen die Quarks ihre chromoelektrische Energie zu minimieren, gelingt dies nur in Übereinstimmung in einem energetisch höheren Polardimpulszustand ($l=1$)

Bei größeren Abstand spielt dann der Mesonenaustausch eine Rolle

W_F
Ort vs. Spinwinkel
Spin $\frac{3}{2}$ für Δ -Resonanz
 \Rightarrow Abstoßung

Kemplino
photo effect



Cogen's penny

Zusammenfassung Ex IV, Atome und Kerne

Sind Systeme klein, so stellt jede Messung eine massive Störung dar.
Es gab viele experimentelle Beobachtungen, die der klassischen Physik widersprechen

Wärmestrahlungsgesetze

Schwarzer Körper: Absorbiert alle Strahlung, widerlichtend, gehärt durch Hohlraum mit kleinem Loch
Aus dem Loch austretende Strahlung identisch mit Strahlung im Inneren
 \Rightarrow Stefan-Boltzmann-Gesetz $P(T) = \sigma T^4$ bzw. $w(T) = \sigma T^4$ (Energieichte)
 \hookrightarrow Wien'sches Verschiebungsgesetz $\frac{w_{\text{max}}}{T} = \text{const.}$, Temperatur bei der Strahlung die maximale Strahlung abgibt

Klassisch hergeleitete Rayleigh-Jeans-Formel $w = \frac{8\pi}{c^3} k_B T \int v^2 dv$ führt zu UV-Katastrophe
 \Rightarrow Klassische Physik versagt, Wien für große v passen, Rayleigh für kleine v passend \Rightarrow Gesetz Formel für beides

Planck: Ersetze Wandelemente durch elektrisch geladene, lineare harmonische Oszillatoren \Rightarrow Schwingung, Austausch von Energie im Hohlraum durch Anregung. Klassisch: kontinuierliches Energiespektrum, Widerspruch
Hypothese: Energiequantisierung $E_n = h \nu_0 - n \hbar \nu$
 \Rightarrow Planck'sche Strahlungsformel, beschreibt Experiment korrekt und gilt in Grenzfällen in beide Grenzen über

Photoelektrischer Effekt

Wird eine Metallplatte mit UV-Licht bestrahlt, so kann man feststellen, dass die Ladung auf der Platte abnimmt.

$\Rightarrow e^-$ haben die Platte verlassen

Aufbau: Elektrischer Glaszylinder mit Anode / Metallplattenelektrode, Photonen lösen e^-

heraus, die zur Kathode



Beobachtungen: E_{kin, e^-} ist Abhängig von ν des Lichts, ν sehr \Rightarrow Photostrom nicht über von seiner Intensität

Intensität Zahl der Photoelektronen ist proportional zur Lichtintensität

Zwischen Lichteinfall und Elektronenaustritt gibt es keine messbare Verzögerung

Erklärung (Einstein): Jedes absorbierte γ gibt seine Energie $h\nu$ vollständig an ein Photoelektron ab.

$\Rightarrow E_{\text{kin}, e^-} = h\nu - W_A$ (W_A : Austrittsarbeit, Energie um e^- aus oberstem Fermi-level zu entfernen)

Von $E_{\text{kin}, e^-} = 0$ bestimmen kann die Gegenspannung so lange erhöht werden, bis keine e^- mehr fließen
 \Rightarrow Gegenpotential ist stark genug um selbst starke e^- abzubremsen $\Rightarrow E_{\text{kin}, e^-} = eU_0$

Bestimmung h möglich aus $E_{\text{kin}} = h\nu - W_A \Rightarrow eU_0 = h\nu - W_A$

\Rightarrow Aus Steigung h und aus y -Achsenabschnitt W_A

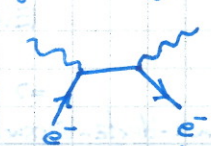


Compton-Effekt

Weiteres Experiment zur Teilchenmaterie des Lichts, Bestrahlung eines beliebigen Materials mit Röntgenstrahlung der Wellenlänge λ_0 , nach Streuung Anteile mit größerer Wellenlänge $\lambda_s > \lambda_0$. Wellenlängenverteilung stark abhängig vom Streuwinkel ϑ , weniger von Streumaterial. (klassisch, kein ϑ !)

Modell: direkter Stoß zwischen γ und e^- , Herleitung über Impulsau斯塔usch etc.

Photon hat $E = hf = h\nu$ und $\vec{p} = \hbar \vec{k}$ mit $|\vec{p}| = \hbar k = h/\lambda = \frac{h\nu}{c}$



$$\Rightarrow \Delta \lambda = \frac{h}{mc} (1 - \cos \vartheta) = \lambda_c (1 - \cos \vartheta)$$

λ_c - Compton Wellenlänge, gibt Zunahme d. Wellenlänge bei $\vartheta = 90^\circ$ charakteristisch für Teilchen

$$\lambda_c = 2,43 \cdot 10^{-12} \text{ m}$$

$$\lambda_c p = 1,32 \cdot 10^{-15} \text{ m}$$

$$\lambda_c n = 1,32 \cdot 10^{-15} \text{ m}$$

Sehr geringe Wellenlängenänderung an sind Grund dafür, dass Compton-Effekt nur bei sehr kurzwelliger Strahlung, im Bereich der Röntgen/Gammastrahlung beobachtet werden kann.
 $\sim 10 \text{ nm}$

\Rightarrow Bei großer Wellenlänge relative Zunahme zu gering, scheinbar kein Energieverlust

Wellen/Teilchenbeschreibung von Licht

$$E = hf = h\nu \quad \vec{p} = h\vec{k} \quad |k| = 2\pi/\lambda \quad \text{mit } \lambda = c/\nu$$

\Rightarrow Enge Verknüpfung zwischen Teilchen/Wellenmodell

Beobachtung: Licht verhält sich bei sehr geringen Intensitäten wie Teilchen \rightarrow Energie wird nicht in alle Richtungen gleich emittiert; sondern in bestimmte Richtungen, die stat. verteilt sind. Geteilt über lange Zeit: Gleichverteilung

Beim Doppelspalt kommt es bei scheinbar einzelnen Photonen trotzdem zu Beugungseffekten (\rightarrow Interferenz mit sich selbst wird?)

Wellencharakter von Teilchen

Wende Wellenteilchen Dualismus von Licht auf Teilchen an because why not

$$|\vec{p}| = h |\vec{k}| = h \frac{2\pi}{\lambda} = h/\lambda \quad \Rightarrow \quad \lambda_{\text{dB}} = h/p = h/mv = \frac{h}{\sqrt{2mE_{\text{kin}}}} = \frac{h}{\sqrt{3mkT}}$$

$$E_k = \frac{mv^2}{2} = \frac{p^2}{2m} = \frac{3}{2} k_B T = qU_B$$

Lange unentdeckt weil sehr kleiner Effekt z.B. für $\lambda_{\text{dB}} \approx 500\text{ nm}$ brauchte man ein e^- mit $0,047\text{ K}$.

Um bei einem Spalt Beugungseffekte zu beobachten sehr feines Gitter \rightarrow nötig z.B. $U_B = 200\text{ V}$ $\lambda_{\text{dB}} \approx 0,12\text{ nm}$

\hookrightarrow Für sichtbaren Effekt Gitter im Ångström Bereich oder Kristall?

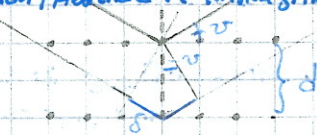
\hookrightarrow Bragg-Reflexion bei Kristallen (später)

\Rightarrow Nachweis 1926, nach Durchgang durch dünne Folie aus Kristall (nem Material auf Photoplatte Beugungsringe zu sehen, wird U_B größer werden Ringe kleiner, da $U_B \frac{1}{\lambda} \rightarrow \lambda \sim r \Rightarrow$ Anzug zu Röntgenstrahlen)

Bragg-Reflexion: Beugungsphänomen von (Licht)-Wellen an Festkörpern, e^- der Atome werden zur erzwungenen Schwingung angeregt und beginnen selbst Strahlung in Form von kugelförmigen Wellen auszustrahlen. Da die Wellen der einzelnen e^- sich in erster Näherung zu Wellen der zugehörigen Atome aufsummieren, Abstände im Kristallgitter $\sim \lambda \Rightarrow$ Interferenzerscheinungen

Erklärung: Strahlen treffen auf parallele Gitterebenen \rightarrow Gangunterschied

$$\text{Konst. Interferenz: } 2\delta = n\lambda, \quad \delta = ds \sin \varphi \Rightarrow n\lambda = 2ds \sin \varphi$$



to be continued

Bohr'sches Atommodell

Atom aus Kern und e^- , die Kern auf geschlossenen Bahnen umkreisen. 3 Postulate, die die klassische Mechanik verletzen

1. Dem e^- stehen nicht alle klassisch möglichen Bahnen zur Verfügung (sonst stört e^- im Kern u.h. E6), sondern nur bestimmte Ausgewölle von ihnen. Auf diesen Bahnen erzeugt es keine EM-Strahlung, sondern behält seine Energie. Dies sind die stationären Zustände des Atoms.
2. Das e^- kann von einem stationären Zustand in den anderen springen. $\Delta E = h\nu = h\nu_s$ (Vorher: „Die Natur macht keine Sprünge“)
3. Die Frequenz der erzeugten/absorbierten Strahlung nähert sich der Umlauffrequenz des e^- an, wenn sich das Elektron in Anfangszustand nur langsam bewegt und in den energetisch nächstgelegenen Zustand springt. \rightarrow „Korrespondenzprinzip“

klass. Physik muss als

Experimentell nachgewiesen: Atomwellen undern vor allen durch starrende Anwesen \rightarrow aufgefüttert enthalten sein.

- Spektrallinien beim H-Atom \rightarrow Entsprechend Übergängen der Elektronen zwischen den „Schalen“

Emissionslinie: Übergang von höheren auf tieferes Energieniveaus, z.B. e^- von aggregiert in Grundzustand

Absorptionslinie: Einführung von Licht mit kontinuierlichem Spektrum, Photon passiert der Frequenz wird dann von Elektron (\rightarrow Atom) absorbiert \rightarrow Hebung in Energieniveau, Rück bei Rückfall wird Photon ohne Vorzeigewechsel \rightarrow „Isotrop“ wieder emittiert

\rightarrow dunkle Linie im Spektrum, „Fraunhofer-Linie“ bei Sternen

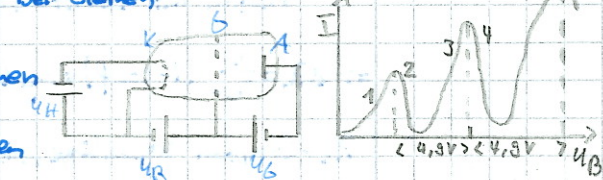
Franck-Hertz-Versuch

Eigentliches Ziel d. Versuchs: Ionisierungsschwelle Einförmiger Gase bestimmen

Beschleunige e^- zwischen K und L (Freigesetzt durch Heizspannung U_H)

Gegenfeld zwischen L und A soll e^- , die inelastischen Stoß durchgeführt haben

diskriminieren \rightarrow kommen nicht mehr bei A an, da zu wenig Energie



nicht mehr genügend Energie
zu überwinden um bei A anzurecken

Abfall der Stromstärke bei (2) zeigt, dass viele e^- auf dem Weg durch das Gas Energie verloren haben

$\hookrightarrow e^-$ geben ab bestimmter Energie diese bei einem inelastischen Stoß an die Atome ab (\rightarrow Kollisionselektron kann aufgesaugt werden), bei geringerer Energie werden nur elastische Stöße durchgeführt

Strom sinkt nicht auf Null, gibt noch e^- , die kurz vor Gitter Energie entziehen, dann aber nicht. stoßen + UV-Strahlung von aggregierten Atomen kann durch Photoeffekt aus Kinnernmechanik, etc. e^- freisetzen

Bei höheren U_B entziehen e^- 2-, 3-... die benötigten $4,5\text{ V} \rightarrow$ mehrere Stöße

Fälschliche Interpretation: $4,5\text{ V}$ sind Ionisierungsschwelle, mindestens kommt von positiven Ionen, die zur Kathode wandern

Was passiert
wenn ich die
Wellenlänge
vergrößere?
Was passiert
wenn ich die
Wellenlänge
verkleinere?

Doppelspalt, Beugungseffekte

Doppelspalt als Beispiel für Wellennatur des Lichts

Wird der Doppelspaltversuch mit makroskopischen Teilchen durchgeführt, so treten keine Interferenzerscheinungen auf $I(y) = I_1(y) + I_2(y)$

Wird der Doppelspaltversuch mit Licht durchgeführt $I(y) = I_1(y) + I_2(y) + 2A_1 A_2 \cos \alpha$ $\alpha = 2\pi \frac{y}{\lambda}$
 \Rightarrow Interferenzeffekte der beiden von den Spalten ausgesandten Kugelwellen (\rightarrow Huygen'sches Prinzip)



$$\sin \frac{\alpha}{2} \approx \tan \frac{\alpha}{2} \Rightarrow \alpha = \frac{d}{r}$$

$d \ll r$ linearisch

$\alpha = (y - \frac{d}{2}) / r$ deskriptiv

Holt sich Energie
quantisiert!
Es sind nur diskrete
Energiezustände
erreichbar.

\rightarrow Bei Übergang nur
unfeste Abgabe von
diskreten Energien

Wichtige Variante: Werden viele einzelne Photonen nacheinander durch Spalt geschickt, so bildet sich nach und nach ein Interferenzmuster \Rightarrow Photon wechselt nicht mit sich selbst
Wird beobachtet, welcher Spalt vom Photon genommen wird, treten keine Interferenzerscheinungen auf
 $y = y_1 + y_2$ (Spalt 1 und Spalt 2)

$$|\psi(x=e, y)|^2 = |\psi_1 + \psi_2|^2 = |\psi_1|^2 + |\psi_2|^2 + \psi_1^* \psi_2 + \psi_1 \psi_2^* \rightarrow$$
 wird S_1 verschlossen $\psi_1 = 0 \Rightarrow$ keine Interferenz

Werden nun Elektronen bei geeignter Größenordnung $\approx 2 \text{ nm}$ e^- auf Spalt 1 geschickt, tritt gleiches Muster auf. $\Rightarrow e^-$ als Wellenpaket mit Wellenfunktion, Interferenz „Knotenwellen“
 \hookrightarrow Welle-Teilchen-Dualismus: e^- als einzelne diskrete Masseteilchen \Rightarrow materielles Objekt
 $: e^-$ hat aber Interferenzmuster \Rightarrow Welle

Fourier-Optik: Spalte als δ -Distribution darstellen \Rightarrow „Transmissionsfunktion“ $I \sim |FT(\tau)|^2$

Augenblicks Prinzip von Elektronen \rightarrow bei FT integriert über die möglichen Wellen. Schrödinger-Gleichung

Klassische Wellenbeschreibung = ebene Welle $A(\omega) = A e^{i(kr - \omega t)}$ ist Lsg der Wellengleichung
 $\nabla^2 A - \frac{1}{c^2} \frac{\partial^2 A}{\partial t^2} = 0$, Realteil relevant, Im wird ignoriert!

Es liegt eine lineare Dispersionsrelation $\omega = c_n k = \frac{c}{n(\omega)} k$ vor

$$k = \frac{2\pi}{\lambda}$$

c-fest

Über-
Superposition

1. Zeitschwingung

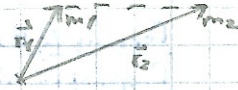
$$E = \frac{p^2}{2m}$$

Ebene Welle

Das Wasserstoffatom

$$\text{Teilchen im zentralpotentiel } H = -\frac{\hbar^2}{2m_1} \vec{\nabla}_1^2 - \frac{\hbar^2}{2m_2} \vec{\nabla}_2^2 + V(\vec{r}_1 - \vec{r}_2)$$

$$\hookrightarrow \text{Aufteilen in Schwerpunkts-/Relativkoordinaten } \psi(\vec{r}_1, \vec{r}_2) \Rightarrow \psi(\vec{C}M, \vec{r}) = \phi(\vec{CM}) \psi(\vec{r})$$



$$\text{Schwerpunktbewegung: Schwerpunkt verhält sich wie freies Teilchen } -\frac{\hbar^2}{2m} \vec{\nabla}_R^2 \phi(\vec{R}) = E \phi(\vec{R})$$

Relativbewegung komplizierter, $V(\vec{r}) \rightarrow V(r)$ als zentralpotential

$$(-\frac{\hbar^2}{2m} \vec{\nabla}_r^2 + V(r)) \psi(\vec{r}) = E \psi(\vec{r}) \quad (\text{sg in Kugelkoordinaten} \rightarrow \text{Aufteilung in } r\text{-Anteil und } p_r)$$

$$(-\frac{\hbar^2}{2m} \frac{1}{r^2} \frac{\partial}{\partial r} (r^2 \frac{\partial}{\partial r}) + \frac{1}{2mr^2} \vec{L}^2 + V(r)) \psi(\vec{r}) = E \psi(\vec{r}) \quad \hookrightarrow \Delta = \frac{1}{r^2} \frac{\partial}{\partial r} (r^2 \frac{\partial}{\partial r}) + \underbrace{4\pi r^2 p_r^2}_{\vec{L}^2}$$

$$\Rightarrow \text{Separationsatz } \psi(\vec{r}) = R(r) Y_{lm}(z, \theta, \varphi) \quad \text{bekannt } \vec{L}^2 Y_{lm} = \hbar^2 l(l+1) Y_{lm} \\ L_2 Y_{lm} = \hbar m \omega Y_{lm} \quad \rightarrow \text{Ersatz } \vec{L}^2 \text{ mit EW}$$

$$\hookrightarrow \left[-\frac{\hbar^2}{2m} \left(\frac{\partial^2}{\partial r^2} + \frac{2}{r} \frac{\partial}{\partial r} \right) + \frac{\hbar^2 l(l+1)}{2mr^2} + V(r) \right] R(r) = E R(r) \quad \rightarrow \text{ne. kommt nirgends vor} \rightarrow \text{Eigenv. engl. für relativistische Wf}$$

$$\text{Sabs. } u(r) = r R(r) \quad \rightarrow V_{\text{eff}}(r) = V(r) + \frac{\hbar^2 l(l+1)}{2mr^2}$$

$$\Rightarrow \left[-\frac{\hbar^2}{2m} \frac{d^2}{dr^2} + V_{\text{eff}}(r) \right] u(r) = E u(r) \quad \text{Forderungen } u(0)=0, \psi(\vec{r}) \text{ Quadratintegrierbar} \quad \int dr |u(r)|^2 < \infty \\ \hookrightarrow \text{lösungsschtruktr. erlaubbar}$$

$$\lim_{r \rightarrow 0} r \psi(r) = 0 \quad ; \lim_{r \rightarrow 0} r \dot{\psi}(r) = 0 \quad \Rightarrow u(r) = e^{-kr} r^{l+1} p(r) \quad p(r) = \sum_f a_f r^f \quad , \text{Reihe muss für Normierbarkeit abbrechen}$$

Quantenzahlen aus 3 Randbedingungen: $\psi(\vec{r}, z, \theta, \varphi) = R(r) \Theta(z) \phi(\theta) \psi(\varphi)$

$$\frac{\sin^2 \sigma}{R} \frac{d}{dr} (r^2 \frac{dR}{dr}) + \frac{\sin^2 \sigma}{\Theta} \frac{d}{dz} (\sin z \frac{d\Theta}{dz}) + \frac{2m}{\hbar^2} (E - V(r)) r^2 \sin^2 z = -\frac{1}{\phi} \frac{d^2 \phi}{dp^2}$$

$$1) \frac{d^2 \phi}{dp^2} = -c_1 \phi(p) \quad \Rightarrow \phi(p) = A e^{\pm i \sqrt{c_1} p}$$

ϕ muss an einem Ort einen endlichen Wert haben: $\phi(f+2\pi) = \phi(f)$

$$\hookrightarrow e^{\pm i \sqrt{c_1} 2\pi} = 1 \quad \Rightarrow \sqrt{c_1} = m \in \mathbb{Z} \quad \rightarrow \text{QZ aus Forderung der Periodizität bzw. Eindeutigkeit}$$

$$2) \frac{1}{\Theta} \frac{d}{dz} (\sin z \frac{d\Theta}{dz}) - \frac{m^2}{\sin^2 z} = c_2 \quad , \text{für } m=0 \text{ mit } \xi = \cos z : \frac{d}{d\xi} ((1-\xi^2) \frac{d\Theta}{d\xi}) + c_2 \Theta = 0$$

$$\text{PR-Ansatz: } \Theta(\xi) = \sum_{i=0}^{\infty} a_i \xi^i \quad \rightarrow a_{k+2} = a_k \frac{k(k+1) - c_2}{(k+2)(k+1)}$$

Damit auch für $\xi = \pm 1$, d.h. $z = 0, 180^\circ$ die Reihe konvergiert, muss sie bei einem Index abbrechen
 $\Rightarrow c_2 = l(l+1)$ mit $l \in \mathbb{N}$ \rightarrow QZ aus Forderung der Endlichkeit der Wf \rightarrow Unschärferel.

3) Aus PR Ansatz für $u(r)$ folgt Abbruchbed. für Normierbarkeit (ohne Grenzwerte)

$$b_j = 2b_{j-1} = \frac{(kj - q)}{j(j+1) - l(l+1)} \quad \text{mit } k = \sqrt{\frac{2mE}{\hbar^2}} \quad \text{und } a = \frac{m^2 e^2}{4\pi \epsilon_0 \hbar^2}$$

$$\text{Für ein } n \in \mathbb{N} \text{ muss } b_n = a \text{ gelten} \Rightarrow -\frac{2mE_n}{\hbar^2} = \frac{m^2 Z^2 e^4}{(4\pi \epsilon_0)^2 h^4} \Rightarrow E_n = -\frac{q^2 k^2}{2mn^2} = -Ry \frac{Z^2}{n^2} \rightarrow \text{Wie bei Bohr}$$

$$+ \text{aus } l \leq j \leq n-1 \rightarrow l \leq n-1 \Rightarrow g_n = \sum_{l=0}^{n-1} \sum_{j=l}^{n-1} 1 = \sum_{l=0}^{n-1} (2l+1) = n^2$$

Die Wf ist für $l=0$ kugelsymmetrisch. Summiert man die Aufenthaltswahrscheinlichkeiten $|\psi_{n,lm}|^2$ bei gegebener Hauptquantenzahl n über alle erlaubten l und m auf, so ergibt sich die gesamte Aufenthaltswahrscheinlichkeit im Zustand n . Diese ist immer kugelsymmetrisch, weshalb man die Summe aller Zustände bei festen n auch Elektronenschale nennt.

Normaler Zeeman-Effekt

Befindet H-Atom im Magnetfeld. Hierzu nutzen wir, dass ein mag. Moment im Magnetfeld die pot. Energie $E = -\vec{p}_m \cdot \vec{B}$ hat.

$$\vec{p}_m = I \cdot \vec{A} = \frac{e \cdot v}{2mc} \cdot \pi r^2 \hat{n} = -\frac{evr}{2} \hat{n} = -\frac{e}{2m} \vec{L} \quad (\vec{L} = \vec{r} \times \vec{p} = merv \hat{n})$$

$$\Rightarrow E_{\text{pot}} = \frac{e}{2mc} \vec{L} \cdot \vec{B} = \frac{e}{2mc} BL_z \quad \text{für } \vec{B} \parallel \hat{e}_z$$

$$\hookrightarrow H' = H_H + \frac{e}{2mc} BL_z$$

$[H, L_z] = 0 \rightarrow$ der H-Atom ist L_z -Eigenzustände

Während H_H , L_z auf ψ befreit

$$\Rightarrow E_{\text{hne}} = -\frac{Ry}{n^2} + \frac{eB}{2mc} L_m \quad \rightarrow \Delta E_m = \frac{eh}{2mc} B_m = \mu_B B_m$$

\hookrightarrow Magnetfeld hat $2l+1$ -fache Entartung auf (l, m), Niveaus mit Drehimpulsquantenzahl l sind nur in $2l+1$ Äquidistante Niveaus aufgespalten (Distanz l -unabh.)

Bei ersten Messungen \approx Theorie, bei genaueren Messungen aber Unterschied: Alle Spurstrahlen, die von s-Niveaus ausgehen zeigen zwei beobachtbare Komponenten (Doublets), bei $l > 0$ sogar noch mehr.

Elektronenspin

Ablenkung von Silberatomen in einem inhomogenen Magnetfeld. Silberatome werden zuerst im Ofen verdampft treten dann durch Blende als Strahl in das inhomogene Magnetfeld.

Ist das Feld stark genug, so spaltet sich der Strahl und es ergeben sich 2 Niveaus mit Minimum in d. Mitte. Es hat also eine Kraft die Atome ablenkt, in \vec{B} -Feld $\vec{F} = -\vec{p}_m \cdot \vec{\nabla} \vec{B} \Rightarrow$ Silberatome besitzen mag. Moment.

Grundzustand des Silberatoms ist s-Zustand mit $l=0$ (\rightarrow kein Bahnmoment), somit müssen Atome noch ein zusätzliches mag. Moment besitzen. (t+ Silber Atome sind neutral \hookrightarrow keine Attract. F_A)

\Rightarrow Aufstellung der Hypothese, dass e einen inneren Drehimpuls besitzt + Ablenkung wird durch dieses Valenzelektron bewirkt, da alle anderen s sich kompensieren

Strahl hat sich in 2 Teilstrahlen aufgeteilt, wegen $-s \ll m_s$ und $a_m \ll 1$ folgt $s = \frac{1}{2}$

$$\hookrightarrow \mu_s = g_s \cdot s$$

$\frac{\mu_s}{[s]} = \frac{g_s}{[s]}$ "gyromagnetisches Verhältnis" kann bei Einstein-de-Haas Experiment bestimmt werden.
Experiment: Dünner Torsionsfaden mit Eisenzyylinder, starkes Magnetfeld \vec{B} (\rightarrow Erreichen der Sättigung)

\hookrightarrow Anrichten der Spins

Wird das \vec{B} -Feld ungepolt, so klappten alle Spins \vec{s} um, zur beschw. Drehimpulserhaltung ($= 0$ vez. vorher im Ruhz) muss dies durch $-L$ des Zylinders kompensiert werden.

Aus ∂M und ∂S $\frac{\partial \Lambda}{\partial S} = t_S$ Bestimmung g_s .

Während bei Bahndrehimpuls l t_L ges. ist durch $t_L = \frac{14eI}{\lambda} = \frac{e}{2mc} = \frac{e}{h}$

ist $\mu_s = \frac{e}{mc} = 2 t_L \Rightarrow \mu_s = -g_s \frac{eB}{h} \vec{s}$ mit $g_s \approx 2$ (Landé-Faktor)

Existenz Spin aus Theo durch γ -Atome \rightarrow Dirac-Gleichung

Spin-Bahn-Kopplung

Im Bezugssystem des Elektrons kreist der Kern um das e^- und bewirkt als Kreisstrom damit ein Magnetfeld (\rightarrow Bohr-Sonett). Dieses kann nun mit dem Spin \vec{s} bzw. dem mag. Moment $\vec{\mu}_S$ des e^- wechselwirken. Aus $\vec{B} \sim (\vec{v} \times \vec{r}) \sim \vec{L}$ folgt zusätzlicher Term in H:

$$H_{LS} = -\vec{\mu}_S \cdot \vec{B} = g_S \mu_B \frac{\mu_0 e}{8\pi m_e c^3} \approx \frac{\mu_0 e^2}{8\pi m_e c^3 r^3} \vec{S} \cdot \vec{L}$$

$$[\vec{S} \cdot \vec{L}, L_z] \neq 0 \Rightarrow H, L_z^2, S_z^2, S_z$$

kein vollständiger Observationsatz

Führe Gesamtspinimpuls $\vec{j} = \vec{L} + \vec{S}$ ein $\Rightarrow \vec{S} \cdot \vec{L} = \frac{1}{2} (\vec{j}^2 - L_z^2 - S_z^2)$

\hookrightarrow Neue Quantenzahlen $H, j^2, S_z, L_z^2, S_z^2 \rightarrow m_j, m_l, m_s$

$$\Delta E = \frac{g}{2} [j(j+1) - l(l+1) - s(s+1)]$$

Korrektur $\mathcal{O}(\alpha^2)$ mit $j = l \pm \frac{1}{2}$

$$\begin{array}{ll} l=0 & j=\frac{1}{2} \\ l=1 & j=\frac{3}{2} \rightarrow 2 \text{ Niveaus} \quad 3/2, 1/2 \\ l=2 & j=\frac{5}{2} \rightarrow 3 \text{ Niveaus} \quad 5/2, 3/2, 1/2 \end{array}$$

Dann wird ℓ zählt, wenn m_j definiert

Anomaler Zeeman-Effekt

Unter Berücksichtigung des Spins ist die Aufspaltung der Niveaus in einem äußeren \vec{B} -feld komplizierter. Mag. moment des Atoms $\vec{\mu}_J$ und \vec{j} sind wegen d. unnormalen Spinzustands nicht mehr parallel.

Das Niveau wird in $(23l1)$ 3 gleichstarke Niveaus aufgespalten. (\rightarrow Zeeman-Effekt speziell mit $s=0$)

$$\Delta E = g_J m_J \hbar \vec{j} \cdot \vec{B}$$

$$g_J = 1 + \frac{j(j+1) + s(s+1) - l(l+1)}{2j(j+1)}$$

$$\begin{array}{c} j=3/2 \\ \nearrow \searrow \\ 3/2 \quad 1/2 \quad -1/2 \\ \searrow \nearrow \\ -3/2 \end{array}$$

\rightarrow Messung

Starckes Magnetfeld: Paschen-Back-Effekt

Bild des normalen Zeeman-Effektes mit 3-facher Aufspaltung, wahl bestimmte QZ j wird aufgehoben:

$$\Delta E = (geht gsm) \hbar j \cdot \vec{B}$$

$$\begin{array}{c} j=3/2 \\ \nearrow \searrow \\ 0=1 \quad 0=0 \quad 0=-1 \\ \searrow \nearrow \\ 0=1 \quad 0=0 \quad 0=-1 \\ \searrow \nearrow \\ 0=-1 \quad 0=-1 \end{array}$$

Relativistische Korrekturen zum H-Atom

Relativistische Massezunahme der Elektronenmasse bei der Bewegung des e^- im Coulombfeld, die zu einer kleinen Änderung von E_{kin} führt.

$$E = \sqrt{m^2 c^4 + p^2 c^2} \approx m c^2 \left(1 + \frac{p^2}{2m} - \frac{p^4}{8m^3 c^2} + \dots \right) \rightarrow \text{Störungsrechnung} \quad h_{\text{rel}} = \frac{e^4}{8\pi^2 m^3 c^2}$$

$$\Delta E_{\text{rel}} = E_h \frac{Z^2 \alpha^2}{n^2} \left(\frac{3}{4} - \frac{n}{l+1} \right)$$

$$\rightarrow \text{Abh. von } n, l, \text{ an Größen für } n=1 \text{ und } l=0 \quad \frac{\Delta E_r}{E_h} = \frac{5}{4} \alpha^2 \rightarrow \mathcal{O}(\alpha^2)$$

Doppler-Term:

Momentane Position des Elektrons nur bis auf die Comptethellennänge des Elektrons $2c = \frac{\hbar}{mc}$ bestimmt. \hookrightarrow e^- verspätet unterschiedliche Werte des Coulombfeldes in Volumen πr^3 um seine Position r . \Rightarrow Mittelung über Volumen, Rechnung ergibt Beeinflussung der $l=0$ Niveaus (s -Niveaus) $\rightarrow \mathcal{O}(\alpha^2)$

$$\text{Insgesamt } E_{\text{Dop}} = E_h \left[1 + \frac{Z^3 \alpha^2}{n} \left(\frac{1}{j+\frac{1}{2}} - \frac{3}{4n} \right) \right]$$

$$\Rightarrow \text{Alle Zustände mit gleicher } n \text{ und } j \text{ (z.B. } 2s_{1/2} \text{ und } 2p_{1/2}\text{) sind energetisch entartet in } l=0, m=0$$

$s=\frac{1}{2} \quad j=\frac{1}{2}$ $s=-\frac{1}{2} \quad j=\frac{1}{2}$

Fluktuation mittelt sich zwar weg, da durch $\frac{1}{r}$ Potentiell und nach r -Potentiell mittelt sich Beitrag eben nicht weg

$$\langle \frac{1}{r} \delta r \rangle \neq \langle \frac{1}{r} \rangle \quad \text{obwohl } \langle \delta r \rangle = 0$$

Hyperfeinstruktur

Über genauer Auflösung weitere Aufspaltung beobachtbar. Bis her wurde die Struktur des Kerns verschlüsselt. Dieser besitzt allerdings auch ein mag. Moment (\rightarrow Kernspin), welches aufgrund der LS Kopplung mit dem \vec{B} -Feld, welches von \vec{e} erzeugt wird Wechselwirkt.

Das Elektron erzeugt am Ort d. Kerns ein Magnetfeld $\vec{B} (\vec{r}=0) = \vec{r} \cdot \vec{j}$. \vec{j} -Bewegungsimpuls \vec{e} .

$$H_{HFS} = \mu_0 \vec{j} \cdot \vec{I} = \frac{\mu_0}{2} (F^2 - j^2 - I^2)$$

$$\Rightarrow \Delta E_{HFS} = \frac{\mu_0}{2} (F(F+1) - j(j+1) - I(I+1))$$

Für Grundzustand H-Atom ist $j=\frac{1}{2}$ und $I=\frac{1}{2}$

$$\hookrightarrow F=0 \text{ oder } F=1 \quad \Delta E_{HFS} = -\frac{3}{4} A \quad (F=0) ; \quad \Delta E_{HFS} = \frac{1}{4} A \quad (F=1) \sim O(10^{-4})$$

Lamb-Verschiebung $\sigma(0,1\alpha^2)$

Quantenelektrodynamische Effekte, Experimentell: Zustände liegen bereits unter rel. Korrekturen auf einem Niveau.

- 1) Selbstenergie \rightarrow Wechselwirkung mit Vakuumfluktuationen, es werden virtuelle Photonen absorbiert emittiert
 \Rightarrow Hervorgerufene Zitterbewegung verändert das im zeitlichen Mittel wirkende Potential
 Besonders relevant nahe Atomzentrum ($r=0$), vor allem in Kern, wo Potential von der Coulombform abweicht $\rightarrow l=0$ Zustände (kleine, aber vorhandene Wahrscheinlichkeit)
- 2) Vakuumpolarisation \rightarrow Abschirmung der Kernladung, daher näher am Kern größere effektive Ladung
 \hookrightarrow Auch eher $l=0$ betroffen; trägt 2% zur Lamb-Verschiebung bei

Exkurs: Abschirmung kann man sich als Entfernungsschichtigkeit der Kopplungskonstante betrachten.
 Elektron sieht bei schwacher Ablenkung d.h. kleinem Impulsübertrag eine kleinere, durch Vakuumpolarisation abgeschirmte Ladung als bei starker Ablenkung, \rightarrow großem Impulsübertrag, wobei es den Kern viel näher kommt und daher viel weniger von der Abschirmung betroffen ist.

Von der klassischen Situation her kommend ist aber gerade die abgeschirmte Ladung in großem Abstand diejenige, die man als klassische Ladung des Atomkerns misst.

Daher beschreibt man die Zunahme der K. bei kleinen Abständen durch eine effektive Zunahme der Kopplungskonstanten mit dem Impulsübertrag.

Lamopräzession

Präzession des Drehimpulses eines Teilchens mit mag. Dipolmoment um die Richtung eines äußeren Magnetfeldes. Frequenz der Präzession \rightarrow Larmorfrequenz

Analogie: Kreiselpräzession \rightarrow Scherwirffeld \rightarrow Drehvort. Mithilfe Drehachse

Anwendung: Kernspinresonanztomographie

Kerne werden in stetisches \vec{B}_0 Feld gebracht \rightarrow isotrope Lamopräzession der einzelnen Kerne, kleiner Überschuss richtig ausgerichteter Kerne \rightarrow Magnetisierung
 Hinzugabe eines hochfrequenten Zusatzfeldes, orthogonal zum statischen Magnetfeld \vec{B}_0 und in Resonanz zu Larmorfrequenz \rightarrow Phasensynchrone Auslenkung der Kerne \rightarrow folgt im Resonanzfall wieder Messung der Transversal magnetisierung zur Erzeugung von Schichtbildern \rightarrow unterschiedliche Rehizuzzeiten je Element, Atom, Zelle, Organ, ... \rightarrow Anwendung: CT-Tomographie

Paritätsviolation (Hahn) \rightarrow Paritätsverletzende übergänge \rightarrow Schräge W.

Z.B. ...

bei großen Atomen wie so?

W. B_{ext} , B -Zustell \rightarrow z.B.

Mehrdelektronenatome

Heliumatom: Problem $E_{\text{pot}} = -\frac{e^2}{4\pi\epsilon_0} \left(\frac{1}{r_1} + \frac{1}{r_2} - \frac{1}{|r_1 - r_2|} \right)$ \rightarrow letzter Term in E_{pot} bewirkt, dass das Potenzial nicht mehr kugelsymmetrisch ist, sondern von Winkel α zwischen den Radiusvektoren abhängt. $|r_1 - r_2| = \sqrt{r_1^2 + r_2^2 - 2r_1 r_2 \cos\alpha}$
 \Rightarrow Separation in Radial/Winkelanteil nicht mehr möglich

Erste (grobe) Näherung: Vernachlässige Kopplungsterme und löse 86 getrennt $E_1 + E_2 = E$ $\psi(r_1, r_2) = \psi_1(r_1) \psi_2(r_2)$
 $\hookrightarrow E_{\text{He}}(n=1) = -2Z^2 \cdot E_H = -2 \cdot 4 \cdot 13,6 \text{ eV} = -108,8 \text{ eV}$ aber $E_{\text{exp}} = 78,93 \text{ eV}$ \times

Besserer Ansatz: jedes der beiden Elektronen bewegt sich in Coulombpotential d. Kerns + im Zentrum mittel kugelsymmetrische Ladungsverteilung des anderen e^- . \Rightarrow C-Potenzial d. Kerns wird teilweise abgeschirmt. \rightarrow Effektive Kernladung $(Z-S)e$
 $E_{\text{He}} = -Z^2 E_H - (Z-S)^2 E_H$, für $S=0,656$ erhält man Experimentalen Wert
 $\hookrightarrow Z_{\text{eff}} = Z-S = 1,35 \Rightarrow$ Etwa 32% der Kernladung $+2e$ werden durch ein Elektron im $1s$ -Zustand des He-Atoms für das andere $1s-e^-$ abgeschirmt. Beachte: $1s-e^-$ schirmt für e^- in höheren Zuständen wesentlich mehr Ladung ab!
 \Rightarrow Potential, in dem sich das 2. e^- bewegt kann beschrieben werden als Summe aus C-Potenzial d. Kernes und e^-e^- Potenzial von anderem Elektron, aber weiterhin insgesamt kein kugelsymmetrisches Potential aber auch kein C-Potenzial Σ
 \Rightarrow Direkte Abstoßung zwischen e^- wird durch Verminderung der Anziehung zwischen Kern und e^- eingeschränkt

Ununterscheidbarkeit, Pauli-Prinzip

Teilchen sind ununterscheidbar, System wird als bezügs beschrieben, \rightarrow Überlagerung der Zustände und $|\psi|^2$ beschreibt Wahrscheinlichkeitsdichte, irgendwo ein Elektron anzutreffen

\Rightarrow GesamtWF darf sich unter Vertauschung nicht ändern $|\psi_{ab}^I|^2 = |\psi_{ab}^{II}|^2 \Rightarrow \psi_{ab}^I = e^{i\theta} \psi_{ab}^{II}$ $\theta \in \mathbb{R}$
 $\psi_{ab}^I = \pm \psi_{ab}^{II}$

Ansatz: $\psi_{ab}^I = \psi_a(a) \psi_b(b)$, $\psi_{ab}^{II} = \psi_a(b) \psi_b(a)$ erfüllen Forderung nicht

$$\psi_{\text{Atom}}^S = \psi_a(a) \psi_b(b) + \psi_a(b) \psi_b(a) \quad a \rightarrow b \quad \psi^S \rightarrow \psi^S \quad \text{Möglichkeit 1} \quad \psi_{ab}^I = \psi_{ab}^{II}$$

$$\psi_{\text{Atom}}^A = \psi_a(a) \psi_b(b) - \psi_a(b) \psi_b(a) \quad a \rightarrow b \quad \psi^A \rightarrow -\psi^A \quad \text{Möglichkeit 2} \quad \psi_{ab}^I = -\psi_{ab}^{II}$$

Sind beide e^- im selben Zustand, $\psi_{ab}^A = \psi_a(a) \psi_b(a) - \psi_a(a) \psi_b(a) = 0 \Rightarrow$ Antisymmetrische WF ex. für Zustand a
 \hookrightarrow Zwei e^- mit denselben QZ (l_1, l_2, m_l) werden durch die symmetrische WF ψ_{Atom}^S beschrieben

Spinfunktionen $x^+ (m_s = \frac{1}{2}), x^- (m_s = -\frac{1}{2})$ ermöglichen 4 Zustände (3 symmetrische (Triplettt), 1 antisymmetrische (Singlett))

$$\begin{aligned} x_1 &= x^+(1) x^+(2) \quad 1s = 1 \quad \uparrow \uparrow \\ x_2 &= x^-(1) x^-(2) \quad 1s = -1 \quad \downarrow \downarrow \\ x_3 &= \frac{1}{\sqrt{2}} [x^+(1)x^-(2) + x^+(2)x^-(1)] \quad 1s = 0 \quad \uparrow \downarrow \end{aligned} \quad \left. \begin{array}{l} \text{Zustand mit zwill. Elektronen in d.} \\ \text{unterschiedl. Bahndrehzgl.} \\ \text{implizit \(\rightarrow\) Energie ungleich} \end{array} \right\} \text{Triplet} \quad x^A = \frac{1}{\sqrt{2}} [x^+(1)x^-(2) - x^+(2)x^-(1)] \quad 1s = 0 \quad \downarrow$$

$$\psi_{\text{Gesamt}} = \psi_{\text{Atom}}(l_1, l_2, m_l) \chi_{\text{spin}}(s, m_s)$$

\Rightarrow Zustand mit zwill. Elektronen in d. unterschiedl. Bahndrehzgl. hat niedrigere $|\psi|^2 = 2 \cdot \psi$ Freiheit

Man findet nur Atomzustände, deren Gesamtwellenfkt. antisymmetrisch gegen Vertauschung zweier Elektronen ist.

\Rightarrow Pauli-Prinzip fordert, dass Gesamtwellenfkt. antisymmetrisch ist \rightarrow jeder Satz von QZ muss einzeln sein sonst $\psi_a(l_1, l_2, m_l, m_s) = -\psi_a(l_2, l_1, m_l, m_s) \Rightarrow \psi_a = 0 \Rightarrow$ Existiert nicht!

Für Atom: Ist Ortsfunktion symmetrisch, so muss Spinorwfkt. antisymmetrisch sein. Ist die Spinorwfkt. symmetrisch, so muss sind die Bahnkonfigurationen nicht identisch (Antisymmetrische Ortsfkt. nicht!)

Termschemata Heliumatom

Die 2 e^- können nun unter Berücksichtigung des Pauli-Prinzips beliebig angeordnet werden. z.B. in einer Schale als Singlett oder in 2 Schalen in einem der Triplet-Zustände.

- Im Tripletzustand haben e^- größeren Abstand (weil nicht gleiche Orts-WF) \rightarrow Heften sich mit größerer Wahrscheinlichkeit auf verschiedenen Seiten des Kerns auf. \Rightarrow Abschirmung der Kernladung durch erstes e^- wird für zweites e^- kleiner \hookrightarrow Anziehung durch Kern wird größer, Energie wird abgesenkt

- Wegen größerem e^- -Abstand geschieht weniger e^-e^- Abstoßung, Energie wird zusätzlich abgesenkt

Wegen $\Delta S = 0$ sind Übergänge vom Singlett- ins Triplettsystem verboten.

Schalenmodell der Atomhüllen

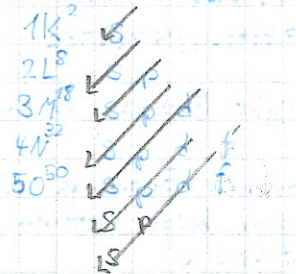
$$(l=n-1)$$

Zu jedem l gibt es $2l+1$ n_e und zu jedem n gibt es n mögliche Werte für l (z.B. $n=2, l \in \{0, 1\}$). Für festes n gibt es also n^2 versch. Zustände, die mit $2n^2 e^-$ besetzt werden können. Die Summe der Aufenthaltswahrscheinlichkeiten bei festem n über alle möglichen l und n_e liefert eine Kugelsym. Verteilung mit Maxima bei von r -Abh. Werten r_n . Der Hauptteil der Ladung ist in einem $r_n \pm \frac{\sigma r}{2}$ Intervall konzentriert. Jede Schale kann mit $2n^2 e^-$ besetzt werden.

Aufbauprinzip und Hund'sche Regeln

Die Meldeungsregel gibt die Reihenfolge an, in der die Orbitale gefüllt werden. Die ~~Welle~~ Minimiert nL. Somit wird die Gesamtenergie aller Elektronen für den Grundzustand minimiert.

Hund'sche Regeln geben an, wie das Orbital zu füllen ist, wenn nicht genügend e^- vorhanden sind um es vollständig zu füllen.



1. Hund'sche Regel: Volle Schalen haben gesamtdrehimpuls Null
Regel ergibt sich aus Pauli-Prinzip. Für eine gefüllte Schale müssen alle möglichen Quantenzahlen belegt sein \Rightarrow gleich viele positive Werte für m_l, m_s .

2. Hund'sche Regel: Gesamtspin S nimmt maximal möglichen Wert an $\rightarrow \frac{1}{2}$; möglichst parallel ↑↑-Spins ergeben symmetrischen Anteil der WF. \rightarrow Bahndrehimpuls muss Antisymmetrisch sein $\rightarrow e^-$ weiter voneinander entfernt \rightarrow kleinere Coulomb-Wir.

3. Hund'sche Regel: Erlaubt das Pauli-Prinzip mehrere Konstellationen mit $\frac{1}{2} m_s$, dann werden die Untezustände mit der mit der magnetischen Zahl m_l so besetzt, dass der Gesamt-Bahndrehimpuls L max. wird.
 \rightarrow Im Einküpfenfall Abstand e^- -Kern $\sim m_l$ $\rightarrow e^-$ mit großer m_l weiter vom Kern entfernt \rightarrow Auch weiter von anderen e^- entfernt.

4. Hund'sche Regel: Ist eine Unterschale höchstens zur Hälfte gefüllt, dann ist der Zustand mit minimalem Drehimpulsquantenzahl j am stärksten gebunden. Bei mehr als halbvollen Unterschalen ist es umgekehrt: weniger halbvolle $j=1/2-SI$, mehr halbvolle $j=1/2+SI$ (Für mög. Verstellen entscheidend)

Unter e^- -Zustände haben nichtverschwindende Aufenthaltswahrscheinlichkeit im Kern \rightarrow Abschirmung, der anderen e^- macht sich weniger bemerkbar \rightarrow Energietisch günstiger

Moleküle

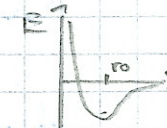
Molekülspuren wesentlich komplizierter als Atomspektren. Energieniveaus nicht nur durch \vec{e} sondern auch durch Schwingung d. Kerne / Rotation d. Kerngerüsts bestimmt werden

Lösungssätze: Born-Oppenheimer-Näherung

\hookrightarrow Masse der Kerne $m_K \gg m_e \Rightarrow$ Lse S6 für Elektronen mit „stationären“ Kernen. H_2^+ sogar analytisch lösbar als Radialisierung lt. in elliptischen Koordinaten

Generell: Für jeden Kernabstand wird S6 numerisch gelöst und Energie E bestimmt

$E(r)$ -mittlere Energie des e^- in H_2^+ , $E(a)$ -Bindungsenergie des e^- bei konstanter Bindung



LCAO (Linear Combination of Atomic Orbitals)

Molekülorbital wird als Linearkombination der atomaren WF zusammengesetzt. Es ergeben sich eine symmetrische/Antisymmetrische WF. $\psi_S = \psi_1 + \psi_2$, $\psi_A = \psi_1 - \psi_2$

$\hookrightarrow E_S < E_A$ Bindungsenergie

$\Rightarrow \psi_S$ ergibt bindenden Zustand, ψ_A ergibt antibindenden Zustand

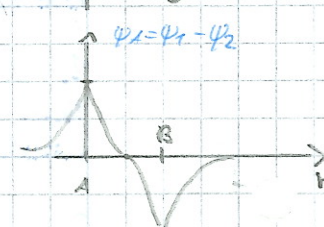
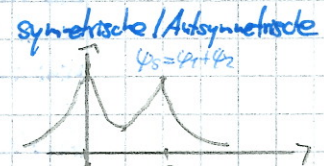
ψ_S Bindender Zustand, da maximale Aufenthaltswahrscheinlichkeit der e^- in der Mitte

$\hookrightarrow e^-$ ziehen beide Protonen Richtung Mitte, energetisch günstiger weil zu geringer Abstand. gesenkt wird

$\hookrightarrow e^-$ hat in ψ_S mehr Raum \rightarrow größere Ortsunsicherheit \rightarrow kleinere Impulsunsicherheit. \rightarrow weniger $E_{kin} = \frac{p^2}{2m}$

ψ_A Antibindender Zustand, e^- hält sich eher an beiden Seiten auf:

$\hookrightarrow e^-$ zieht Protonen voneinander weg, begünstigt Abstoßung \rightarrow Energetisch ungünstiger



\hookrightarrow Kein He^2+ -Molekül weil mit den $4e^-$ bindendes/antibindendes Orbital gefüllt \rightarrow Energetisch günstiger Bindungszustand wird durch den Antibindenden Komponenten.

\rightarrow Gesamtsystem liegt energetisch nicht niedriger, es kommt keine Bindung zustande



Theoretisch auch Auszug von Orbitalen möglich \rightarrow sp-Hybridisierung

Müssen dafür bei Molekülen ZW vorsehen, muss zu groß sein

Bindungsenergie zu klein

Kovalente Bindung

Überlapp der WF führt zu Bindend/Antibindendem Zustand. Elektronen finden auf dem günstigen Binden

Orbital Platz. Kovalente Bindungen können nur unvollständig besetzte Orbitale eingehen. \rightarrow ein e^-

wäre das Orbital vollständig besetzt, so müssten die restlichen e^- in den Antibindenden Orbitalen \rightarrow Energetisch ungünstig \rightarrow Pauli-Prinzip verhindert Aufenthalt von mehr als $2e^-$ im Bindenden Orbital.

Bei der kovalenten Bindung werden e^- zwischen den Kernen angezogen \rightarrow Abstoßung der Kerne wird durch e^- verminder

\rightarrow Energetisch günstiger

Möglichkeit der „Hybridisierung“, s-Orbitalen von s-Orbital in p-Orbital gehen, darf z.B. 3 p-Orbitale mit jeweils einem e^- zur Verfügung stehen \rightarrow Energetisch insgesamt günstiger, obwohl e^- im Energiezustand eingeschlossen weil mehr Bindungen nun möglich sind z.B. Kohlenstoff \rightarrow Diamant

Ionenbindung

Wichtig ist Ionisationsenergie I (=Energie, die aufgewandt werden muss, um ein Elektron aus einem neutralen Atom zu entfernen) und Elektronegativität A (=Energiegewinn, wenn man einem neutralen Atom ein Elektron hinzufügt).

Bei einer vollständigen Bindung geht ein e^- von einem Atom auf ein anderes Atom über. Dabei muss die Energie A-I aufgebracht werden. Anschließend gewinnt man durch die C-Anziehung wieder Energie.

z.B. NaCl $I(Na) = 5,14 \text{ eV}$ $A(Cl) = 3,77 \text{ eV} \Rightarrow$ Es müssen $1,43 \text{ eV}$ aufgewandt werden, Elektrostatische Anziehung zwischen Löchern führt zu $4,51 \text{ eV}$ Energiegewinn $\Rightarrow \Delta E = +3,08 \text{ eV}$ \hookrightarrow Atome können sich nicht zu nahe kommen, bei zu viel Nähe müssen die höheren Antibindenden Orbitale gefüllt werden \rightarrow Energetisch ungünstiger

Rein ionische Bindungen, an dem ein e^- vollständig übergehen wird kommt nicht vor. Ionierte Bindung trifft immer zusammen mit kovalenter Bindung auf. Ionierte Bindung \rightarrow Anteil überwiegt ggü. kovalenter Bindung

\rightarrow Ionenkörper, Nichtleiter (\rightarrow Band voll gefüllt, keine freien e^-)

Hohe Temperatur: Ionenelektrolyse

durch (zige
c-Welle,
durch)

Stärke Wechselwirkung

\rightarrow rot
Pseudohalogenat

Van-der-Waals-Bindung

Tritt grundsätzlich immer auf, ist aber verglichen mit anderen Bindungen sehr klein \rightarrow wird nur bei Atomen mit geschlossener Schale (\rightarrow Edelgase) oder gesättigten Molekülen beobachtet
Wünsche, Fluktuationen erzeugen temporäre Dipolmomente \rightarrow Anziehung zwischen 2 temporären Dipolen
Mittleres Dipolmoment = 0
Schlechter Leiter von Wärme, Elektrizität, tiefer Schmelzpunkt, leicht komprimierbar (deformierbar) z.B. CH_4, Cl_2

Metallische Bindung

"Bindung, die in Metall vorkommt" (Wow!), ähnlich zu kovalenten Bindungen, aber mit größeren überlappenden WF \rightarrow Viele Atomrümpele tragen zur Bindung bei
 \Rightarrow Elektronen sind im Metall delokalisiert, freie e^- sind "Kleber" der pos. Atomrümpele zusammenhält
 \hookrightarrow Bindungskräfte sind aufgrund starker „Verschmierung“ nicht gerichtet
Proby: Verschmierung führt zu einer starken Reduktion Energie der Valenzelektronen (\rightarrow Mischvalenzrelation)
 \hookrightarrow Absenkung der Gesamtenergie

Wasserstoffbrücken-Bindung

H-Atom sehr klein, bei kovalenter Bindung mit anderem Atom, besonders bei stark Elektronegativ., wird eine Seite des Protons als nackte positive Ladung frei, da e^- im bindenden Orbital zwischen den beiden Atomrümpele sitzt. \rightarrow Nackte positive Ladung sehr effektiv zum Binden in einer e^- -Wolke
z.B. $\text{H}_2\text{O} \rightarrow$ Eiskristall

Unter einem Kristall wird eine räumlich starke Anordnung von Materieteilchen verstanden, die sich in einer oder mehreren räumlichen Richtungen periodisch wiederholt. Von besonderer Bedeutung ist dabei die Basis, und das Gitter des Kristalls.

Unter der Basis, die in den meisten Fällen aus mehreren Atomen/Molekülen besteht, wird ein kleiner räumlicher Abschnitt aus dem Gitter verstanden, durch dessen diskrete Translation entlang jeder Linearombination

$$\vec{R} = z_1 \vec{a}_1 + z_2 \vec{a}_2 + z_3 \vec{a}_3 \quad z_i \in \mathbb{Z}$$

der Gittervektoren \vec{a}_1, \vec{a}_2 und \vec{a}_3 vollständig rekonstruiert wird.

Das Gitter ist durch die Menge aller Vektoren \vec{R} gegeben, wenn zudem die zugehörige Basis nicht mehr weiter in identische Abschnitte unterteilt werden kann.

Bei 2 Teilchen 2 mögliche Bindungen \rightarrow Bei N Teilchen N Bindungen

$$2 \cdot 10^{10}$$

 1 Å

Die Beugung an periodischen Strukturen

Direkte Abbildung von atomaren Strukturen wird durch das hochauflösende Elektronenmikroskop/Tunnelmikroskop.

Zur Aufklärung von Strukturen weiterhin Beugungseffekte nötig. $\rightarrow e^-$, Röntgenstrahlen, Neutronen, Atome

\hookrightarrow Unterschiedliche Wirk für unterschiedliche Strukturen $\rightarrow e^-$ Ränder für Elektronenwellen, Neutronen für keine (aber keine direkte Wirkung)

Einfallende Welle soll die streuende Materie an allen Orten \neq zur Emission von Kugelwellen anregen.

Feste Phasenbeziehung zw. Primärwelle und jeweils emittierter Kugelwelle wird angenommen (Kohärenzbedingung)

"kinematische Streuung" \rightarrow Emittierte Kugelwellen werden kein z. Teil gestreut

Ebene Welle mit Frequenz ω_0 und Wellenvektor \vec{k}_0 mit $A(t) = A_0 e^{i(\omega_0 t - \vec{k}_0 \cdot \vec{r})}$ trifft auf Streuzentrum

\hookrightarrow Kugelwelle $A_2(t) = \frac{1}{R} e^{i(\omega_0 t - \vec{k}_0 \cdot \vec{r})}$

Phasendifferenz der jeweiligen Kugelwellen enthält Streuinformation $\delta\vec{r} = (\vec{k} - \vec{k}_0) \vec{r}$ (el. Streuung $\vec{k}_d = |\vec{k}|$)

Gesamtamplitude der Streustrahlung am Detektor: $A_S(t) = \frac{1}{R_0} e^{i(\omega_0 t - \vec{k}_0 \cdot \vec{r}_0)} \underbrace{\int g(r) e^{-i(\vec{k} - \vec{k}_0) \cdot \vec{r}} dV}_{V_p}$

wird von Versuchsdurchgang bestimmt $A(\vec{k})$ Streuamplitude mit

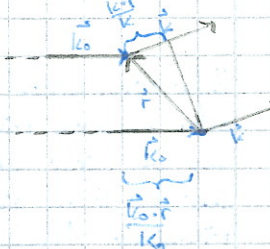
$$\vec{k} = \vec{k}_0 + \vec{k}_d \quad \Rightarrow \text{FT von } g(r)$$

Prinzipiell aus $A(\vec{k})$ $g(\vec{r})$ über $g(\vec{r}) = \frac{1}{(2\pi)^3} \int A(\vec{k}) e^{i\vec{k} \cdot \vec{r}} d^3 k$

bestimbar.

Aber: Mit ~~Amplifizierung~~ kann nicht Amplitude, sondern nur Intensität der Streustrahlung \rightarrow Detektur Teileien gibt

\hookrightarrow Wichtiger Teil d. Information geht verloren



Fourier-Entwicklung von Punktgittern

Kristalle sind translatioinsymmetrisch, Streudichteverteilung $g(\vec{r})$ somit periodisch \rightarrow Summe nutzen

Entwickle $g(\vec{r})$ in Fourier-Reihe $g(\vec{r}) = \sum_{hkl} S_{hkl} e^{i\vec{G}_{hkl} \cdot \vec{r}}$ $h, k, l \in \mathbb{Z}$

Fourier-Koeff. $S_{hkl} = \frac{1}{V_Z} \int g(\vec{r}) e^{-i\vec{G}_{hkl} \cdot \vec{r}} dV$, Integration über Periode der Flt, also das Volumen V_Z der primitiven Elementarzelle.

Schreibe $\vec{G}_{hkl} = h\vec{b}_1 + k\vec{b}_2 + l\vec{b}_3$, da h, k, l ganze Werte annehmen bildet jedes \vec{G}_{hkl} den Punkt eines Reziproken Gitters, dies unterliegt Einschränkungen (\rightarrow Translationsinvarianz)

$g(\vec{r}) = g(\vec{r} + \vec{R}) = \sum_{hkl} S_{hkl} e^{i\vec{G}(\vec{r})} = \sum_{hkl} S_{hkl} e^{i\vec{G}(\vec{r} + \vec{R})}$ wobei $\vec{R} = n_1 \vec{a}_1 + n_2 \vec{a}_2 + n_3 \vec{a}_3$ Gittervektor Kristall.

$\hookrightarrow e^{i\vec{G} \cdot \vec{R}} = 1 \quad \Rightarrow \vec{G} \cdot \vec{R} = 2\pi p$ mit $p \in \mathbb{Z}$

Kann nur für bel. n_i und h, k, l gelten, wenn $\vec{b}_i \cdot \vec{a}_j = 2\pi \delta_{ij}$

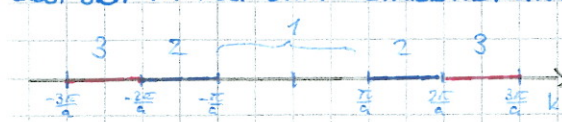
$$\Rightarrow \vec{b}_1 = \frac{2\pi}{V_Z} (\vec{a}_2 \times \vec{a}_3), \vec{b}_2 = \frac{2\pi}{V_Z} (\vec{a}_3 \times \vec{a}_1), \vec{b}_3 = \frac{2\pi}{V_Z} (\vec{a}_1 \times \vec{a}_2), \quad V_Z = (\vec{a}_1 \times \vec{a}_2) \cdot \vec{a}_3, \quad \frac{(2\pi)^3}{V_Z} = (\vec{b}_1 \times \vec{b}_2) \cdot \vec{b}_3$$

Vektoren des reziproken Gitters haben die Dimension einer inversen Länge, denn sie ex. nicht im Ortsraum, sondern im \vec{k} -Raum.

$$1c = \frac{2\pi}{\lambda} \rightarrow \text{durch invers}$$

Brillouin-Zone

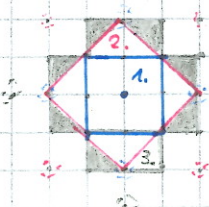
Wie im reellen Gitter Wigner-Seitz-Zelle (Konstruktion durch Normalebenen auf Verbindungsstrecken zw. Gitterpunkten) lässt sich im Rezi-Gitter definieren. Erweiterte BZ: Weitere Entfernte Punkte im Aufbau miteinbezogen



Reziprokes Gitter einer linearen Kette 1.BZ $-\frac{\pi}{a} \leq k \leq \frac{\pi}{a}$

Bemerk.: Hälften der höheren BZ besitzen zusammen gleiches V wie 1.BZ

Rechteck-Gitter mit BZ, durch Verschieben der Teile aus höheren Zonen um ganze Rezi-Gittervektoren können sie wieder zu einem Quadrat mit der Fläche der 1.BZ zusammengefügt werden



Millersche Indizes

Ebene im Kristall, die durch Gitterpunkte aufgespannt wird, bez. man als Kristall/Gitter-/Netzebene.
Aufgrund der Translationsinvarianz d. Kristalle gibt es jeweils (unendlich) viele äquivalente Ebenen, die parallel zueinander verlaufen.

Bei der Charakterisierung der Gitterebenen werden reziproke Längen senkt. \rightarrow Millersche Indizes (hkl) steht für eine Schar von parallelen Ebenen. Wobei h, k, l die jeweiligen Normalenkoeffizienten sind. $(100) \rightarrow$ Ebenenschar in yz -Ebene.

Da Inverse Längen liegt (200) -Ebene näher am Ursprung als (100) -Ebene.

Der reziproke Gittervektor \vec{G}_{hkl} steht senkrecht auf den Netzebenen (hkl), Abstand d_{hkl} zwischen zwei benachbarten Netzebenen gegeben durch $d_{hkl} = \frac{2\pi}{|\vec{G}_{hkl}|}$.

Streuung an Kristallen

Amplitude des Streusignals \sim Streuamplitude $A(\vec{k})$, somit

$$I(\vec{k}) \sim |A(\vec{k})|^2 = \left| \int_V g(\vec{r}) e^{-i\vec{k}\cdot\vec{r}} dV \right|^2 = \left| \sum_{hkl} S_{hkl} \frac{e^{i(\vec{G}-\vec{k})\cdot\vec{r}}}{V_p} dV \right|^2$$

Da die Exponentialfunktion oscilliert, mitteln sich die Beiträge weg, wenn V_p groß genug der Periode der Oszillationen ist. \Leftrightarrow Auslöschen der Streubeträge der einzelnen Atome durch Interferenz.

$$\hookrightarrow \text{Beitrag nur bei Streubedingung } \vec{k} = \vec{G} \rightarrow \int_V e^{i(\vec{G}-\vec{k})\cdot\vec{r}} dV \approx \begin{cases} V_p & (\vec{k} = \vec{G}) \\ 0 & (\vec{k} \neq \vec{G}) \end{cases} \text{ falls } V_p \gg \frac{2\pi}{|\vec{G}-\vec{k}|^3}$$

Im Grenzfall eines unendlichen V_p steht dort das \vec{G} -Netz in den drei Raumrichtungen. \rightarrow Ist V_p endlich, so weicht die Bedingung etwas auf.

Der Experimentator gibt durch die räumliche Anordnung von Strahlungsquelle, Strahlungsdetektor und durch die Orientierung der Probe die Lage von \vec{k} im reziproken Gitter vor.

\hookrightarrow Wird Streuung beobachtet, so ist auch \vec{G} festgelegt

\Rightarrow Beobachtete Streuung an einer periodischen Schwingung der Steindicke (\rightarrow Atomringprinzip) ist erfolgt, die Periode der Steindicke ist durch $(1) d_{hkl} = 2\pi/|\vec{G}_{hkl}|$ gegeben. $\frac{1}{d_{hkl}^2} = \frac{n^2 \cdot 4\pi^2 \cdot 10^2}{c^2}$ aus Prandtl Zg
Koefz. an Zahl der Teilchen pro Volumen

$$\text{Es gilt } \omega_{hkl} = \omega_{k0} \quad |\vec{k}| = |\vec{k} - \vec{k}_{0l}| = 2k_0 \sin \theta = \frac{4\pi \sin \theta}{\lambda}$$

\bullet Aus (1) folgt $2 d_{hkl} \sin \theta = \lambda$ bzw. $2 d \sin \theta = h \lambda$ (Höhere Ordnungen können auch Beitrag leisten)
 \rightarrow Vsl. Reflexion Bragg Bed. Ex 4

Strukturfaktor

Bisher haben wir nur besprochen, welche Gitterreflexe durch die Periodizität erzielt werden können, aber nicht wie stark diese sind.

Das wird durch S_{hkl} bestimmt, die Information über die Basis enthalten. \hookrightarrow Versch. Bestandteile d. Elementarzelle tragen bei
, Lage der Atome in der EZ

Wir spalten den Ortsvektor auf: $\vec{r} = \vec{R}_m + \vec{r}_a + \vec{r}'$
Lage der Elementarzelle "durchläuft" dann das Atom

$$\Rightarrow g_{hkl} = \frac{1}{V_p} \int_V g(\vec{r}) e^{-i\vec{G}\cdot\vec{r}} dV = \frac{1}{V_p} \sum_{\alpha} e^{-i\vec{G}\cdot\vec{r}_a} \int_{\alpha} g_{\alpha}(\vec{r}') e^{-i\vec{G}\cdot\vec{r}'} dV'$$

$$= \frac{1}{V_p} \sum_{\alpha} f_{\alpha}(\vec{G}) e^{-i\vec{G}\cdot\vec{r}_a} \downarrow = u_1 \vec{a}_1 + v_1 \vec{a}_2 + w_1 \vec{a}_3$$

$$S_{hkl} = S_{hkl} V_p = \sum_{\alpha} f_{\alpha}(\vec{G}) e^{-2\pi i (h\vec{r}_a + l\vec{r}_b + w\vec{r}_c)}$$

je nach Basis kann der Beitrag verschwinden.

Experimentelle Methoden

Um aus dem breiten Spektrum einer kontinuierlichen Strahlung ein monochromatisches zu machen, nutzt man den „Monochromatorkristall“ → Beleuchteter Eintrittsstell mit Bragg-Reflexion (→ Reflektiertes Licht hat nur noch die λ)
Die Streubedingung enthält 2 Größen, die im Experiment variiert werden können, → λ und Kristalleorientierung

Läufe-Verfahren

Eintrittsstell wird mit kontinuierlichem Spektrum bestrahlt → Viele Kristallebenen erfüllen gleichzeitig die Streubedingung
Wird entlang einer Symmetriechse gestrahlt, so entsteht ein Beugungsbild mit Symmetrieelementen.

↪ Bei einem Kristall mit unbekannter Struktur können Hauptsymmetriechsen ermittelt werden

Vorteil: Beobachtung von dynamischen Prozessen in Kristallen (→ Protein-Kristalle) → Funktionsweise Proteine

Nachteil: Indizierungsproblem, nicht nachvollziehbar welcher Reflex von welcher Wellenlänge stammt

Drehkristallverfahren

Monochromatische Strahlung auf Eintrittsstell, Drehachse sollte mit Achse hoher Kristallsymmetrie zusammen fallen

Nun wird der Kristall rotiert, es tritt immer dann ein Reflex auf, wenn eine Netzebenenscher im Verlauf der Drehung die Bragg-Bedingung erfüllt

Debye-Scherrer-Verfahren

Feinpulverisierte Kristalle werden mit monochromatischen Wellen bestrahlt. Kristallite, deren Gitterebenen zufällig so liegen, dass sie die Bragg-Bedingung erfüllen, verursachen einen Reflex. → Beugungsringe auf Film sichtbar (Von konzentrischen Kreisringen entstehen durch Reflexion in versch. Gitterebenen) $d = \frac{2}{2\pi n \sin \theta}$

↪ möglich, irgendwo jederzeit zu analysieren

Gitterdynamik

Meist FL-Eigenschaften lassen sich auf Bew. der Atome oder ϵ zurückführen (Gitterdynamische / Elektrodynamische Eigenschaften)
Separate Behandlung der Untersysteme: Adiabatische / Born-Oppenheimer Näherung → ϵ bewegen sich wesentlich schneller als Atomkerne
Annahme: Auslenkung der Atome aus Ruhelage mit parabolförmiger Variation der pot. Energie des FLK verbunden

Es breiten sich im FLK longitudinale/transversale Schallwellen mit linearer Dispersionsrelation aus. $w = v_0 q$

Gitterschwingungen Gitter polarisierbar

Abweichung von Schallwellen, wenn Wellenlängen vergleichbar mit Gitterkonstanten sind. Aus Symmetriegründen kompensieren sich alle Kräfte, die nicht in Ausbreitungsrichtung wirken. → Näherung als lineare Kette möglich

Gitter mit einatomiger Basis

n -tes Atom wird aus seiner Equilibrium-Position ausgelenkt: $\delta x_n = x_n - x_n^{eq}$

Klassisches Modell mit Masse-Feder-System

$$V_{tot} = \sum_i V(x_{i+1} - x_i) = \sum_i \frac{1}{2} (x_{i+1} - x_i - a)^2 = \sum_i \frac{1}{2} (\delta x_{i+1} - \delta x_i)^2 \rightarrow F_n = -\frac{\partial V}{\partial x_n} = \kappa (\delta x_{n+1} - \delta x_n) + \kappa (\delta x_{n-1} - \delta x_n)$$

$$\text{Aus } F=ma \quad m(\ddot{\delta x}_n) = F_n = \kappa (\delta x_{n+1} + \delta x_{n-1} - 2\delta x_n)$$

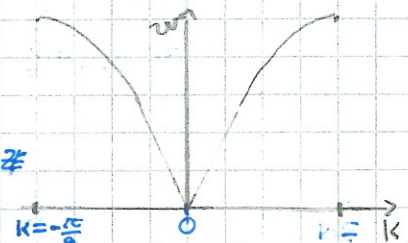
$$\text{Wellenansatz } \delta x_n = A e^{i\omega t - ik_n \cdot \vec{r}} = A e^{i\omega t - ik_n \cdot \vec{r}}$$

$$\Rightarrow \omega = \sqrt{\frac{\kappa}{m}} |\sin(\frac{k_n}{2})|$$

Frischher: Normal-Mode ist kohärente Oszillation, bei der alle Teilchen mit der selben ω schwingen.

Phasenunterschied zwischen benachbarten Atomen nur zwischen 0 und 2π → Wellenvektor lässt sich ohne Verlust der Allgemeingültigkeit auf $-\frac{\pi}{a} \leq k \leq \frac{\pi}{a}$ beschränken

↪ Läßt ein Wellenvektor außerhalb der 1. BZ. Läßt er sich mithilfe $k' = k + \frac{2\pi p}{a}$ $p \in \mathbb{Z}$ zurück in die 1. BZ führen



Aussagen: Wie soll k und $k + \frac{2\pi}{a}$ die gleiche Welle beschreiben? Tun sie prinzipiell nicht, es sind 2 Wellen, aber Welle bei uns ist nur an Atomrändern bzw. durch deren Auslenkung def. ⇒ ist egal, ob sie zwischen Atomrändern unterschiedlich sind, die physikalische Welle ist nur an Atomrändern definiert

Phänomen, dass 2 Wellen identisch sind, wenn sie nur an best. Punkten gesampelt werden ⇒ Aliasing (Radiotechnik)

Im langwelligen Grenzfall ($\rightarrow k \rightarrow 0$) vereinfacht sich die Gleichung zu $\omega = a\sqrt{\frac{k}{m}}k$, dies ist äquivalent zu unserer linearen Dispersion im Schallwellenfall.

Aber: Bei größeren k nicht mehr linear

Gruppengeschw.: Geschwindigkeit, mit der sich ein Wellenzug bewegt $V_g = \frac{d\omega}{dk}$

Phasengeschw.: Geschwindigkeit, mit der sich die individuellen Maxima/Minima bewegen $V_p = \frac{\omega}{k}$

Im kurzwelligen Grenzfall ($\rightarrow k \rightarrow \frac{\pi}{a}$) schwingen die beschreibbaren Ebenen in Gegenphase, da die Phase beschreibbarer Atome $e^{ikx} = -1$ für $k = \frac{\pi}{a}$

\Rightarrow Stehende Wellen mit $|k| = \frac{\pi}{a}$ und $\lambda = 2a$, $V_g = \frac{\partial \omega}{\partial k} = 0$ für $k = \frac{\pi}{a}$ für alle Werte von k, m

Insgesamt Anzahl an Normalmoden $= \frac{k\text{-Range}}{\text{Spots between } k} = \frac{2\pi/a}{2\pi/(ka)} = N \Rightarrow$ Eine Normalmode pro Masse im System.

Phonen sind quantitativ, Zwei wellen ebdellen \pm sind nicht kohärent \rightarrow überall im Kristall

Quantenmoden, Phononen Teilen: Stress, Energie, Oszillatoren

QM-Oszillatoren bei geg. zur die Energien $E_n = \hbar\omega(n + \frac{1}{2})$

Hier ist nun kein Einzelner Oszillator gemeint sondern eine kollektive Normalmode bei $\omega = \omega(k)$, somit können bei gegebenem k die Eigenenergien gemäß $E_n = \hbar\omega(k)(n + \frac{1}{2})$ besetzt werden, jedes n , also Anregung der Normalmode wird „Phonon“ genannt.

Anwendung der Bose-Statistik zur Besetzung $n_B(\beta\hbar\omega)$

$$\Rightarrow E_k = \hbar\omega(k) (n_B(\beta\hbar\omega(k)) + \frac{1}{2}) \quad \Rightarrow U_{\text{tot}} = \sum_k E_k = \sum_{k \in \Gamma} \hbar\omega(k) (n_B(\beta\hbar\omega(k)) + \frac{1}{2}) \\ \rightarrow \frac{N_c}{2\pi c} \int_{-\pi/a}^{\pi/a} dk \hbar\omega(k) (n_B(\beta\hbar\omega(k)) + \frac{1}{2})$$

Kristallmoment

Moment \vec{m}_k von Phononen schwer beschreibbar, da gleicher Phonen ob $k\vec{k}$ oder $k(\vec{k} + \frac{2\pi}{a}) \Rightarrow$ Nachberechnung k wird immer innerhalb der 1 BZ beschrieben!

\Rightarrow Noether-Theorem, aus Symmetrie folgt Erhaltungsgröße (Raum invariant unter Verschiebung um a)

Gitter mit mehratomiger Basis

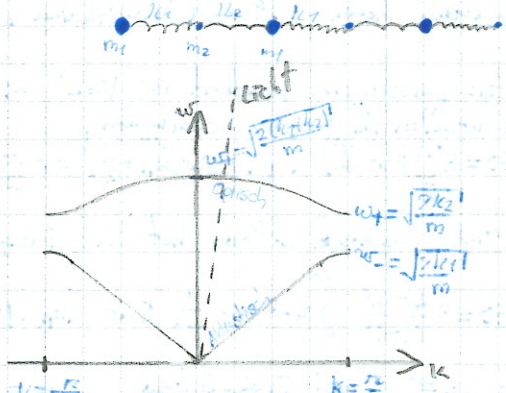
Jetzt: Kette mit Massen m_1, m_2 und k_1 und k_2

Selber Wellenansatz, EWr-problem mit Matrix

$$\omega_Z = \sqrt{\frac{k_1+k_2}{m} \pm \sqrt{k_1^2 + k_2^2 + 2k_1k_2 \cos(kc)}}$$

Für jedes k gibt es nun 2 Normalmoden $\Rightarrow 2N$ Moden insgesamt

\hookrightarrow Akustische Mode: Zweig linearer Dispersion für $k \rightarrow 0$



Optische Mode: Nicht Null für $k=0$, N_{opt} kommt daher, dass bei Absorption von Photonen im EK Energie/Momentum erhalten bleiben: $\omega_{\text{licht}} = ck$ sehr groß, Phononen haben minimales k , somit ist nur für kleine k eine absorption möglich, für kleine k ist Akustischer Zweig $\rightarrow 0$, somit wird Photon in oberer Dispersionkurve $\omega_{\text{opt}} > \omega_{\text{licht}}$ aufgezögert. Somit kann Energie/Impuls erhalten werden.

(Phonon-Photon-WW direkt nicht möglich, da Photonen $s=1$ haben und Phononen $s=0 \rightarrow s$ nicht erhalten)

Für $k \rightarrow 0$ vereinfacht sich das EWr-Problem und es lassen sich EWr für Akust. und optische Moden finden

$(A_x) = \begin{pmatrix} 1 \\ 1 \end{pmatrix} \Rightarrow \Rightarrow$ Massen schwingen zusammen, Analog zu Schallwellen \rightarrow Kompression, Richtung entgegengesetzte Richtung

$(A_x) = \begin{pmatrix} 1 \\ -1 \end{pmatrix} \Rightarrow \Rightarrow$ Massen schwingen Gegenphasig, Ausdehnung: mehr Energie vorhanden, weil starke Kompression/Ausdehnung

In 3D: 3n Freiheitsgrade, immer 3 Akust. also $3(n-1)$ optische (n: Anzahl Atome pro Einheitszelle) \hookrightarrow Aufteilung in Zweige nur bei hoher Symmetrie sonst optisch/akust. Zweig entfällt

Geht $k_1 \rightarrow k_2$ so nähern sich die beiden Zweige an, bis es wieder zur einatomigen Kette wird

Spezifische Wärmekapazität

Wird durch thermisch angeregte Phononik bestimmt, außer für tiefe Temperaturen beschreibbar durch
Dulong-Petit-Gesetz: $C = 3k_B$ bei Raumtemperatur, logisch betrachtet $C \rightarrow 0$ ($T \rightarrow 0$), da die Freiheitsgrade einfrieren
 bekannte Energie niveaus, wenn Energie weit unten nicht mehr groß genug ist um nicht höhers
Boltzmann-Modell: Atome an nächsten Nachbarn gebunden, Harmonisches Potentiel durch Interaktion mit Nachbarn
 Rechnung (klass. Zustandssumme) bestätigt Dulong-Petit Gesetz
 eingelegten, wird nichts
 angezeigt \rightarrow Einfrieren

Einstein-Modell

Festkörper besteht aus N harmonischen Oszillatoren der Einstein-Frequenz ω_E (konstant)

$$E_i = \hbar \omega_E (n_i + \frac{1}{2})$$

$$Z_{10} = \sum_n e^{-\beta \hbar \omega_E (n + \frac{1}{2})} = \frac{e^{-\beta \hbar \omega_E / 2}}{1 - e^{-\beta \hbar \omega_E}} = 1/2 \sinh(\beta \hbar \omega_E / 2)$$

$$\langle n \rangle = \langle E \rangle = \frac{1}{2} \frac{\partial Z}{\partial \beta} = \frac{\hbar \omega_E}{2} \coth(\frac{\beta \hbar \omega_E}{2}) = \hbar \omega_E (n_B(\beta \hbar \omega_E) + \frac{1}{2})$$

\hookrightarrow Energieniveaus ω_E wird mit n_B Bosonen besetzt

$$C = \frac{\partial \langle E \rangle}{\partial T} = k_B (\beta \hbar \omega_E)^2 \frac{e^{\beta \hbar \omega_E}}{(e^{\beta \hbar \omega_E} - 1)} \rightarrow C = k_B \quad (T \rightarrow \text{hoch})$$

$$3D: \langle E_{3D} \rangle = 3 \langle E_{1D} \rangle$$

Für kleine T gute Beschreibung, Freiheitsgrade „frieren ein“, einziger Parameter ist Einstein Frequenz ω_E (passt meistens gut aber z.B. bei Diamant weniger, da dieser sehr starke Bindung)

Debye-Modell

Einstein's Theorie zwar erfolgreich, weicht aber immer noch von Experiment ab: Bei niedrigen $T \propto T^3$ (Metall + $\sim T$ Term), Einstein aber exponentiell

Quantisierung der Schallwellen im FLK (Atomschwingung wie Schallwelle), wenig Unterschied zu Licht außer in Ausbreitungsgeschw.
 Schallwellen haben 3 Moden (1 Longitudinal, Atombewegung $\parallel \vec{k}$ und 2 transversal Atombewegung $\perp \vec{k}$)

\hookrightarrow Nutze periodische Randbed. bei $V=L^3 \Rightarrow$ Wellenvektor einer Welle $e^{i\vec{k}\vec{r}} \quad \vec{k} = \frac{2\pi}{L} (k_1, k_2, k_3) \quad k_i \in \mathbb{Z} \quad \vec{k} \rightarrow \frac{L^3}{(2\pi)^3} \vec{N}$
 Sci $w(k) = v(k)$ wie bei Schallwellen

$$\langle E \rangle = 3 \sum_{\vec{k}} \hbar \omega(\vec{k}) (n_B(\beta \hbar \omega(\vec{k})) + \frac{1}{2}) = 3 \frac{L^3}{(2\pi)^3} \int d\vec{k} \hbar \omega(\vec{k}) (n_B(\beta \hbar \omega(\vec{k})) + \frac{1}{2})$$

\rightarrow Jede ungerade Mode hat eine Frequenz $\omega(k)$ und ist im mittel mit n_B Bosonen (Photonen) besetzt

$$\langle E \rangle = 3 \frac{4\pi L^3}{(2\pi)^3} \int_0^\infty \omega^2 dw \frac{1}{V} \hbar \omega (\hbar \omega (\beta \hbar \omega) + \frac{1}{2}) = \int_0^\infty dw g(w) (\hbar \omega (\beta \hbar \omega) + \frac{1}{2})$$

$$\text{mit } k = \frac{\omega}{v} \text{ und Zustandsdichte } g(w) = N \frac{g\omega^2}{\omega^3} \quad \omega^3 = 6\pi^2 n v^3 \quad \begin{matrix} \text{zurück zu } \omega \text{ und } v \\ (\text{Zustände pro Frequenzintervall}) \end{matrix}$$

+ $\frac{1}{2}$ -Term gibt uns T-unabh. Term \rightarrow interessiert nicht

$$\langle E \rangle = gN \frac{(k_B T)^4}{(\hbar \omega_d)^3} \frac{\pi^4}{15} + T \text{ unabh.} \Rightarrow C = \frac{\partial E}{\partial T} = N k_B \frac{(k_B T)^3}{(\hbar \omega_d)^3} \frac{12\pi^4}{5} \sim T^3$$

Problem: dir für große T, unendlich große k erlaubt \rightarrow mehr moden als Atome im System

\rightarrow nur so viele moden, wie System Freiheitsgrade hat $3N = \int_{-\infty}^{\omega_{cut}} dw g(w)$

$$\langle E \rangle = \int_0^{\omega_{cut}} dw g(w) \hbar \omega (\hbar \omega (\beta \hbar \omega) + \frac{1}{2}) = k_B T \int_0^{\omega_{cut}} dw g(w) = 3k_B T N \quad \begin{matrix} \omega_{cut} \\ \checkmark \end{matrix} \quad k_B \rightarrow \frac{k_B T}{\hbar \omega_d} \quad \text{für hohe T}$$

$$\rightarrow C = \frac{\partial E}{\partial T} = 3k_B N \text{ bzw. } 3k_B \text{ pro Atom}$$

Probleme: Einfluss von ω_{cut} herzefäller Ausweg als phys. Tatsache, linare Dispersionrelation $\omega \propto k$ gilt für höhere T nicht, in mittleren T immer noch ungeeignet

$$\text{Metalle: } C = \gamma T + \alpha T^3, T\text{-Abh. nicht vorhanden}$$

Drude Theory

Anwendung der kinetischen Gastheorie auf Elektronen im Metall

1) e^- haben mittlere Stoßzeit τ (Phänomenologisch, da zu viele unbekannte Var mit e^-) \rightarrow Stoßverlust nicht ist $\frac{dt}{dt}$

2) Nach dem Stoß steht das Elektron ($\vec{p} = 0$)

3) Zwischen den Stößen registriert das e^- auf äußere Felder

$$\text{Erhaltene Bew. Gleichung } \frac{d\vec{p}}{dt} = \vec{F} - \frac{\vec{p}}{\tau} \quad \vec{F} = -e(\vec{E} + \vec{v} \times \vec{B}) \text{, ohne Feld } \vec{p}(t) = \vec{p}_{\text{init}} e^{-t/\tau}$$

Drift: ohne Feld e^- Im \vec{E} -Feld

$$\text{besch. mit Fermi-Gesch. } \frac{d\vec{p}}{dt} = -e\vec{E} - \frac{\vec{p}}{\tau}, \text{ im Gleichgewicht ist } \dot{\vec{p}} = 0 \text{ also } \vec{p} = -e\tau\vec{E} = n\vec{v}$$

$$\Rightarrow \text{ingesamt Vorförderstrom} \vec{j} = -e\vec{v}\vec{n} = \frac{ne^2\tau}{m}\vec{E} \Rightarrow \text{Leitfähigkeit } \sigma = \frac{e^2\tau n}{m}$$

isotrop \Rightarrow In riffel O

Durch \vec{E} -feld gerührte Im el. Feld

$$\text{Drift } v_d \sim 10^{4} \frac{m}{s} \quad \frac{d\vec{p}}{dt} = -e(\vec{E} + \vec{v} \times \vec{B}) - \frac{\vec{p}}{\tau}, \text{ im GG } \vec{0} = -e\vec{E} + \frac{\vec{i} \times \vec{B}}{n} + \frac{m}{ne^2\tau} \vec{j} \quad \text{mit } \vec{p} = m\vec{v} \text{ und } \vec{v} = -\frac{\vec{i}}{ne}$$

$$v_d = 10^6 \frac{m}{s} \Rightarrow \vec{E} = \left(\frac{1}{ne} \vec{i} \times \vec{B} + \frac{m}{ne^2\tau} \vec{j} \right) = S \vec{j}$$

$$\text{g-3x3 Widerstandsmatrix } S_{xx} = S_{yy} = S_{zz} = \frac{m}{ne^2\tau} \text{ und für } \vec{B} \parallel \vec{e}_z \quad S_{xy} = -S_{yx} = \frac{m}{ne}$$

Hall-Effekt: Wird ein Magnetfeld senkrecht zu einem Stromfluss angelegt, so kann senkrecht zu beiden eine Spannung gemessen werden

$$U_H = A_H \frac{I_B z}{d} \Rightarrow B\text{-Bestimmung } B \text{ mit Hallsonde bzw. } R_H = -\frac{1}{ne} \text{ für Elektrodenleiter}$$



Mehrere Ladungsträgerarten positiv \rightarrow Bandstruktur später

Anwendung Drude Theorie auf Wärmetransport, Verhältnis $\frac{\text{therm. Leitfähigkeit}}{\text{el. Leitfähigkeit}} \text{ Lorentz-Müller L}$ passt relativ genau aber 2 Fehler: spez. Wärme $C_V = \frac{3}{2} k_B$ stimmt in Metallen nicht sondern Debye (Phonon) Term $+ \sim T$ Term in kleinen T , Resultat trotzdem so gut weil v als viel zu klein angenommen wurde

\rightarrow Abhängig

Peltier-Effekt: Fließender Strom transportiert auch Wärme (stimmt bei Drude ganz und schief)

Stromfluss: Fermi-level Freies Elektronengas = Sommerfeld Theorie $\text{Charg. Relativität} = \text{Energie durch } N$

wird durch Kraft verschoben, e^- in Metallen lassen sich näherungsweise durch ein konstantes effektives Potentiel beschreiben, nur am Probenrand ex. \rightarrow Es tragen e^- in einer Potenzialbarriere $\rightarrow e^-$ können FLK nicht verlassen

e^- Wm nicht miteinander aber Pauli-Prinzip gilt

1. Sch. der Fermi-Fläche zum Ladungsträger bei \vec{k} \rightarrow Betrachte Fermi-Besetzung für System von freien e^- mit Potentiel μ und Energie E . $n_F(B(E-\mu)) = \frac{1}{e^{(E-\mu)/kT} + 1}$ \downarrow für kleine T $n_F(B(E-\mu)) \rightarrow \Theta(\mu - E)$, für große T verschwindet n_F

Annahme Period. Randbed in V-L3 und $e^{i\vec{k}\vec{r}}$ Wellen mit $\vec{k} = \frac{2\pi}{L} (k_x, k_y, k_z)$ $k_i: E \propto$

$$\hookrightarrow E = \frac{\hbar^2 k^2}{2m} = \frac{\hbar^2 k_x^2}{2m}$$

spin

$$\Rightarrow N_e = \sum_k n_F(B(E(k)) = \frac{V}{(2\pi)^3} \int dk n_F(B(E(k)-\mu))$$

Def. Fermi-Energie E_F als $\mu(T=0)$, „Fermi-level“ Zustände bei $T=0$ gefüllt sind „Fermi-See“

Hab eff. μ \hookrightarrow Fermi-Temperatur $T_F = E_F / k_B$, k_F durch $E_F = \frac{\hbar^2 k_F^2}{2m}$, $\rho_F = \pi^2 k_F^3 / 3m$

E_F für Metall mit N Elektronen $N = 2 \frac{V}{(2\pi)^3} \int dk \Theta(E_F - E(k)) = \frac{2V}{(2\pi)^3} \int dk = 2 \frac{V}{(2\pi)^3} \left(\frac{4}{3} \pi^2 k_F^3 \right)$

$\hookrightarrow e^-$ Elektronen Ball in k -Raum mit $r = k_F$ mit $n = \frac{N}{V}$ $k_F = (3\pi^2 n)^{1/3}$ $\Rightarrow E_F = \frac{\hbar^2 (3\pi^2 n)^{2/3}}{2m}$

Da besteht von e^- ca. in Metall für z.B. Kupfer $E_F = 80.000 \text{ K}$, $T_F \gg T$ (In Nähe Raumtemperatur), Metalle schmelzen leicht unter ihrer Fermi-Temperatur, $v_F \approx 10^6 \text{ cm/s}$ \rightarrow kommt von Pauli-Prinzip, da so viele e^- müssen hohe Zustände mit viel Energie besetzt werden. Ist $T \gg T_F$ verhält sich Metall klassisch...

Metall werden e^- nahe an Oberfläche angezogen, da sehr viel Energie notwendig wäre, um diese e^- anzuzeigen

Elektronische Wärmekapazität

$$E_{\text{tot}} = \frac{2V}{(2\pi)^3} \int dk' \epsilon(k') n_F(\beta(\epsilon(k') - \mu))$$

$$N = \frac{2V}{(2\pi)^3} \int dk' n_F(\beta(\epsilon(k') - \mu))$$

$$\int dk' \rightarrow 4\pi k^2 \int dk'$$

$$dk = \sqrt{\frac{2E_m}{\pi^2}} dk' \Rightarrow dk = \sqrt{\frac{m}{2\epsilon k^2}} d\epsilon$$

$$\hookrightarrow E = V \int_0^\infty d\epsilon g(\epsilon) n_F(\beta(\epsilon - \mu))$$

$$N = V \int_0^\infty d\epsilon g(\epsilon) n_F(\beta(\epsilon - \mu))$$

$$\text{mit } g(\epsilon) = \frac{(2m)^{3/2}}{2\pi^2 h^3} \epsilon^{7/2} \text{ bzw. } g(\epsilon) = \frac{dn}{2E_F} \left(\frac{\epsilon}{E_F}\right)^{1/2} \text{ mit } \frac{(2m)^{3/2}}{h^3} = \frac{8\pi^2 n}{E_F^{5/2}}$$

$g(\epsilon)d\epsilon$ ist Anzahl von Zuständen mit Energie zwischen ϵ und $\epsilon+d\epsilon$

Da Näherungsweise gilt $T \ll T_F$ bzw. $k_B T \ll E_F$

$$E \approx E_0 + \frac{1}{6} g(E_F) (k_B T)^2 \Rightarrow C_V \approx \frac{\epsilon^2}{3} g(E_F) k_B^2 T = \frac{\epsilon^2}{3} \frac{I}{I_F} \frac{3n k_B}{2} = \gamma T$$

es dragen bei ϵ^2 zu C_V - Oberfläche bei

$$\text{somit } C_V = \gamma T + \begin{cases} 3n k_B & \text{für } T > \Theta \\ \beta T^3 & \text{für } T \leq \Theta \end{cases}$$

Bei hohen Temperaturen ($T > \Theta$) dominiert Gitterbeitrag aus DeLong-Petit-Gesetz, bei niedrigen T liegt das Gitter den Term βT^3 zur spez. Wärme bei

Pauli-Paramagnetismus: Im Magnetfeld anheben/senken der Energie $H = \frac{\vec{p}^2}{2m} + g\mu_B \vec{B} \cdot \vec{\sigma}$

$$\epsilon(k, \vec{t}) = \frac{\vec{p}^2 k^2}{2m} + \mu_B B$$

\rightarrow Wird \vec{B} -Feld angelegt, ist es energetisch günstiger \downarrow -Zustand zu haben \rightarrow mehr \downarrow -Zustände

$$\epsilon(k, \vec{t}) = \frac{\vec{p}^2 k^2}{2m} - \mu_B B \quad \rightarrow \text{Magnetisierung in Richtung des angelegten } \vec{B}\text{-Feldes}$$

parallel disponibel

Bei Elektronendrift bewegt sich Fermi-Sphäre fort \rightarrow Längsrichtung

Aber: Stromung an Atomen nicht berücksichtigt

Wieso zählen nur manche Elektronen und andere keinen Einfluss?

Unterschiedliche Absorptionswellen von Metallen werden nicht erklärt

Man würde erwarten, dass Elemente mit nicht vollen Schalen auch freie e^- haben, ist aber z.B. bei Diamant nicht der Fall \rightarrow guter Isolator, obwohl äußere Elektronenschale der C-Atome nur teilweise gefüllt

Generell: kleinere e^- Beitrag, da nur e^- an Fermi-Oberfläche zur Wärmekapazität beitragen können (\rightarrow Anregbar)

$$h(x) = \frac{1}{x-1}$$

Unterschied \pm Pauli-Matrizenoperator \pm

$$n_F(x) = \frac{1}{e^x + 1}$$

(Eigentlich durch Besetzungsspeziation der Niveaus gegeben)

$$n_F = 0, 1 \quad n_S = 0, 1, 2, 3, \dots$$

Elektronen im periodischen Potentiel

Füge ein periodisches Potentiel hinzu für das gilt $\tilde{V}(\vec{r}) = \tilde{V}(\vec{r} + \vec{R})$ wobei \vec{R} bel. Gittervektor
Entwickle Potentiel nach reziproken Gittervektoren, entwickele e^- nach ebenen Wellen

$$\tilde{V}(\vec{r}) = \sum_{\vec{G}} V_{\vec{G}} e^{i\vec{G}\vec{r}}$$

$$\psi(\vec{r}) = \sum_{\vec{k}} c_{\vec{k}} e^{i\vec{k}\vec{r}}$$

$$\text{Einsetzen 86 } \left(-\frac{\hbar^2 k^2}{2m} \sigma + \tilde{V}(\vec{r})\right) \psi = E \psi$$

$$\Rightarrow \left(\frac{\hbar^2 k^2}{2m} - E\right) c_{\vec{k}} + \sum_{\vec{G}} V_{\vec{G}} c_{\vec{k}+\vec{G}} = 0$$

Darstellung 86 für e^- in periodischem Potentiel. Für jedes \vec{k} ein Gleichungssystem mit $\psi_{\vec{k}}(\vec{r})$ und $E_k E_{k+G}$.

Entwicklungskoeffizienten unterscheiden sich um Reziproke Gittervektoren

$$\psi_{\vec{k}}(\vec{r}) = \left(\sum_{\vec{G}} c_{\vec{k}+\vec{G}} e^{-i\vec{G}\vec{r}} \right) e^{i\vec{k}\vec{r}}$$

Ausdruck in Klammern ist Fourier-Entwicklung einer Gitterperiode.
Auftreten in phys. Gln.

Funktion \rightarrow Gitterperiodischer Modulationsfaktor $u_{\vec{k}}(\vec{r})$

$$u_{\vec{k}}(\vec{r}) = u_{\vec{k}}(\vec{r} + \vec{R})$$

+ Gitterperiode.
Funktion

$$u_{\vec{k}}(\vec{r}) = u_{\vec{k}}(\vec{r} + \vec{R})$$

$$\psi_{\vec{k}}(\vec{r}) = u_{\vec{k}}(\vec{r}) e^{i\vec{k}\vec{r}}$$

$$u_{\vec{k}}(\vec{r} + \vec{R}) = u_{\vec{k}}(\vec{r} + \vec{R}) e^{i\vec{k}\vec{r}} e^{i\vec{k}\vec{R}} = \psi_{\vec{k}}(\vec{r}) e^{i\vec{k}\vec{R}}$$

Im Fall freier e^- ist $u_{\vec{k}}(\vec{r})$ konstant.

$e^{i\vec{k}\vec{R}}$ nur Phasofaktor

Die Wellenfunktionen der e^- und ihre E_k wiederholen sich im \vec{k} -Raum periodisch. Somit genügt es, sich auf Lsg in der 1. BZ zu beschränken, da diese Lsg in diesen Teil des \vec{k} -Raumes bereits die gesamte Information enthalten. \rightarrow „Reduktion auf die 1. BZ.“ im „reduzierten Zonenmodell“

Quasi-freie-Elektronen

\rightarrow Resonanz gut für Metalle
für Metalle

Annahme: kleines Period. Potentiel $V_0 \approx 0$, Symmetrie d. Gitters soll über periodische Lsg erweitert werden
 \rightarrow „Leeres Gitter“

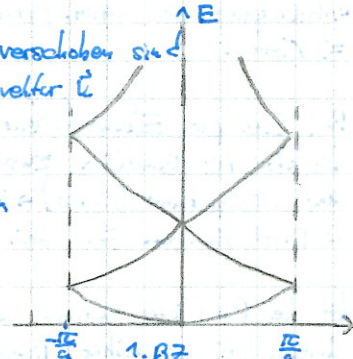
Bei leerem Gitter

$$E_k = E_{\vec{k}+\vec{G}} = \frac{\hbar^2}{2m} |\vec{k} + \vec{G}|^2$$

\rightarrow Parabeln, die im \vec{k} -Raum um \vec{G} gegeneinander verschoben sind

\hookrightarrow Verschiedene Eigenwerte E_k zum gleichen Wellenzvektor \vec{k}

In 3D leider etwas komplizierter, Reduktion auf 1-BZ ruft Entartung her vor,
da gleiche Teile der E_k -Kurven zu unterschiedlichen Reziproken Gittervektoren gehören.



$$E_k = \frac{\hbar^2}{2m} [(k_x + b_x)^2 + (k_y + b_y)^2 + (k_z + b_z)^2]$$

Metall, Metalle, Metalle
Aluminium, $V_0 \approx 0$ passt ziemlich genau, Entartungen werden im Realen Bild aber aufgehoben + Energie Löcher an BZ-Grenze (\rightarrow endliche Stärke d. Potentials)

Bereiche zwischen Energie Löchern werden als Energiebänder bezeichnet.

S6 besitzt an Zonengrenze zwei Lsg mit unterschiedlicher Energie \rightarrow Aufreichen Energielöcher

Durch hinzufügenden Potentiel kommt es an BZ-Grenze zu Aufspaltung (Wieso da? 2. Ordnung Störungstheorie
Term d.h. für $k' = -k \rightarrow$ Entartung?)

$$E(\vec{k}) = E_0(\vec{k}) + \sum_{\vec{G} \neq \vec{k} + \vec{G}} \frac{1 \langle \vec{k}' | V | \vec{k}' \rangle |^2}{E_0(\vec{k}') - E_0(\vec{k}')} \quad \text{div. für } E_0(\vec{k}) = E_0(\vec{k}')$$

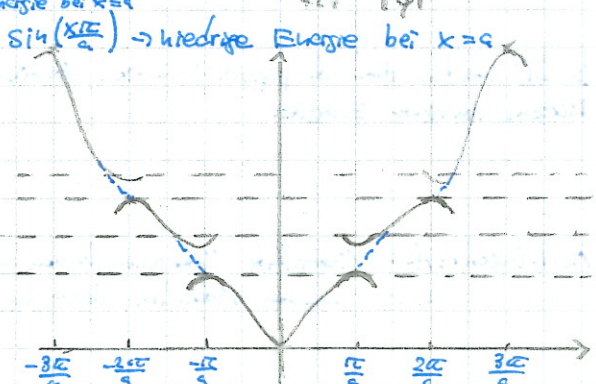
div. für $E_0(\vec{k}) = E_0(\vec{k}')$ bzw. $\vec{k}' = \vec{k} + \vec{G}$
 \rightarrow hohe Energie bei $x=0$
 \rightarrow für $|q|^2$

\rightarrow Entartete Störungstheorie $\psi_+ \sim \cos(\frac{x\pi}{a})$ $\psi_- \sim \sin(\frac{x\pi}{a})$ \rightarrow niedrige Energie bei $x=0$

Aufspaltung der Dispersionsrelation mit erlaubten Bändern und verbotenen Zonen.

Bandlücken

Bandlücke \rightarrow d.h. kein period. Potentiel, desto stärker Potentiel, desto größer ist die Lücke.



Tight-Binding-Elektronen

Annahme, dass e^- sich vorzugsweise in der Nähe der Atomränder aufhalten \rightarrow gut für Molekül/lonenkristalle
Störungstheoretische Behandlung der SE für das einzelne Atom \rightarrow Analog zu LCAO Überlapp \rightarrow Desregen setzt für Ionenkristalle \rightarrow Konkurrenz Bindungen

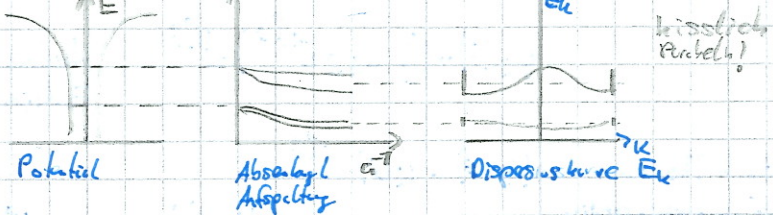
\Rightarrow Störungspotential durch andere Atomränder

\rightarrow Interaktion da d. räse

desto stärker
Rückwirkung, desto
weniger hopping

\rightarrow Dispersionskurve wie bei freien Elektronen, aber Dispersion hat max. und minimale Energie
 \hookrightarrow Cosinus Terme \rightarrow Entartung als k^2

Absenkung der Atomniveaus durch bewegliche Atome (vgl. -tiefkkondensat Bindung), Aufspaltung der Absorptions-Niveaus durch Überlapp der WF, je nach Abstand unterschiedl. starker Überlapp
Tiefer liegende Bänder, zu denen stark lokalisierter WF gehören (z.B. S-Niveau) sind schneller als Bänder, die zu höheren Atomniveaus mit ausgedehntem WF gehören.



Berechnung der Bandstruktur mit stark gebundenen e^- zeigt, dass Aufstellen von Energieniveaus nicht im Periodicitätsgesetz des Gitters gebunden ist. Da nur Nachbaratome Einfluss haben, lässt sich Rechnung auf amorphe Materialien ausdehnen. \rightarrow Desregen Bänder auch in nicht-periodischen Strukturen

Überlapp der Bänder möglich (\rightarrow höhere Orbitale weiter zusammen oder anderes Atom sehr nah)

Aufspaltung der Bindung durch anderes Atom \rightarrow desto weiter, desto mehr Überlapp

Energiebänder (Tanz)

Anzahl der Bänder $N \sim$ Anzahl Atome in Zelle $\rightarrow N$ Atome N Bänder bzw. noch mit Orbitallen $\rightarrow 1$ Band pro Orbital
Durch Spin können Bänder jeweils von $2e^-$ besetzt werden (bzw. p-Band $6e^-$ obwohl das sich ja eigentlich 2 Bänder erfordert)
Ist ein Band mit einem e^- gefüllt, so kann durch anlegen eines E -Feldes einige k -Zustände ausgeschoben/abgesunken werden
 \hookrightarrow Unterschiedliches chem. Potential an den Seiten \rightarrow gleiche Menge an e^- an den Seiten \rightarrow Strom
 \Rightarrow Metall (Fermi-Niveau liegt im Band)

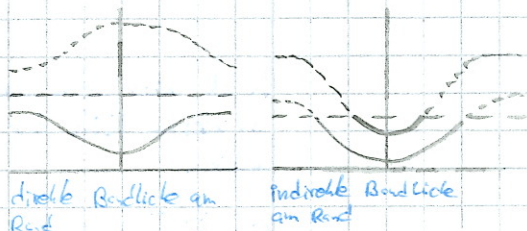
Isolator \rightarrow jeweils $2e^-$ Metall

Bei $2e^-$ pro Elementarzelle z.B. kann ein Band komplett gefüllt werden:

Isolator mit Bandlücke zwischen (chem. Potential bzw. E_F zwischen Bändern) Valenzband (unter)

und Leitungsband (oben) \rightarrow Energie notwendig, um e^- in hohes Band anzuhoben

\rightarrow Durch Anlegen Feld kein Strom (Bandisolatoren)



Ist die Bandlücke schmal genug, $\sim 4\text{eV}$ können bei Raumtemperatur durch therm.

Anregung e^- ins höhere Band gelangen \rightarrow Teilweise leitfähig \rightarrow Halbleiter

Bei Halbleiststoffen liegt geringer Bandüberlapp vor.

In 2D werden durch das period. Potentiel Zustände in der 1. BZ weg von dem E-Elan geschnitten (weil die höheren (Energie) Richtung Bänder niedrigere Energie).



Mott-Isolator: Auch Monokristalle Materialien können Isolatoren sein, bisher e^-e^- Interaktion komplett vernachlässigt aber zu weichen interatomaren Abstößen extrem stark \rightarrow keine e^- hängen zwischen Atomen wiederum

Optische Eigenschaften

Isoletoren können Photonen, dessen Energie kleiner als die Bandlücke ist nicht absorbieren \rightarrow nicht genug Energie, um e^- in höheres Band einzukrengen
Ist Bandlücke $> 3,2 \text{ eV}$ ist Metall durchsichtig (\rightarrow Stoffloses Licht hat nicht genug Energie) z.B. Diamant
Hg können einige sichtbare Photonen absorbieren, andere nicht

Indirekte/Direkte Bandlücke: Liegen das Valenzbandmaximum und das Leitungsbandminimum beim selben k -Wert handelt es sich um eine direkte Bandlücke.
Ist dies nicht der Fall und die Min/Maxima sind nicht bei gleichen k -Wert, so handelt es sich um eine indirekte Bandlücke.

Anregungen über die indirekte Bandlücke sind möglich (durch Photonen) aber schwer zu finden von Impuls/Energie erhalten
 \rightarrow Absorption unter Bandlückenaufbruch möglich oder selten

Metalle etwas komplizierter, da viele überschappende Bänder. Prinzipiell können die vielen Leitungslektronen einfach angeregt werden und emittieren Photonen. dann wieder \rightarrow Metall glänzt



Elektronische Transporteigenschaften

Um Teilchen darzustellen nutzt man Wellenpakete (\rightarrow Superposition ebener Wellen)

$$\psi(\vec{k}, t) = \sum_{\vec{k}} g(\vec{k}) e^{i(\vec{k} \cdot \vec{r} - \omega \vec{k}^2 t / 2m)} \quad \rightarrow \text{Nutz im FK Superposition von Bloch-Wellen}$$

Wellenpaket sollte möglichst kleine \vec{k} -Unschärfen besitzen, zur Beschreibung innerhalb der 1. BZ
 \Rightarrow Ausdehnung des Wellenpaketes wesentlich größer als Gitterabstand a

Die Geschw. des Wellenpaketes ist durch seine Gruppengeschwindigkeit gegeben

$$\vec{v} = \vec{v}_n(\vec{k}) = \frac{1}{\hbar} \nabla_{\vec{k}} E_n(\vec{k}) = \frac{1}{\hbar} \frac{\partial E_n(\vec{k})}{\partial \vec{k}} \quad \Rightarrow \text{"schwedische Bewegungsgleichung"}$$

Effektive Masse: Dispersionrelation kann in Minima/Maxima quadratisch angenähert werden \rightarrow Dispersionsfreies Teilchen.

Minimum/Maximum der Bänder interessant, in Minimum (Krümmung positiv) ist die m eff. positiv und in einem Maximum (Krümmung negativ) ist m eff. negativ. $m^* = t^2 \left[\frac{\partial^2 E}{\partial k^2} \right]^{-1}$

Stromdichte $\vec{j} = -\frac{e}{V} \sum_{\vec{k}} \vec{v}(\vec{k})$ nur besetzte Zustände tragen zum Stromfluss bei

$$\vec{j} = -\frac{e}{4\pi^3} \int_{\text{BZ}} \vec{v}(\vec{k}) n_F(E(\vec{k})) \quad \rightarrow (T=0) \quad \vec{j} = -\frac{e}{4\pi^3} \int_{\text{besetzt}} \vec{v}(\vec{k}) d^3k = \frac{e}{4\pi^3 n} \int_{\text{besetzt}} \nabla_{\vec{k}} E(\vec{k}) \quad (E = \frac{\hbar^2 k^2}{2m}, \Omega = \frac{\pi^2}{a^3})$$

Bei Kristallen mit Inversionssymmetrie gilt $E(\vec{k}) = E(-\vec{k})$

$$\vec{v}(-\vec{k}) = \frac{1}{\hbar} \nabla_{\vec{k}} E(-\vec{k}) = -\frac{1}{\hbar} \nabla E(\vec{k}) = -\vec{v}(\vec{k})$$

Elektronen mit entgegengesetzten Wellenvektoren laufen in entgegengesetzte Richtungen. Das Integral nimmt daher den Wert Null an (weil $\vec{v}(-\vec{k}) = -\vec{v}(\vec{k})$).

Legt man ein Feld an, ändert dies nichts an der Argumentation, in diesem Fall werden die Zustände nur unbesetzt. \rightarrow Viele Bänder tragen nicht zum Stromfluss bei

Aufspaltung des \vec{j} -Integrals: Integriert über gesamte BZ und zieht nicht besetzte Zustände ab

$$\vec{j} = \frac{e}{4\pi^3} \underbrace{\int_{\text{BZ}} \vec{v}(\vec{k}) d^3k}_{\text{besetzt}} = \frac{e}{4\pi^3} \underbrace{\left[\int_{\text{BZ}} \vec{v}(\vec{k}) d^3k - \int_{\text{leer}} \vec{v}(\vec{k}) d^3k \right]}_{=0 \text{ weil voll, sonst kein Beitrag!}} = \frac{e}{4\pi^3} \int_{\text{leer}} \vec{v}(\vec{k}) d^3k$$

\Rightarrow Stromtransport erfolgt durch "positive" Ladungsträger auf leeren, nicht von e^- besetzten Zuständen.

Vorteil: Bei fast gefülltem Band nur kleinste Überleerung möglich, einfache Rechnung durch Parabol-Näherung

$f(x) = f(y)$
 \rightarrow nur mehrere Paare!

Bloch-Oszillation: Durch \vec{E} -Feld wirkt konstante Kraft auf $\vec{e} \rightarrow$ gl. lin. Bewegung im \vec{k} -Raum

Da sich WF und Energie erneut eines Kristallelektrons im \vec{k} -Raum periodisch wiederholen resultiert eine period. Geschwindigkeitszunahme. \rightarrow Im Idealfall stoßfreier Bewegung gibt es in einem unendlich ausgedehnten Kristall keine Gleichstromleitfähigkeit \rightarrow Bei $T=0$ in perfekten Kristall nur Bloch-Oszillationen.

Anschaulich: e^- erfahren bei Annäherung an Grenze Bragg-Reflexion \rightarrow Umkehrung Bewegungsrichtung obwohl \vec{E} gleich gerichtet. Aber in realen materialien stoßen e^- durch Verunreinigungen sehr viel öfter + $e^- - e^-$ müsste vernachlässigt werden (\gg kleine T)

Leitfähigkeit: Ist Band nicht voll, bewirkt das Anlegen eines Feldes eine Verschiebung der Geschwindigkeitsverteilung innerhalb des Bandes. Ohne Stöße würden e^- Bloch-Oszillationen durchführen.

Durch Stöße werden e^- im \vec{k} -Raum verschoben \rightarrow Besetzung nicht mehr symmetrisch $\Rightarrow j \neq 0$!

Löcher sind nicht gefüllte e^- Zustände und verhalten sich wie positive Ladungsträger

Wird z.B. ein e^- mit k_n eingesetzt in ein anderes Band, so hat das resultierende Loch den Wellenvektor $k_p = -k_n$.

Die Löcher befinden sich immer an der Oberseite der Bänder, die die e^- immer die niedrigsten Zustände besetzen wollen \rightarrow Ist ein "Löch", unter einem Elektron, so wechselt das Elektron in diesen leeren Zustand ("Löch"), es wird Energie frei.

Wird ein Feld angelegt, so werden e^- beschleunigt und es stellt sich nach kurzer Zeit aufgrund von Stößen ein Mischgleichgewichtswert ein.

\Rightarrow Die Verteilungsfunktion ändert sich \rightarrow zeitliche und räumliche Entwicklung durch Boltzmann-Gleichung beschrieben

Elektrostriktion Rutherford GL

Temperaturabhängigkeit der elektrischen Leitfähigkeit

Leitfähigkeit Kupfer bei tiefen T konstant, fällt dann rasch ab und bei Zimmertemperatur $\sim \frac{1}{T}$

Die Relaxationszeit τ der Leitungselektronen wird durch Streuung an Defekten/Gitterschwundungen bestimmt.

$$\frac{1}{\tau} = \frac{1}{\tau_{\text{Defekte}}} + \frac{1}{\tau(T)} \text{ Gitterschwundg.}$$

Abrechnung von Poiss. Potentiel gibt Anlass
zur Streuung

Elektrischer Widerstand $\rho = \frac{1}{\sigma}$ kann auch aufgespalten werden

$$\rho = \frac{m}{ne^2c} = \rho_0 + \rho_G = \frac{m}{ne^2c_0} + \frac{m}{ne^2c_0(T)}$$

Meffiesische Regel

Bei Metallen tritt bei $T \rightarrow 0$ ein temperaturunabhängiger Restwiderstand auf (\rightarrow Streuung an Defekten)
 $\rho(300K) / \rho(4,2K) = 1000$ \rightarrow Defekte geringe Auswirkung bei reinen Materialien.

Bei hohen T dominiert in reinen Metallen die Streuung der e^- an den Phonenen. Die inverse mittlere freie Weglänge steigt mit Phononen doppelt $n \sim T \Rightarrow \sigma \sim c_G(T) \sim T^{-1}$

Bei stark. Legierten/Amorphen Metallen ist Temperaturvariation vergleichsweise schwach: $\frac{\rho(300K)}{\rho(4,2K)} \approx 1$
 \rightarrow Streuung der e^- an Phononen kaum beobachtbar

Thermische Leitfähigkeit

Bei Zimmertemperatur Elektronen verantwortlich, bei sehr tiefen T dominieren ebenfalls die e^- , da die spez. Wärme der $e^- \sim T$ \rightarrow sinkt linear, spez. Wärme des Gitters $\sim T^3$

\Rightarrow Bei tiefen T gibt es mehr e^- als Phononen

Generell: Elektronen/Phonenen tragen „Wärmeenergie“ in Form von erhöhter Ekin?

Bei hohen T nahezu konstant, viele Phononen mit wpp \rightarrow Viele e^- streuen an Phononen

$$\Lambda \sim C_V \cdot L \sim T^0 \sim \text{const.}$$

wächst nicht durch
durch e^- Streuung $\sim T^{-1}$
Phonen $\sim T$

Thermische Leitfähigkeit der Phononen relativ klein \rightarrow nur in stark. unregelm. Metallen/Legierungen zu rechnen

Halbleiter

Leitfähigkeit zwischen Metallen und Isolatoren. Zum Bsp. Element aus 4.116 Silizium und Germanium.
Am Nullpunkt verhalten sich IIL wie Isolatoren, Valenzband vollständig besetzt, keine thermische Anregung möglich.
Bei $T > 0$ werden e^- in das Leitungsband gehoben \rightarrow Machen Material leitfähig.
Durch Dotieren können die Eigenschaften von HL gezielt verändert werden.

Intrinsische Halbleiter

Bandlücke zwischen 1 bis 3 eV ca. 1,12 bei Si $E_F = E_L - E_V$

Die el. Eigenschaften von HL werden vor alle durch Elektronen im Leitungsbanden und Löcher im Valenzbandmaximum bestimmt.

Sowohl e^- als auch Löcher tragen in HL zum Stromtransport bei.

Bei thermischer Eigenleitung liegt $E_F \approx$ in der Mitte \rightarrow Ausläufe der Fermi-Verteilung reichen nur knapp in die Bänder.

$$E_F \text{ genau in der Mitte } \Rightarrow p = \frac{1}{2}$$

\rightarrow pIn dotiert \rightarrow nimmt Hilsspannung und schaut nach VZ
 \Rightarrow Unterschied Löcher

$\sim 1 \text{ Donator}/10^7 \text{ Atome}$

Unvermeidbare Verunreinigungen bzw. gewollte Dotierung verändern Eigenschaften

Zum Beispiel 4-wertiges Si bzw. Ge \rightarrow im Gitter 4 kovalente Bindungen durch sp^3 -Hybridisierung. (4 Außenelktronen)
(Hybridisierung zunächst energetisch ungünstiger, ermöglicht aber gleichartigere Atombindungen)

z.B. As Arsen

Hinzufügen eines 5-wertigen Fremdatoms ergibt wieder 4 kovalente Bindungen + ein freies e^-

Bei Raumtemperatur kann sich dieses e^- vom Atomraupf trennen \rightarrow Durch Detektionen bleibt „positiver“ Atomraupf mit Elektronenwolke um sich herum zurück. \Rightarrow Donatoren, da sie e^- abgeben N-HL

z.B. Bor

Hinzufügen eines 3-wertigen Fremdatoms ergibt 3 kovalente Bindungen + „loch“, das fehlende e^- . wird abwechselnd den benachbarten Si entzogen \rightarrow scheinbares Kreisen einer positiven Ladung um B-Kern \Rightarrow Akzeptoren e^- aufnehmen P-HL
Ladung doch keine Plattein. \rightarrow Akzeptoren

Die Bewegung d. e^- bzw. des Loches um das Fremdatom kann mithilfe des Wasserstoffkugelmodells beschrieben werden, mit effektiver Masse, Dielektrizitätskonstante ϵ (\rightarrow Beschreibt wirkung Nachbaratome, Abstimmung C-Potential)

\rightarrow Energieniveaus 100 bis 1000 reduziert, Bohr Radius 50 größer \Rightarrow Unwirklich Elektronenbahnen (1000 Gildebahnen)

Für $n=1$ erhält man die Ionisierungsenergie, diese ist so klein, dass diese bei Raumtemperatur ionisiert sind

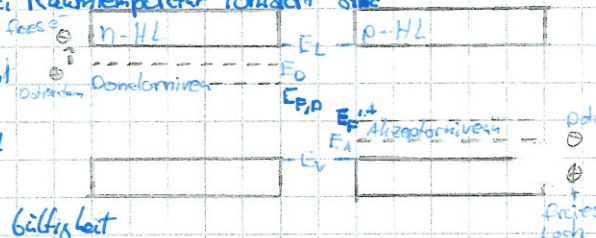
Raumtemperatur

Bei p-Dotiertem HL gibt es eine erhöhte Lochanzahl \cdot Fermi-Energie verschobt

sich Richtung Grundzustand

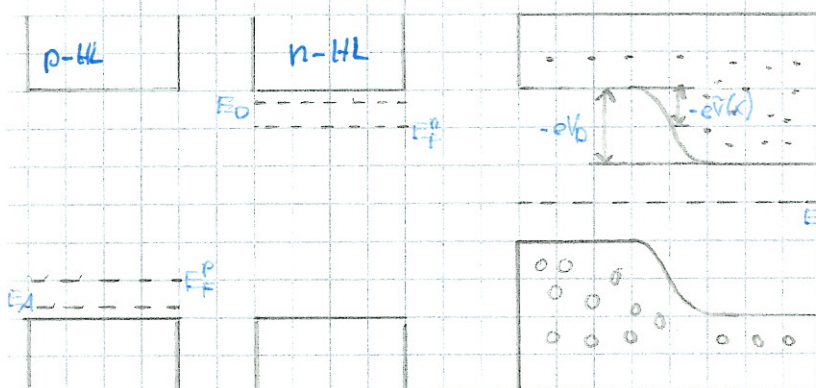
Bei n-Dotiertem HL gibt es eine erhöhte e^- -Anzahl \cdot Fermi-Energie verschobt sich Richtung Leitungsband

Bei sehr hoher T werden viele Ladungsträger thermisch erzeugt \rightarrow Dotierung verliert Gültigkeit



p-n-Übergang

Setzte abrupten Übergang Fermi-Niveaus liegen bei RT auf unterschiedlichen Höhen, bei Kontakt gleichen sich die Fermi-Niveaus an \rightarrow Elektronen diffundieren aus n-Bereich und fallen im p-Bereich die Löcher bzw. umgesetzt \Rightarrow Es bildet sich eine Spannung auf, welche die chn. Potentiale so gegeneinander verschobt, dass in der Probe ein einheitlicher Wert besteht \Rightarrow Bandverbiegung \rightarrow Ströme, die Diffusion entgegenwirken



Der Diffusionspotential V_0 ist durch die Differenz der ursprünglichen Fermi-Niveaus bestimmt.

$$eV_0 = E_F^n - E_F^p = k_B T \ln \left(\frac{n_{p,n}}{n_{n,p}} \right) \approx E_G$$

Ladungsträger, die sich in vorg. Gebiet aufhalten:
(n bei n, Löcher bei p) Majoritätsladungsträger

Im falschen Gebiet \rightarrow Minoritätsladungsträger



je nach dichten ist RLZ
symmetrisch/asymmetrisch

Diffusionsstrom (Rekombinationsstrom) ist Folge des p-n-Übergangs \rightarrow Ladungsträger re kombinieren nach Durchqueren der Raumladungszone mit Partnern (\rightarrow auf anderer Seite in großer Zahl vorhanden)

Der Diffusionsstrom führt zur Diffusionsspannung \rightarrow El. Feld. in der Raumladungszone, welches dem Diffusionsstrom entgegenwirkt. \Rightarrow Gleichgewicht zwischen Gegenfeld / therm. Bewegung \Rightarrow Zone ohne freie Ladungsträger entsteht (Verarmungszone), in der nur noch die Ortstesten Raumladungen der Potentialschwelle verbleiben. Energie geringe Elektronen vs. Arbeitsschwellen für Gegenfeld

Unter anlegen einer äußeren Spannung wird die Gleichgewichtsthermodynamik gestört, die angelegte Spannung U fällt in erster Linie in der Raumladungszone ab, die einen großen Widerstand besitzt, da sich in ihr nur wenige freie Ladungsträger aufhalten.
+ Polung p-Seite: Durchlass
- Polung p-Seite: Sperr



Spannung Polateldiff wird vergrößert

desto stärker Adern
dotiert, desto größer

Rekombination
 \rightarrow geringe Sperrschicht
 \rightarrow Feld muss
schwach sein, da
sehr viele
Träger

RLZ
dünne

Durchlassbereich
 \rightarrow RLZ

Sperrbetrieb: Potendifferenz wird erhöht, Raumladungszone verbreitert sich \rightarrow Auch thermisch sehr eingeschränkt werden abgebunden Sperrstrom trotzdem durch Minoritätsträger möglich (Entstehen durch Eigenleitfähigkeit \rightarrow therm. Anregung), \rightarrow können Sperrschicht durchqueren



Durchlassbetrieb: Minorität n-Seite droht e^- in RLZ
 \rightarrow RLZ wird abgebaut, Stromfluss möglich ab z.B. 0,6V

\rightarrow Differenz abhängig

Raumladungskapazität: Mit Raumladungszone Dielektriken (keine freien Ladungsträger vorhanden) \rightarrow Ränder der RLZ sind mehr Kondensatorplatten \rightarrow Kondensator mit Nische der RLZ, Dielektriken und Spannung Besonders bei \rightarrow Sperrrichtung \rightarrow Bel. Einstellbar \rightarrow Verktor Varicap

Zener-Durchbruch: In Sperrrichtung kann das Leitungsband stark nach unten gedrückt werden, dass es auf demselben Energieniveau liegt wie die Valenzband \rightarrow Elektronen können auf Leitungsband treten
 \rightarrow Durchbruch mit hoher Stromstärke, unvermeidlich bei HL-Dioden da Zerstörung durch hohe Verlustleistung, hohe Stromstärke \rightarrow z-Diode dafür ausgestattet für hohe I)

Solarzelle

Wird ein Photon in einem HL absorbiert, so wird ein $e^- - \emptyset$ -Paar erzeugt: Photon „boxt“ e^- aus Valenzband in Leitungsband (Loch im Valenzband, e^- im Leitungsband)
 \rightarrow Photon muss genug Energie haben, um Bandlücke zu überwinden
Geschieht dies außerhalb der RLZ, so rekombiniert das $e^- - \emptyset$ -Paar wieder. Geschieht dies aber innerhalb der RLZ, so werden die beiden Ladungsträger durch das Feld getrennt, bevor sie rekombinieren können.
 \Rightarrow Überschuss von e^- auf n-Seite und viele Löcher (= Elektronen abwesend) auf p-Seite. \rightarrow Spannung

Bauart: 1µm n-Schicht auf 0,6µm p-Schicht \rightarrow Sonnenlicht soll vorzugsweise an p-n-Übergang absorbiert werden. \rightarrow Zur Stromerzeugung ein bei eines Verbraucherwiderstandes

Photodiode

Einstrahlung von Licht bewirkt Stromfluss, da bei Absorption eines Photons jdeils ein $e^- - \emptyset$ -Paar erzeugt wird ist bei (ausreichender \rightarrow genug für Bandübergang) Wellenlänge der Strom \propto Intensität d. Lichts.

\Rightarrow Betrieb in Sperrrichtung, Intensitätsmessung möglich

Leuchtdiode

Im Durchlassbereich rekombinieren Majoritätsträger nach Durchquerung der RLZ. Bei Übergang des e^- von Leitungs- in Valenzband erfolgt die Emission eines Photons. \rightarrow Umkehrung optischer Absorptionsprozess.

Bei indirekter Bandlücke läuft Rekombination meist strahlungslos ab, da nach Energie an Phononen abgegeben wird.

Toyon (Supra) Leitung

Leitfähigkeit von Metallen wird durch Stoße der e^- mit Phononen begrenzt, unter $T_c > 0$ verschwindet der el. Widerstand komplett \rightarrow Supraleitung
Meisten Metalle werden supraleitend, wobei ihre strukturelle Ordnung ohne Bedeutung ist. \rightarrow Es kann sich um reine Kristalle, Legierungen oder amorphe Proben handeln.
Ferromagnetische Elemente bleiben normalleitend.

Unterhalb von T_c wird Material zum idealen Leiter, d.h. Widerstand verschwindet (\rightarrow Strome können quasi "nurlos" lange durchfließen)

Meißner-Effekt: Supraleiter bleibt bei B -Feldfeld frei durch Abschirmströme im inneren, wodurch B -Feld entgegengesetzt \rightarrow idealer Diamagnet

Unterschied zum idealen Leiter: wird B -Feld vor Phasenübergang eingesetzt, so bleibt dieser nicht Feldfrei
Erklärung mithilfe der Ginzburg-Landau Theorie von Phasenübergängen (\rightarrow Ordnungsparameter)

\Rightarrow Higgs-Mechanismus

Hier wird die Eichsymmetrie der EM-Potentiale gebrochen, weil im Supraleiter bei der Wf der Cooper-Paare eine Phase ausgesetzt ist \Rightarrow Photon hat in supraleitender Phase die entsprechenden im Innenraum \rightarrow Symmetrieverlust (Cooper-Phasenversatz)

Mikroskopische Beschreibung durch Cooper-Paare (BCS-Theorie)

Bei Normalleitern existiert das Anregungsspektrum von e^- den Transfer von beliebig kleinen Energien zwischen e^- und Gitter (Phononen).

Bei Supraleitern wird von einer effektiven Wechselwirkung zwischen den e^- ausgegangen

\Rightarrow Grundzustand d. Fermi-Gases nicht mehr stabil weil Energie der beiden e^- abgesenkt wird, Kunden nicht mehr auf Fermi-Fläche sondern „tunten ein“

$T = T_c$	$T < T_c$
0	10
0	10
0	10

il
Leiter

Symmetrieverlust

(Cooper-Phasenversatz)

$B=0$ $B \neq 0$ $B=0$

Supraleiter

Aber eigentlich C-Abstoßung zwischen $e^- \cdot e^-$ fliegt durch Gitter, im Kielwasser (\rightarrow dahinter) bildet sich eine positive Ladungswelle, da das e^- im Vorbeiflug die positiven Ladungsträger anzieht

Da die Reaktion der Gitterpartikel um $1/4$ Periode verzögert ist sind wechselwirkende e^- rel. weit voneinander entfernt und e^- sieht eher Ladungswelle als andere e^-

Wechselwirkung erfolgt durch virtuelle Phonons (klassisch (\rightarrow Gitterschwingung)), die Energie der Cooper-Paare wird durch die Wk reduziert \Rightarrow BCS-Grundzustand

\rightarrow beide Teilchen nicht Supr., da deren e^- nur schwach an die Phononen koppeln

\rightarrow Fermionen

WF des Lösungsansatz ist symmetrisch, da GesamtWF Antisymmetrisch ist, muss der Spinanteil antisymmetrisch sein.

\Rightarrow Spins entgegen gerichtet \Rightarrow Gesamtspin $s=0$ \rightarrow Cooper-Paare verhalten sich wie Bosonen

\Rightarrow Beschreibung mithilfe der Bose-Statistik \rightarrow mikroskopische Besetzung des Grundzustands

Ausbilden eines kohärenten Zustands, bei dem sich alle Paare mit der gleichen Geschwindigkeit in die gleiche Richtung streng aneinander gekoppelt bewegen

Die Ausdehnung der Cooper-Paare ist sehr groß 100 bis 1000 nm \rightarrow erstreckt sich über viele Gitteratome
 \rightarrow Josephson-Effekt, 2 schwach miteinander gekoppelte WF $(\approx 0,1 \text{ bis } 1 \mu\text{m})$

\Rightarrow Elektrischer Strom in Supraleitern wird von C-Paaren und nicht von einzelnen e^- getragen

Durch große Ausdehnung der C-Paare können diese durch dünne nicht-supraleitende Barrieren zwischen 2 Supraleitern tunnellen \rightarrow Josephson-Kontakt, verhält sich weiterhin wie ein Supraleiter ohne Unterbrechungen
 \hookrightarrow SQUID, präzise Messung extrem geringer Magnetfeldänderung

London-Gleichungen beschreiben radiale Eindringung des magnetischen Feldes beim Supraleiter

Typ II-Supraleiter: Eindringen vom Magnetfeld möglich, erfolgt in Form sog. Flussblitze im Material
 \hookrightarrow Bsp. Achtkant-Hochtemperatursupraleiter-Schlitzen

Flussblitz Coop.-Grundzustand
vs. Fuchs-Niveau

Magnetismus basics

Bei Flk abh. von Spin/Bahnchompol der e-. $\vec{\sigma} = \mu_0 (\vec{H} + \vec{\lambda})$

Bahndrehimpuls

Diamagnetismus: Äußeres Feld wird durch innen induziertes Gegenfeld geschwächt

→ Bei Einschalten eines Feldes wird nach Lenz' Regel Strom induziert, welcher der Änderung entgegenwirkt \Rightarrow neg. Moment welches \vec{B} -Feld (H_2) entgegengerichtet ist

→ Landau-Diamagnetismus bei Flk Niedrige 1/3 Pauli-Paramagnetismus

Paramagnetismus: Probe enthält mag. Dipolmoment \rightarrow Atome/Moleküle mit ungerader C-Zell oder teilweise gefüllten inneren Schalen.

Neg. Moment μ setzt sich aus Spin/Bahnchompolen zusammen \rightarrow Laiddée-Faktor

Curie-Gesetz: Suszeptibilität nimmt mit T^{-1} ab \rightarrow thermische Unordnung

beimell: Ausrichtung der neg. Momente, Magnetisierung \propto angelegtem Feld H , wird das H -Feld abgeschoben verschwindet die Magnetisierung wieder

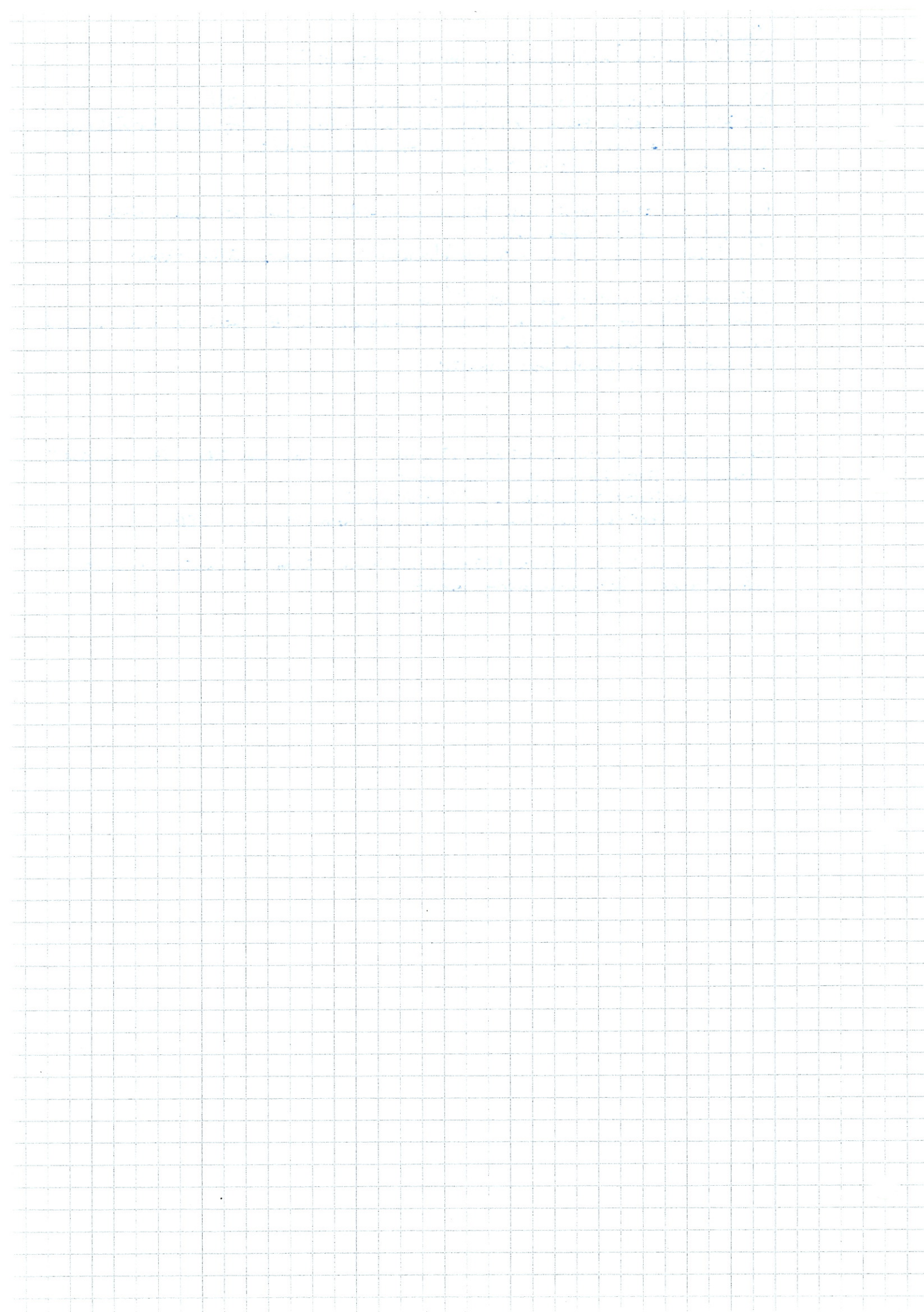
Winkel zwischen neg. Momenten wird vernachlässigt!

Ferromagnetismus: Spontane Magnetisierung $1s \rightarrow$ neg. Momente sind ohne äußeres Feld ausgerichtet
Unterscheidung im Ferro: alle neg. Momente gleich gerichtet ↑↑↑↑

antiFerro: Die Ausrichtung der Untergitter hebt sich auf ↑↓↑↓

Ferri: Die neg. Momente der beiden Untergitter unterscheiden sich in Größe ↑↓↑↓

Ferromagnetismus ist ein kollektives Phänomen, neg. Momente können nicht unabhängig von einander betrachtet werden \rightarrow Austauschwechselwirkung relevant



Schrödinger-Mill

$$E = \hbar \omega \quad \lambda = \frac{\hbar}{p} \quad \vec{k} = \frac{\vec{p}}{\hbar}$$

$$E = \frac{p^2}{2m} \Rightarrow \hbar \omega = \frac{\hbar^2 k^2}{2m}$$

$$\omega = \frac{\hbar}{2m} k^2 !$$

$$\text{Optik: } w = c_n k = \frac{c}{n(\omega)} k$$

Dispersions $w = f(k)$

$$v_{\text{ph}} = \frac{w}{k}$$

$$v_c = \frac{dw}{dk} \quad \text{"Geschwindigkeit d. Wellenpaketes"}$$

Ist v. Phas. konstant,
keine Dispersion (Abh. der ph. Gruppe m. der Frequenz)

$$\text{Für 1D-Wellen } \psi = A e^{-i\omega t + ikx} \quad \text{mit } k = \frac{2\pi}{\lambda} \quad E = \hbar \omega \quad \lambda = \frac{\hbar}{p}$$

$$\psi = A e^{-i\frac{E}{\hbar}t + i\frac{p}{\hbar}x} \quad (1)$$

$$\text{stationäres Problem: } \psi(x,t) = \psi(x) e^{-i\omega t} = A e^{ikx} e^{-i\omega t}$$

$$\partial_x^2 \psi = -k^2 \psi = -\frac{2m}{\hbar^2} E \sin \psi \quad (2)$$

$$\partial_t^2 \psi = -\omega^2 \psi$$

$$\text{klassisch: } \frac{1}{c^2} \frac{\partial^2 u}{\partial t^2} - \frac{\partial^2 u}{\partial x^2} = 0$$

- kein imaginärer Anteil, keine Dispersion?
einfache Zeitabhängigkeit
nur reell, kein Imaginärteil?

$$(1) \text{ nach } \partial_t: \frac{\partial \psi}{\partial t} = -\frac{i}{\hbar} E \sin \psi \quad \text{für } V=0 \quad -\frac{\hbar^2}{2m} \frac{\partial^2 \psi(x,t)}{\partial x^2} = i\hbar \frac{\partial \psi}{\partial t} \quad \text{mit (2)}$$

(Mit die Welle da ist)

Wann? D.h. steht in der CL zu einer Zeitpunkt
wie? Mit komplexen Zahlen? Warum?

+ Quadratische Dispersionseffekt \rightarrow Die Lösung ist $wL + t \hbar \omega$

Zufallszusatz,
WF aufteilen

$$-\frac{\hbar^2}{2m} \Delta \psi = i\hbar \frac{\partial \psi}{\partial t}$$

$$\text{std. } \left(-\frac{\hbar^2}{2m} \Delta + V \right) \psi = E \psi$$

Messung von $|\psi|^2$, ψ nicht messbar!
Wahrscheinlichkeitsdichteverteilung

Messbedingung:

Hab' sie gleich Allgemein

V_G -Berechnung der Hälfte einer Wellenpaketes

$$V_G = \frac{\partial w}{\partial k}$$

v_{ph} -Berechnung eines Punktes auf der Welle

$$v_{\text{ph}} = \frac{w}{k}$$

- 1) Hohlraumstrahlung
- 2) Photoeffekt
- 3) Comptoneffekt
- 4) Absorptionslinien
- 5) FUV
- 6) e- Beugung

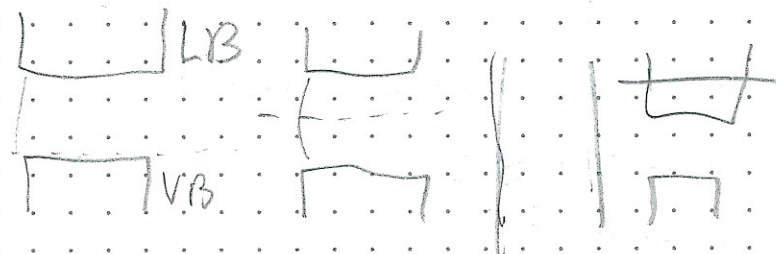
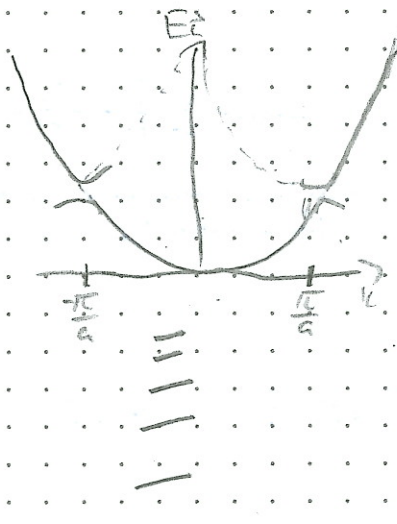
$$E = \hbar \omega$$

$$\tilde{\rho} = \hbar \omega$$

$$\tilde{n}_e = \frac{\hbar}{\rho}$$

$$i \hbar \partial_t \psi = -\frac{\hbar^2}{2m} \nabla^2 \psi$$

$$\psi(\vec{r}) = u(\vec{r}) e^{i k r} \quad \psi(\vec{r} + \vec{R})$$



$$E_n - \hbar^2$$